

ดีซี - ดีซีคาสเคดฟลายแบคคอนเวอร์เตอร์กำลังต่ำแบบสวิตช์ตัวเดียวสำหรับ  
แรงดันไฟฟ้าที่ทางเข้าพิสัยกว้าง

LOW POWER DC/DC SINGLE - SWITCH CASCADED FLYBACK CONVERTER FOR  
WIDE INPUT RANGE



วิทยานิพนธ์นี้เป็นส่วนหนึ่งของการศึกษาตามหลักสูตรปริญญาวิศวกรรมศาสตรมหาบัณฑิต

สาขาวิชาวิศวกรรมระบบควบคุม

คณะวิศวกรรมศาสตร์

สถาบันเทคโนโลยีพระจอมเกล้าเจ้าคุณทหารลาดกระบัง

พ.ศ. 2559

KMITL-2016-EN-M-080-036

ดีซี – ดีซีคาสเคดฟลายแบคคอนเวอร์เตอร์กำลังต่ำแบบสวิตช์ตัวเดียวสำหรับ  
แรงดันไฟฟ้าที่ทางเข้าพิสัยกว้าง

LOW POWER DC/DC SINGLE – SWITCH CASCADED FLYBACK CONVERTER FOR  
WIDE INPUT RANGE



วิทยานิพนธ์นี้เป็นส่วนหนึ่งของการศึกษาตามหลักสูตรปริญญาวิศวกรรมศาสตรมหาบัณฑิต

สาขาวิชาวิศวกรรมระบบควบคุม

คณะวิศวกรรมศาสตร์

สถาบันเทคโนโลยีพระจอมเกล้าเจ้าคุณทหารลาดกระบัง

พ.ศ.2559

KMITL-2016-EN-M-080-036

เอกสารนี้เป็นเอกสารที่สงวนไว้สำหรับการใช้งานเพื่อการศึกษาเท่านั้น ไม่อนุญาตให้นำไปใช้ประโยชน์ด้านการค้า  
ไม่ว่ากรณีใดๆ ทั้งสิ้น อีกทั้งห้ามมิให้ดัดแปลงเนื้อหา และต้องอ้างอิงถึงเจ้าของเอกสารทุกครั้งที่มีการนำไปใช้

LOW POWER DC/DC SINGLE – SWITCH CASCADED FLYBACK CONVERTER FOR  
WIDE INPUT RANGE



A THESIS SUBMITTED IN PARTIAL FULFILLMENT  
OF THE REQUIREMENT FOR THE DEGREE OF  
MASTER OF ENGINEERING IN CONTROL ENGINEERING  
FACULTY OF ENGINEERING  
KING MONGKUT'S INSTITUTE OF TECHNOLOGY LADKRABANG  
2016  
KMITL-2016-EN-M-080-036

เอกสารนี้เป็นเอกสารที่สงวนไว้สำหรับการใช้งานเพื่อการศึกษาเท่านั้น ไม่อนุญาตให้นำไปใช้ประโยชน์ด้านการค้า  
ไม่ว่ากรณีใดๆ ทั้งสิ้น อีกทั้งห้ามมิให้ดัดแปลงเนื้อหา และต้องอ้างอิงถึงเจ้าของเอกสารทุกครั้งที่มีการนำไปใช้



**COPYRIGHT 2016**

**FACULTY OF ENGINEERING**

**KING MONGKUT'S INSTITUTE OF TECHNOLOGY LADKRABANG**

เอกสารนี้เป็นเอกสารที่สงวนไว้สำหรับการใช้งานเพื่อการศึกษาเท่านั้น ไม่อนุญาตให้นำไปใช้ประโยชน์ด้านการค้า  
ไม่ว่ากรณีใดๆ ทั้งสิ้น อีกทั้งห้ามมิให้ดัดแปลงเนื้อหา และต้องอ้างอิงถึงเจ้าของเอกสารทุกครั้งที่มีการนำไปใช้

คณะวิศวกรรมศาสตร์  
สถาบันเทคโนโลยีพระจอมเกล้าเจ้าคุณทหารลาดกระบัง  
ใบรับรองวิทยานิพนธ์

หัวข้อวิทยานิพนธ์ ดีซี - ดีซีคาสเคดฟลายแบคคอนเวอร์เตอร์กำลังต่ำแบบสวิตช์ตัวเดียวสำหรับแรงดันไฟฟ้า  
ที่ทางเข้าพิสัยกว้าง

Thesis Title Low Power DC/DC Single-Switch Cascaded Flyback Converter for Wide Input  
Range

นักศึกษา นางสาวภัสสร เครือน้ำคำ

รหัสประจำตัว 55611352

ปริญญา วิศวกรรมศาสตรมหาบัณฑิต

สาขาวิชา วิศวกรรมระบบควบคุม

อาจารย์ที่ปรึกษาวิทยานิพนธ์ ผศ.ดร.นพดล มณีรัตน์

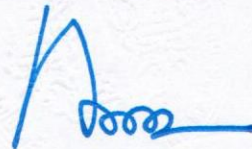
หมายเลขวิทยานิพนธ์ KMITL-2016-EN-M-080-036

คณะกรรมการสอบวิทยานิพนธ์		ลายมือชื่อ
รศ.ดร.ชนินทร์	บุญลักษณ์านุสรณ์	
ผศ.ดร.นนทวัฒน์	จุลเดชะ	
ผศ.ดร.พูลศักดิ์	โกษิยาภรณ์	
ผศ.ดร.ดอน	อัคราร	
ผศ.ดร.นพดล	มณีรัตน์	

วัน / เดือน / ปี ที่สอบ วันจันทร์ที่ 16 พฤษภาคม พ.ศ. 2559 เวลา 13.00-15.00 น.  
สถานที่สอบ ณ อาคาร A ชั้น 5 ห้องประชุม 1

สถาบันเทคโนโลยีพระจอมเกล้าเจ้าคุณทหารลาดกระบัง  
KING MONGKUT'S INSTITUTE OF TECHNOLOGY LADKRABANG

คณะวิศวกรรมศาสตร์ รับรองแล้ว



(รองศาสตราจารย์ ดร. คมสัน มาลีสี)

เอกสารนี้เป็นเอกสารที่สงวนไว้สำหรับการใช้งานเพื่อการศึกษาเท่านั้น ไม่อนุญาตให้นำไปเผยแพร่โดยไม่ได้รับอนุญาต  
ไม่ว่ากรณีใดๆ ทั้งสิ้น อีกทั้งห้ามมิให้ตัดแปลงเนื้อหา และต้องอ้างอิงแหล่งที่มาของเอกสารทุกครั้งหากนำไปใช้

ณ วันที่ 16 พฤษภาคม พ.ศ. 2559

หัวข้อวิทยานิพนธ์	ดีซี – ดีซีเคสเคดฟลายแบคคอนเวอร์เตอร์กำลังต่ำแบบสวิตช์ตัวเดียวสำหรับแรงดันไฟฟ้าที่ทางเข้าพิสัยกว้าง
นักศึกษา	นางสาวภัสสร เครือน้ำคำ
รหัสประจำตัว	55611352
ปริญญา	วิศวกรรมศาสตรมหาบัณฑิต
สาขาวิชา	วิศวกรรมระบบควบคุม
พ.ศ.	2559
อาจารย์ที่ปรึกษาวิทยานิพนธ์	ผศ.ดร.นพดล มณีรัตน์

### บทคัดย่อ

วิทยานิพนธ์ฉบับนี้นำเสนอการสร้างแหล่งจ่ายกำลังไฟฟ้าชนิดดีซี – ดีซีเคสเคดฟลายแบคคอนเวอร์เตอร์กำลังต่ำแบบสวิตช์ตัวเดียวที่มีพิสัยของแรงดันไฟฟ้าตรงที่ทางเข้ากว้างตั้งแต่ 20 - 120V แรงดันไฟฟ้าตรงที่ทางออก 18V (3W) ทำงานในโหมดกระแสไฟฟ้าไหลผ่านตัวเหนี่ยวนำแบบไม่ต่อเนื่อง (Discontinuous Current Mode, DCM) ระบบควบคุมการทำงานของคอนเวอร์เตอร์เป็นระบบควบคุมป้อนกลับเชิงเส้นชนิดอนาล็อก (Analog Feedback Control System) การหาแบบจำลองของคอนเวอร์เตอร์ใช้วิธีวิเคราะห์ด้วยเทคนิคการเฉลี่ยการทำงานของสวิตช์ (Averaged Switch Model) เพื่อนำไปออกแบบวงจรถดเชยอนาล็อก (Analog Compensator Circuit) ในระบบควบคุมด้วยเทคนิค K - Factor ผลการทดลองดีซี – ดีซีเคสเคดฟลายแบคคอนเวอร์เตอร์แบบสวิตช์ตัวเดียวต้นแบบที่สร้างขึ้นได้ผลการทำงานตามต้องการ โดยมีผลการทดลองที่สภาวะคงตัว (Steady - State Response) ได้ค่าไลน์เรกกูเลชัน (Line Regulation) สูงสุดไม่เกิน 0.61% และค่าโหลดเรกกูเลชัน (Load Regulation) สูงสุดไม่เกิน 3.62% ผลการทดลองที่สภาวะพลวัต (Dynamic Response) ระบบควบคุมสามารถตอบสนองต่อการเปลี่ยนแปลงทันทีใดของกระแสไฟฟ้าที่โหลดได้รวดเร็ว ผลการทดลองวัดประสิทธิภาพที่แต่ละเงื่อนไขการทำงานมีค่าตั้งแต่ 30 - 70%

เอกสารนี้เป็นเอกสารที่สงวนไว้สำหรับการใช้งานเพื่อการศึกษาเท่านั้น ไม่อนุญาตให้นำไปใช้ประโยชน์ด้านการค้า ไม่ว่าจะกรณีใดๆ ทั้งสิ้น อีกทั้งห้ามมิให้ตัดแปลงเนื้อหา และต้องอ้างอิงถึงเจ้าของเอกสารทุกครั้งที่มีการนำไปใช้

<b>Thesis</b>	Low Power DC/DC Single – Switch Cascaded Flyback Converter for Wide Input Range
<b>Student</b>	Ms.Passorn Khruanamkham
<b>Student ID.</b>	55611352
<b>Degree</b>	Master of Engineering
<b>Program</b>	Control Engineering
<b>Year</b>	2016
<b>Thesis Advisor</b>	Asst. Prof. Dr. Noppadol Maneerat

## ABSTRACT

This thesis presents the design of wide input range DC-DC power supply using single-switch cascaded flyback converter with input voltage between 20 – 120V which generates 18V output voltage and low output power (3W) in discontinuous current mode (DCM). The control system of converter is the analog feedback control system. Converter model is designed by using the averaged switch modeling technique. The analog compensator circuit is designed by using K – Factor technique. The experimental results of steady - state response show that the maximum line regulator is not over than 0.61% and the maximum load regulator is not over than 3.62%. The experimental result of dynamic response shows that the control system responses immediately to the electricity load change. The performance measurement results of each operating conditions ranged are 30 - 70%.

## กิตติกรรมประกาศ

วิทยานิพนธ์เล่มนี้ประสบความสำเร็จลุล่วงไปได้ด้วยดีเนื่องจากความอนุเคราะห์ของอาจารย์ที่ปรึกษา ผศ. ดร. นพดล มณีรัตน์ ที่ช่วยให้คำปรึกษาและแก้ปัญหาต่างๆ ในการทำวิทยานิพนธ์เล่มนี้จนเสร็จสมบูรณ์

ขอขอบคุณ ผศ. ดร. นนทวัฒน์ จุลเดชะ ที่ได้ให้ความช่วยเหลือและคำแนะนำ ตลอดจนชี้แนะแนวทางให้ปฏิบัติที่เป็นประโยชน์ต่อวิทยานิพนธ์นี้

ขอขอบคุณ ดร.กอบศักดิ์ ศรีประภา นักวิจัยห้องปฏิบัติการเทคโนโลยีพลังงานแสงอาทิตย์ (STL) ศูนย์เทคโนโลยีอิเล็กทรอนิกส์และคอมพิวเตอร์แห่งชาติ (NECTEC) ที่ได้ให้การสนับสนุนงานวิจัยในวิทยานิพนธ์นี้

ขอขอบคุณ ห้องปฏิบัติการควบคุมการแปลงรูปกำลังงานไฟฟ้า (Power Conversion Control Lab) สถาบันเทคโนโลยีพระจอมเกล้าเจ้าคุณทหารลาดกระบัง ที่เอื้อเฟื้อสถานที่ พร้อมทั้งอุปกรณ์ที่ใช้ในการทดลอง

ขอขอบคุณ พี่ๆ น้องๆ ในห้องปฏิบัติการทั้งที่จบไปแล้วก็ดียังไม่จบก็ดี ที่ให้คำแนะนำและให้กำลังใจในการทำวิทยานิพนธ์ตลอดมา

สุดท้ายนี้ ขอขอบคุณ บิดา มารดา และครอบครัว ที่อบรมเลี้ยงดู สนับสนุนในด้านการศึกษา และให้กำลังใจ จนกระทั่งบรรลุในสิ่งที่มุ่งหวังไว้ คุณค่าอันพึงมีจากวิทยานิพนธ์เล่มนี้ขอมอบแต่ผู้มีพระคุณทุกท่าน

ภัสสร เครือน้ำคำ

เอกสารนี้เป็นเอกสารที่สงวนไว้สำหรับการใช้งานเพื่อการศึกษาเท่านั้น ไม่อนุญาตให้นำไปใช้ประโยชน์ด้านการค้าไม่ว่ากรณีใดๆ ทั้งสิ้น อีกทั้งห้ามมิให้ตัดแปลงเนื้อหา และต้องอ้างอิงถึงเจ้าของเอกสารทุกครั้งที่มีการนำไปใช้

# สารบัญ

	หน้า
บทคัดย่อภาษาไทย.....	I
บทคัดย่อภาษาอังกฤษ.....	II
กิตติกรรมประกาศ.....	III
สารบัญ.....	IV
สารบัญตาราง.....	VI
สารบัญรูป.....	VII
รายการคำย่อและสัญลักษณ์.....	X
บทที่ 1 บทนำ.....	1
1.1 ความเป็นมาและความสำคัญของปัญหา.....	1
1.2 ความมุ่งหมายและวัตถุประสงค์ของการศึกษา.....	3
1.3 ทฤษฎีหรือแนวความคิดที่ใช้ในการวิจัย.....	3
1.4 ขอบเขตการวิจัย.....	5
1.5 ขั้นตอนของการศึกษา.....	5
บทที่ 2 ดีซี – ดีซีคาสเคดฟลายแบคคอนเวอร์เตอร์แบบสวิตช์ตัวเดียว.....	6
2.1 บทนำ.....	6
2.2 ส่วนจ่ายแรงดันไฟฟ้าตรง.....	6
2.2.1 หลักการทำงานของส่วนจ่ายแรงดันไฟฟ้าตรง.....	6
2.2.2 การออกแบบส่วนจ่ายแรงดันไฟฟ้าตรง.....	13
2.3 การวิเคราะห์แบบจำลองส่วนจ่ายแรงดันไฟฟ้าตรง.....	16
2.3.1 แบบจำลองชนิดดีซีของส่วนจ่ายแรงดันไฟฟ้าตรง.....	21
2.3.2 แบบจำลองเชิงความถี่ชนิดสัญญาณรบกวนเอซีขนาดเล็กของส่วนจ่าย แรงดันไฟฟ้าตรง.....	22
2.4 บทสรุป.....	28
บทที่ 3 การควบคุมดีซี – ดีซีคาสเคดฟลายแบคคอนเวอร์เตอร์.....	29
3.1 บทนำ.....	29
3.2 โครงสร้างการควบคุมดีซี – ดีซีคาสเคดฟลายแบคคอนเวอร์เตอร์แบบสวิตช์ตัวเดียว.....	29

## สารบัญ (ต่อ)

	หน้า
3.3 หลักการออกแบบวงจรชุดเซชันไดนาลลิก.....	33
3.4 บทสรุป .....	37
บทที่ 4 การออกแบบและสร้างดีซี – ดีซีคาสเคดฟลายแบคคอนเวอร์เตอร์แบบสวิตซ์ตัวเดียว.....	38
4.1 บทนำ.....	38
4.2 การออกแบบและการจำลองผลการทำงานของส่วนจ่ายแรงดันไฟฟ้าตรง.....	38
4.2.1 การออกแบบส่วนจ่ายแรงดันไฟฟ้าตรง.....	38
4.2.2 การจำลองการทำงานของส่วนจ่ายกำลัง .....	41
4.3 การออกแบบระบบควบคุม .....	44
4.4 บทสรุป .....	51
บทที่ 5 การทดลองและผลการทดลอง .....	52
5.1 บทนำ.....	52
5.2 อุปกรณ์และเครื่องมือที่ใช้ในการทดลอง.....	52
5.3 การทดลองเพื่อตรวจสอบการทำงานของอุปกรณ์.....	51
5.4 การทดลองเพื่อตรวจสอบการตอบสนองที่สภาวะคงตัว .....	55
5.5 การทดลองเพื่อตรวจสอบการตอบสนองที่สภาวะพลวัต .....	57
5.6 การทดลองประสิทธิภาพ .....	58
5.7 บทสรุป .....	59
บทที่ 6 สรุปผลการทดลอง.....	62
เอกสารอ้างอิง .....	64
ภาคผนวก.....	65
ภาคผนวก ก การวิเคราะห์แบบจำลองดีซี – ดีซีคาสเคดฟลายแบคคอนเวอร์เตอร์ แบบสวิตซ์ตัวเดียว.....	66
ภาคผนวก ข โปรแกรม MATLAB <sup>®</sup> สำหรับสร้างผลการตอบสนองเชิงความถี่ของ ฟังก์ชันถ่ายโอน .....	89
ภาคผนวก ค บทความวิชาการฉบับสมบูรณ์ที่ได้รับการตีพิมพ์ .....	92
ประวัติผู้เขียน.....	98

เอกสารนี้เป็นเอกสารที่สงวนไว้สำหรับการใช้งานเพื่อการศึกษาเท่านั้น ไม่อนุญาตให้นำไปใช้ประโยชน์ด้านการค้า  
ไม่ว่ากรณีใดๆ ทั้งสิ้น อีกทั้งห้ามมิให้ดัดแปลงเนื้อหา และต้องอ้างอิงถึงเจ้าของเอกสารทุกครั้งที่มีการนำไปใช้

# สารบัญตาราง

ตารางที่	หน้า
4.1 รายการอุปกรณ์ในดีซี – ดีซีคาสเคดฟลายแบคคอนเวอร์เตอร์แบบสวิตซ์ตัวเดียวต้นแบบ .....	50
5.1 ผลการวัดค่าแรงดันไฟฟ้าตรงที่ทางออกในสภาวะคงตัวของดีซี – ดีซีคาสเคดฟลายแบคคอนเวอร์เตอร์แบบสวิตซ์ตัวเดียวต้นแบบที่ค่าแรงดันไฟฟ้าตรงที่ทางเข้าและค่าโหลดที่ทางออกต่างๆ... 56	
5.2 ผลการวัดค่าประสิทธิภาพของดีซี – ดีซีคาสเคดฟลายแบคคอนเวอร์เตอร์แบบสวิตซ์ตัวเดียวต้นแบบที่มีค่าแรงดันไฟฟ้าตรงที่ทางเข้าและค่าโหลดที่ทางออกต่างๆ..... 58	
5.3 ผลการวัดค่าไลน์เรกกูเลชันของดีซี – ดีซีคาสเคดฟลายแบคคอนเวอร์เตอร์แบบสวิตซ์ตัวเดียวต้นแบบที่แรงดันไฟฟ้าตรงที่ทางเข้ามีการเปลี่ยนแปลงจาก 20V เป็น120V ที่ค่าโหลดต่างๆ... 60	
5.4 ผลการวัดค่าโหลดเรกกูเลชันของดีซี – ดีซีคาสเคดฟลายแบคคอนเวอร์เตอร์แบบสวิตซ์ตัวเดียวต้นแบบที่โหลดมีการเปลี่ยนแปลงจาก 0% เป็น 100% ที่ค่าแรงดันไฟฟ้าตรงที่ทางเข้าต่างๆ. 60	

เอกสารนี้เป็นเอกสารที่สงวนไว้สำหรับการใช้งานเพื่อการศึกษาเท่านั้น ไม่อนุญาตให้นำไปใช้ประโยชน์ด้านการค้าไม่ว่ากรณีใดๆ ทั้งสิ้น อีกทั้งห้ามมิให้ดัดแปลงเนื้อหา และต้องอ้างอิงถึงเจ้าของเอกสารทุกครั้งที่มีการนำไปใช้

# สารบัญรูป

รูปที่	หน้า
2.1	ส่วนจ่ายแรงดันไฟฟ้าตรงของดีซี – ดีซีคาสเคดฟลายแบคคอนเวอร์เตอร์แบบสวิตช์เดียว ..... 7
2.2	การทำงานของส่วนจ่ายแรงดันไฟฟ้าตรงช่วงเวลา $d_1T_s$ ..... 8
2.3	การทำงานของส่วนจ่ายแรงดันไฟฟ้าตรงช่วงเวลา $d_2T_s$ ..... 9
2.4	การทำงานของส่วนจ่ายแรงดันไฟฟ้าตรงช่วงเวลา $d_3T_s$ ..... 10
2.5	รูปสัญญาณการทำงานของส่วนจ่ายแรงดันไฟฟ้าตรง ..... 12
2.6	แบบจำลองเชิงความถี่ชนิดสัญญาณรบกวนเอชขนาดเล็กลงของส่วนจ่ายแรงดันไฟฟ้าตรง..... 16
2.7	แบบจำลองชนิดดีซีของส่วนจ่ายแรงดันไฟฟ้าตรง ..... 21
2.8	แบบจำลองเชิงความถี่ชนิดสัญญาณรบกวนเอชขนาดเล็กลงที่สวิตช์ $SW$ ..... 24
2.9	แบบจำลองเชิงความถี่ชนิดสัญญาณรบกวนเอชขนาดเล็กลงที่ไดโอด $D_1$ ..... 25
2.10	แบบจำลองเชิงความถี่ชนิดสัญญาณรบกวนเอชขนาดเล็กลงที่ไดโอด $D_2$ ..... 25
2.11	แบบจำลองเชิงความถี่ชนิดสัญญาณรบกวนเอชขนาดเล็กลงที่ไดโอด $D_3$ ..... 26
2.12	แบบจำลองเชิงความถี่ชนิดสัญญาณรบกวนเอชขนาดเล็กลงของส่วนจ่ายแรงดันไฟฟ้าตรง ..... 27
2.13	แบบจำลองเชิงความถี่ชนิดสัญญาณรบกวนเอชขนาดเล็กลงความถี่ต่ำ ..... 27
3.1	ไดอะแกรมเชิงความถี่ชนิดสัญญาณรบกวนเอชขนาดเล็กลงของดีซี – ดีซีคาสเคดฟลายแบค คอนเวอร์เตอร์แบบสวิตช์ตัวเดียว ..... 29
3.2	วงจรแบ่งแรงดันไฟฟ้า..... 30
3.3	วงจรชดเชยชนิดอนาล็อก..... 30
3.4	วงจร PWM (Pulse-Width Modulator)..... 31
3.5	บล็อกไดอะแกรมเชิงความถี่ชนิดสัญญาณรบกวนเอชขนาดเล็กลงของดีซี – ดีซีคาสเคด ฟลายแบคคอนเวอร์เตอร์แบบสวิตช์ตัวเดียว..... 32
3.6	บล็อกไดอะแกรมของระบบป้อนกลับแบบหนึ่งหน่วย..... 32
3.7	วงจรชดเชยชนิดอนาล็อก Type 2..... 33
4.1	Schematic ของส่วนจ่ายแรงดันไฟฟ้าตรงที่จำลองการทำงานด้วยโปรแกรม PSpice™..... 41
4.2	ผลการจำลองของแรงดันไฟฟ้าและกระแสไฟฟ้าที่สวิตช์ $SW$ ..... 42
4.3	ผลการจำลองของแรงดันไฟฟ้าและกระแสไฟฟ้าที่ตัวเหนี่ยวนำสวิตช์ $L_1$ ..... 42

เอกสารนี้เป็นเอกสารที่สงวนไว้สำหรับการใช้งานเพื่อการศึกษาเท่านั้น ไม่อนุญาตให้นำไปใช้ประโยชน์ด้านการค้า  
ไม่ว่ากรณีใดๆ ทั้งสิ้น อีกทั้งห้ามมิให้ดัดแปลงเนื้อหา และต้องอ้างอิงถึงเจ้าของเอกสารทุกครั้งที่มีการนำไปใช้

## สารบัญรูป (ต่อ)

รูปที่	หน้า
4.4 ผลการจำลองของแรงดันไฟฟ้าและกระแสไฟฟ้าที่ตัวเก็บประจุไฟฟ้า $C_1$ .....	42
4.5 ผลการจำลองของแรงดันไฟฟ้าและกระแสไฟฟ้าที่ไดโอด $D_1$ .....	43
4.6 ผลการจำลองของแรงดันไฟฟ้าและกระแสไฟฟ้าที่ไดโอด $D_2$ .....	43
4.7 ผลการจำลองของแรงดันไฟฟ้าและกระแสไฟฟ้าที่ตัวเหนี่ยวนำ $L_2$ .....	43
4.8 ผลการจำลองของแรงดันไฟฟ้าและกระแสไฟฟ้าที่ไดโอด $D_3$ .....	44
4.9 ผลการจำลองของแรงดันไฟฟ้าและกระแสไฟฟ้าที่ตัวเก็บประจุไฟฟ้า $C_2$ .....	44
4.10 บล็อกไดอะแกรมเชิงความถี่ชนิดสัญญาณรบกวนชนิดเอชี่ขนาดเล็กของ ดีซี - ดีซี คาสเคดฟลายแบคคอนเวอร์เตอร์แบบสวิตช์ตัวเดียว .....	44
4.11 ผลตอบสนองเชิงความถี่ของฟังก์ชันถ่ายโอนเชิง $G_V(s)$ .....	46
4.12 ผลตอบสนองเชิงความถี่ของฟังก์ชันถ่ายโอน $G_V(s)$ , $G_C(s)$ และ $T(s)$ .....	48
4.13 Schematic ของดีซี - ดีซีคาสเคดฟลายแบคคอนเวอร์เตอร์แบบสวิตช์ตัวเดียวต้นแบบ .....	50
4.13 ดีซี - ดีซีคาสเคดฟลายแบคคอนเวอร์เตอร์แบบสวิตช์ตัวเดียวต้นแบบ .....	50
4.15 ดีซี - ดีซีคาสเคดฟลายแบคคอนเวอร์เตอร์แบบสวิตช์ตัวเดียวต้นแบบที่นำไปใช้เป็น แหล่งจ่ายกำลังไฟฟ้าในวงจรคอนเวอร์เตอร์หลัก .....	51
5.1 รูปสัญญาณของแรงดันแรงดันไฟฟ้าและกระแสไฟฟ้าที่สวิตช์ SW (MOSFET) .....	53
5.2 รูปสัญญาณของแรงดันไฟฟ้าและกระแสไฟฟ้าที่ตัวเหนี่ยวนำ $L_1$ .....	53
5.3 รูปสัญญาณของแรงดันไฟฟ้าและกระแสไฟฟ้าที่ตัวเก็บประจุไฟฟ้า $C_1$ .....	53
5.4 รูปสัญญาณของแรงดันไฟฟ้าและกระแสไฟฟ้าที่ไดโอด $D_1$ .....	54
5.5 รูปสัญญาณของแรงดันไฟฟ้าและกระแสไฟฟ้าที่ไดโอด $D_2$ .....	54
5.6 รูปสัญญาณของแรงดันไฟฟ้าและกระแสไฟฟ้าที่ตัวเหนี่ยวนำ $L_2$ .....	54
5.7 รูปคลื่นสัญญาณแรงดันไฟฟ้าและกระแสไฟฟ้าที่ตัวเก็บประจุไฟฟ้า $D_3$ .....	55
5.8 รูปสัญญาณของแรงดันไฟฟ้าและกระแสไฟฟ้าที่ตัวเก็บประจุไฟฟ้า $C_2$ .....	55
5.9 ผลการทดลองแรงดันไฟฟ้าตรงที่ทางออกเมื่อแรงดันไฟฟ้าตรงที่ทางเข้ามีการ เปลี่ยนแปลง .....	56
5.10 ผลการทดลองแรงดันไฟฟ้าตรงที่ทางออกเมื่อโหลดที่ทางออกมีการเปลี่ยนแปลง .....	57

เอกสารนี้เป็นเอกสารที่สงวนไว้สำหรับการใช้งานเพื่อการศึกษาเท่านั้น ไม่อนุญาตให้นำไปใช้ประโยชน์ด้านการค้า  
ไม่ว่ากรณีใดๆ ทั้งสิ้น อีกทั้งห้ามมิให้ดัดแปลงเนื้อหา และต้อง VIII อังถึงเจ้าของเอกสารทุกครั้งที่มีการนำไปใช้

## สารบัญรูป (ต่อ)

รูปที่	หน้า
5.11 ผลการทดลองการตอบสนองที่สภาวะพลวัตของดีซี – ดีซีคาสเคดฟลายแบคคอนเวอร์เตอร์แบบสวิตช์ตัวเดียวต้นแบบ.....	57
5.12 ผลการทดลองประสิทธิภาพของดีซี – ดีซีคาสเคดฟลายแบคคอนเวอร์เตอร์แบบสวิตช์ตัวเดียวต้นแบบ .....	59
5.13 ผลการทดลองประสิทธิภาพของดีซี – ดีซีคาสเคดฟลายแบคคอนเวอร์เตอร์แบบสวิตช์ตัวเดียวต้นแบบที่โหลด 100%.....	61
5.14 ผลการทดลองประสิทธิภาพของดีซี – ดีซีคาสเคดฟลายแบคคอนเวอร์เตอร์แบบสวิตช์ตัวเดียวต้นแบบที่โหลด 8% .....	61

## รายการคำย่อและสัญลักษณ์

$C_1$	ตัวเก็บประจุไฟฟ้า $C_1$
$C_2$	ตัวเก็บประจุไฟฟ้า $C_2$
$C_{C1}$	ตัวเก็บประจุไฟฟ้า $C_{C1}$
$C_{C2}$	ตัวเก็บประจุไฟฟ้า $C_{C2}$
CCM	โหมดกระแสไฟฟ้าไหลผ่านตัวเหนี่ยวนำแบบต่อเนื่อง
$D_1$	ดิโอดที่ไอเคิลของระยะเวลาช่วงที่ 1 ที่สภาวะคงตัว
$D_{1,max}$	ดิโอดที่ไอเคิลสูงสุดของระยะเวลาช่วงที่ 1 ที่สภาวะคงตัว
DCM	โหมดกระแสไฟฟ้าไหลผ่านตัวเหนี่ยวนำแบบไม่ต่อเนื่อง
$d_1$	ดิโอดที่ไอเคิลของระยะเวลาช่วงที่ 1
$d_2$	ดิโอดที่ไอเคิลของระยะเวลาช่วงที่ 2
$d_3$	ดิโอดที่ไอเคิลของระยะเวลาช่วงที่ 3
$\tilde{d}_1$	ดิโอดที่ไอเคิลของระยะเวลาช่วงที่ 1 ชนิดสัญญาณรบกวนเอซีขนาดเล็ก
$f_{co}$	ความถี่ครอสโอเวอร์
$f_s$	ความถี่ในการสวิตช์
$F_M$	ฟังก์ชันถ่ายโอนชนิดสัญญาณรบกวนเอซีขนาดเล็กของวงจร PWM
$g_{s1}$	ข้อมูลแบบจำลองของแหล่งจ่ายแรงดันไฟฟ้าระหว่างสวิตช์ $SW$ กับไดโอด $D_1$
$g_{s2}$	ข้อมูลแบบจำลองของแหล่งจ่ายแรงดันไฟฟ้าระหว่างสวิตช์ $SW$ กับไดโอด $D_2$
$g_{s3}$	ข้อมูลแบบจำลองของแหล่งจ่ายแรงดันไฟฟ้าระหว่างสวิตช์ $SW$ กับไดโอด $D_3$
$g_{1s}$	ข้อมูลแบบจำลองของแหล่งจ่ายแรงดันไฟฟ้าระหว่างไดโอด $D_1$ กับสวิตช์ $SW$
$g_{12}$	ข้อมูลแบบจำลองของแหล่งจ่ายแรงดันไฟฟ้าระหว่างไดโอด $D_1$ กับไดโอด $D_2$
$g_{13}$	ข้อมูลแบบจำลองของแหล่งจ่ายแรงดันไฟฟ้าระหว่างไดโอด $D_1$ กับไดโอด $D_3$
$g_{2s}$	ข้อมูลแบบจำลองของแหล่งจ่ายแรงดันไฟฟ้าระหว่างไดโอด $D_2$ กับสวิตช์ $SW$
$g_{21}$	ข้อมูลแบบจำลองของแหล่งจ่ายแรงดันไฟฟ้าระหว่างไดโอด $D_2$ กับไดโอด $D_1$
$g_{23}$	ข้อมูลแบบจำลองของแหล่งจ่ายแรงดันไฟฟ้าระหว่างไดโอด $D_2$ กับไดโอด $D_3$
$g_{3s}$	ข้อมูลแบบจำลองของแหล่งจ่ายแรงดันไฟฟ้าระหว่างไดโอด $D_3$ กับสวิตช์ $SW$
$g_{31}$	ข้อมูลแบบจำลองของแหล่งจ่ายแรงดันไฟฟ้าระหว่างไดโอด $D_3$ กับไดโอด $D_1$

เอกสารนี้เป็นเอกสารที่สงวนไว้สำหรับการใช้งานเพื่อการศึกษาเท่านั้น ไม่อนุญาตให้นำไปใช้ประโยชน์ด้านการค้า ไม่ว่าจะกรณีใดๆ ทั้งสิ้น อีกทั้งห้ามมิให้ตัดแปลงเนื้อหา และต้องอ้างอิงถึงเจ้าของเอกสารทุกครั้งที่มีการนำไปใช้

## รายการคำย่อและสัญลักษณ์ (ต่อ)

$g_{32}$	ข้อมูลแบบจำลองของแหล่งจ่ายแรงดันไฟฟ้าระหว่างไดโอด $D_3$ กับไดโอด $D_2$
$G_C(s)$	ฟังก์ชันถ่ายโอนชนิดสัญญาณรบกวนรอบวงเอซีขนาดเล็กของวงจรชดเชยชนิดอนาล็อก
$G_{dv}(s)$	ฟังก์ชันถ่ายโอนชนิดสัญญาณรบกวนรอบวงเอซีขนาดเล็กระหว่างแรงดันไฟฟ้าที่ทางออกกับดิวตี้ไซเคิล
$G_V(s)$	ฟังก์ชันถ่ายโอนชนิดสัญญาณรบกวนรอบวงเอซีขนาดเล็กของวงจรถูกำลังไฟฟ้า
$H(s)$	ฟังก์ชันถ่ายโอนชนิดสัญญาณรบกวนรอบวงเอซีขนาดเล็กของส่วนเซนเซอร์
$j_s$	ข้อมูลแบบจำลองของแหล่งจ่ายกระแสไฟฟ้าที่สวิตช์ $SW$
$j_1$	ข้อมูลแบบจำลองของแหล่งจ่ายกระแสไฟฟ้าที่ไดโอด $D_1$
$j_2$	ข้อมูลแบบจำลองของแหล่งจ่ายกระแสไฟฟ้าที่ไดโอด $D_2$
$j_3$	ข้อมูลแบบจำลองของแหล่งจ่ายกระแสไฟฟ้าที่ไดโอด $D_3$
$k$	ค่าคงที่
$K$	ค่าของ K - Factor
$L_1$	ตัวเหนี่ยวนำ $L_1$
$L_2$	ตัวเหนี่ยวนำ $L_2$
$L_{es}$	ข้อมูลแบบจำลองด้วยตัวความเหนี่ยวนำที่สวิตช์ $SW$
$M$	อัตราส่วนระหว่างแรงดันไฟฟ้าตรงที่ทางออกกับแรงดันไฟฟ้าตรงที่ทางเข้า
$I_g$	กระแสไฟฟ้าที่ทางเข้าที่สภาวะคงตัว
$I_{L1P}$	กระแสไฟฟ้าสูงสุดที่ตัวเหนี่ยวนำ $L_1$ ที่สภาวะคงตัว
$I_{L2P}$	กระแสไฟฟ้าสูงสุดที่ตัวเหนี่ยวนำ $L_2$ ที่สภาวะคงตัว
$I_s$	กระแสไฟฟ้าที่สวิตช์ $SW$ ที่สภาวะคงตัว
$I_{12}$	กระแสไฟฟ้าที่ไดโอด $D_1, D_2$ ที่สภาวะคงตัว
$I_1$	กระแสไฟฟ้าที่ไดโอด $D_1$ ที่สภาวะคงตัว
$I_2$	กระแสไฟฟ้าที่ไดโอด $D_2$ ที่สภาวะคงตัว
$I_3$	กระแสไฟฟ้าที่ไดโอด $D_3$ ที่สภาวะคงตัว
$i_{c1}$	กระแสไฟฟ้าที่ตัวเก็บประจุไฟฟ้าที่เวลาใดๆ
$i_{c2}$	กระแสไฟฟ้าที่ตัวเก็บประจุไฟฟ้า $C_2$ ที่เวลาใดๆ

เอกสารนี้เป็นเอกสารที่สงวนไว้สำหรับการใช้งานเพื่อการศึกษาเท่านั้น ไม่อนุญาตให้นำไปใช้ประโยชน์ด้านการค้า ไม่ว่าจะกรณีใดๆ ทั้งสิ้น อีกทั้งห้ามมิให้ดัดแปลงเนื้อหา และต่อ XI ่างอิงถึงเจ้าของเอกสารทุกครั้งที่มีการนำไปใช้

## รายการคำย่อและสัญลักษณ์ (ต่อ)

$i_{L1}$	กระแสไฟฟ้าที่ตัวเหนี่ยวนำที่เวลาใดๆ
$i_{L2}$	กระแสไฟฟ้าที่ตัวเหนี่ยวนำที่เวลาใดๆ
$i_{L1P}$	กระแสไฟฟ้าสูงสุดที่ตัวเหนี่ยวนำ $L_1$
$i_{L2P}$	กระแสไฟฟ้าสูงสุดที่ตัวเหนี่ยวนำ $L_2$
$i_s$	กระแสไฟฟ้าที่สวิตช์ $SW$ ที่เวลาใดๆ
$i_1$	กระแสไฟฟ้าที่ไดโอด $D_1$ ที่เวลาใดๆ
$i_2$	กระแสไฟฟ้าที่ไดโอด $D_2$ ที่เวลาใดๆ
$i_3$	กระแสไฟฟ้าที่ไดโอด $D_3$ ที่เวลาใดๆ
$\tilde{i}_s$	กระแสไฟฟ้าที่สวิตช์ $SW$ ชนิดสัญญาณรบกวนเอซีขนาดเล็ก
$\tilde{i}_1$	กระแสไฟฟ้าที่ไดโอด $D_1$ ชนิดสัญญาณรบกวนเอซีขนาดเล็ก
$\tilde{i}_2$	กระแสไฟฟ้าที่ไดโอด $D_2$ ชนิดสัญญาณรบกวนเอซีขนาดเล็ก
$\tilde{i}_3$	กระแสไฟฟ้าที่ไดโอด $D_3$ ชนิดสัญญาณรบกวนเอซีขนาดเล็ก
$\langle i_s \rangle_{T_s}$	กระแสไฟฟ้าเฉลี่ยที่สวิตช์ $SW$ ในระยะคาบเวลาของการสวิตช์ ( $T_s$ )
$\langle i_1 \rangle_{T_s}$	กระแสไฟฟ้าเฉลี่ยที่ไดโอด $D_1$ ในระยะคาบเวลาของการสวิตช์ ( $T_s$ )
$\langle i_2 \rangle_{T_s}$	กระแสไฟฟ้าเฉลี่ยที่ไดโอด $D_2$ ในระยะคาบเวลาของการสวิตช์ ( $T_s$ )
$\langle i_3 \rangle_{T_s}$	กระแสไฟฟ้าเฉลี่ยที่ไดโอด $D_3$ ในระยะคาบเวลาของการสวิตช์ ( $T_s$ )
$P_{in}$	กำลังไฟฟ้าที่ทางเข้าที่สภาวะคงตัว
$P_{in,max}$	กำลังไฟฟ้าที่ทางเข้าสูงสุดที่สภาวะคงตัว
$P_{out}$	กำลังไฟฟ้าที่ทางออกที่สภาวะคงตัว
$R$	ความต้านทานของโหลดที่ทางออก
$R_{C1}$	ความต้านทานของ $R_{C1}$
$R_{C2}$	ความต้านทานของ $R_{C2}$
$R_{es}$	ข้อมูลแบบจำลองด้วยความต้านทานของที่สวิตช์ $SW$
$R_{e1}$	ข้อมูลแบบจำลองด้วยความต้านทานของที่ไดโอด $D_2$
$R_{e2}$	ข้อมูลแบบจำลองด้วยความต้านทานของที่ไดโอด $D_2$
$R_{e3}$	ข้อมูลแบบจำลองด้วยความต้านทานที่ไดโอด $D_3$

เอกสารนี้เป็นเอกสารที่สงวนไว้สำหรับการใช้งานเพื่อการศึกษาเท่านั้น ไม่อนุญาตให้นำไปใช้ประโยชน์ด้านการค้า ไม่ว่าจะกรณีใดๆ ทั้งสิ้น อีกทั้งห้ามมิให้ดัดแปลงเนื้อหา และต่อ XII จึงถึงเจ้าของเอกสารทุกครั้งที่มีการนำไปใช้

## รายการคำย่อและสัญลักษณ์ (ต่อ)

$r_s$	ข้อมูลแบบจำลองด้วยความต้านทานที่สวิตช์ $SW$
$r_1$	ข้อมูลแบบจำลองด้วยความต้านทานที่ไดโอด $D_1$
$r_2$	ข้อมูลแบบจำลองด้วยความต้านทานที่ไดโอด $D_2$
$r_3$	ข้อมูลแบบจำลองด้วยความต้านทานที่ไดโอด $D_3$
$T_s$	คาบเวลาของการสวิตช์ (s)
$T_{off,min}$	คาบเวลาดำสุดขณะสวิตช์ไม่นำกระแสไฟฟ้า (s)
$T_{on,max}$	คาบเวลาสูงสุดขณะที่สวิตช์นำกระแสไฟฟ้า (s)
$T(s)$	ฟังก์ชันถ่ายโอนวงเปิดของระบบควบคุมป้อนกลับ
$V$	แรงดันไฟฟ้าที่ทางออกที่สภาวะคงตัว
$V_g$	แรงดันไฟฟ้าที่ทางเข้าที่สภาวะคงตัว
$V_{g,min}$	แรงดันไฟฟ้าที่ทางออกต่ำสุดที่สภาวะคงตัว
$V_M$	ความสูงของแรงดันไฟฟ้าชนิดฟันเลื่อย
$V_{ref}$	แรงดันไฟฟ้าอ้างอิงที่สภาวะคงตัว
$V_s$	แรงดันไฟฟ้าที่สวิตช์ $SW$ ที่สภาวะคงตัว
$V_1$	แรงดันไฟฟ้าที่ไดโอด $D_1$ ที่สภาวะคงตัว
$V_2$	แรงดันไฟฟ้าที่ไดโอด $D_2$ ที่สภาวะคงตัว
$V_3$	แรงดันไฟฟ้าที่ไดโอด $D_3$ ที่สภาวะคงตัว
$v$	แรงดันไฟฟ้าที่ทางออกที่เวลาใดๆ
$v_{C1}$	แรงดันไฟฟ้าที่สวิตช์ $C_1$ ที่เวลาใดๆ
$v_{C2}$	แรงดันไฟฟ้าที่สวิตช์ $C_2$ ที่เวลาใดๆ
$v_{L1}$	แรงดันไฟฟ้าที่สวิตช์ $L_1$ ที่เวลาใดๆ
$v_{L2}$	แรงดันไฟฟ้าที่สวิตช์ $L_2$ ที่เวลาใดๆ
$v_g$	แรงดันไฟฟ้าที่ทางเข้าที่เวลาใดๆ
$v_s$	แรงดันไฟฟ้าที่สวิตช์ $SW$ ที่เวลาใดๆ
$v_1$	แรงดันไฟฟ้าที่ไดโอด $D_1$ ที่เวลาใดๆ
$v_2$	แรงดันไฟฟ้าที่ไดโอด $D_2$ ที่เวลาใดๆ
$v_3$	แรงดันไฟฟ้าที่ไดโอด $D_3$ ที่เวลาใดๆ

เอกสารนี้เป็นเอกสารที่สงวนไว้สำหรับการใช้งานเพื่อการศึกษาเท่านั้น ไม่อนุญาตให้นำไปใช้ประโยชน์ด้านการค้า  
ไม่ว่ากรณีใดๆ ทั้งสิ้น อีกทั้งห้ามมิให้ดัดแปลงเนื้อหา และต่อ XIII จึงถึงเจ้าของเอกสารทุกครั้งที่มีการนำไปใช้

## รายการคำย่อและสัญลักษณ์ (ต่อ)

$\tilde{v}$	แรงดันไฟฟ้าที่ทางออกชนิดสัญญาณเอซีขนาดเล็ก
$\tilde{v}'$	แรงดันไฟฟ้าที่ทางออกจากส่วนเซนเซอร์ชนิดสัญญาณเอซีขนาดเล็ก
$\tilde{v}_C$	แรงดันไฟฟ้าควบคุมชนิดสัญญาณเอซีขนาดเล็ก
$\tilde{v}_s$	แรงดันไฟฟ้าที่สวิตช์ $SW$ ชนิดสัญญาณเอซีขนาดเล็ก
$\tilde{v}_1$	แรงดันไฟฟ้าที่ไดโอด $D_1$ ชนิดสัญญาณเอซีขนาดเล็ก
$\tilde{v}_2$	แรงดันไฟฟ้าที่ไดโอด $D_2$ ชนิดสัญญาณเอซีขนาดเล็ก
$\tilde{v}_3$	แรงดันไฟฟ้าที่ไดโอด $D_3$ ชนิดสัญญาณเอซีขนาดเล็ก
$\langle v \rangle_{T_s}$	แรงดันไฟฟ้าเฉลี่ยที่ทางออกในระยะเวลาของการสวิตช์ ( $T_s$ )
$\langle v_{C1} \rangle_{T_s}$	แรงดันไฟฟ้าเฉลี่ยที่ตัวเก็บประจุ $C_1$ ในระยะเวลาของการสวิตช์ ( $T_s$ )
$\langle v_{C2} \rangle_{T_s}$	แรงดันไฟฟ้าเฉลี่ยที่ตัวเก็บประจุ $C_2$ ในระยะเวลาของการสวิตช์ ( $T_s$ )
$\langle v_{L1} \rangle_{T_s}$	แรงดันไฟฟ้าเฉลี่ยที่ตัวเหนี่ยวนำ $L_1$ ในระยะเวลาของการสวิตช์ ( $T_s$ )
$\langle v_{L2} \rangle_{T_s}$	แรงดันไฟฟ้าเฉลี่ยที่ตัวเหนี่ยวนำ $L_2$ ในระยะเวลาของการสวิตช์ ( $T_s$ )
$\langle v_g \rangle_{T_s}$	แรงดันไฟฟ้าเฉลี่ยที่ทางเข้าในระยะเวลาของการสวิตช์ ( $T_s$ )
$\langle v_s \rangle_{T_s}$	แรงดันไฟฟ้าเฉลี่ยที่สวิตช์ $SW$ ในระยะเวลาของการสวิตช์ ( $T_s$ )
$\langle v_1 \rangle_{T_s}$	แรงดันไฟฟ้าเฉลี่ยที่ไดโอด $D_1$ ในระยะเวลาของการสวิตช์ ( $T_s$ )
$\langle v_2 \rangle_{T_s}$	แรงดันไฟฟ้าเฉลี่ยที่ไดโอด $D_2$ ในระยะเวลาของการสวิตช์ ( $T_s$ )
$\langle v_3 \rangle_{T_s}$	แรงดันไฟฟ้าเฉลี่ยที่ไดโอด $D_3$ ในระยะเวลาของการสวิตช์ ( $T_s$ )
$\eta$	ประสิทธิภาพ
$\Delta v$	แรงดันไฟฟ้ากระเพื่อมที่ทางออกสูงสุด
$\Delta v_{C1}$	แรงดันไฟฟ้ากระเพื่อมที่ $C_1$ สูงสุด
$\theta_C$	มุมเฟสของวงจรถดเชย
$\omega_C$	ความถี่เชิงมุมซึ่งอยู่กึ่งกลางระหว่างความถี่เชิงมุมของซีไร่ $z_1$ กับโพล $p_2$
$\omega_{co}$	ความถี่เชิงมุมครอสโอเวอร์
$\omega_{p2}$	ความถี่เชิงมุมของโพล $p_2$
$\omega_s$	ความถี่เชิงมุมในการสวิตช์
$\omega_{z1}$	ความถี่เชิงมุมของซีไร่ $z_1$

เอกสารนี้เป็นเอกสารที่สงวนไว้สำหรับการใช้งานเพื่อการศึกษาเท่านั้น ไม่อนุญาตให้นำไปใช้ประโยชน์ด้านการค้า  
ไม่ว่ากรณีใดๆ ทั้งสิ้น อีกทั้งห้ามมิให้ดัดแปลงเนื้อหา และต่อ XIV จึงอิงถึงเจ้าของเอกสารทุกครั้งที่มีการนำไปใช้

# บทที่ 1

## บทนำ

### 1.1 ความเป็นมาและความสำคัญของปัญหา

ปัจจุบันเกษตรกรในพื้นที่ห่างไกลนิยมนำพลังงานจากแสงอาทิตย์ที่ได้จากแผงเซลล์แสงอาทิตย์มาใช้เป็นแหล่งพลังงานไฟฟ้าเพื่อการเกษตรกรรมมากขึ้น เช่น การนำพลังงานไฟฟ้าที่ได้ดังกล่าวมาเป็นพลังงานสำหรับการสูบน้ำเข้าพื้นที่การเพาะปลูกด้วยปั๊มน้ำชนิดแรงดันไฟฟ้าตรง เป็นต้น ทั้งนี้เพราะพลังงานจากแสงอาทิตย์เป็นพลังงานที่สามารถนำมาใช้ได้สะดวกในพื้นที่ห่างไกลมากกว่าพลังงานชนิดอื่น นอกจากนี้พลังงานชนิดนี้เป็นพลังงานทดแทนที่สะอาดไม่สร้างปัญหาเกี่ยวกับภาวะแวดล้อมทางการเกษตร และเป็นพลังงานมีค่าใช้จ่ายต่ำ แต่ขั้นตอนการเชื่อมต่อแผงเซลล์แสงอาทิตย์เข้ากับปั๊มน้ำชนิดแรงดันไฟฟ้าตรงโดยตัวเกษตรกรเองอาจมีปัญหาเกิดขึ้นได้หลายประการอันเนื่องมาจากการขาดความรู้และความเข้าใจของเกษตรกร เช่น การที่เกษตรกรนำแผงเซลล์แสงอาทิตย์ที่มีค่าแรงดันไฟฟ้าตรงที่ทางออกไม่สอดคล้องกับ พิกัดคุณสมบัติทางไฟฟ้าของปั๊มน้ำชนิดแรงดันไฟฟ้าตรง เนื่องจากแผงเซลล์แสงอาทิตย์ที่ใช้อยู่ในปัจจุบันมีทั้งแบบที่เป็นรูปผลึก (Crystal) ที่มีแรงดันไฟฟ้าตรงที่ทางออกต่ำแต่จ่ายกระแสไฟฟ้าตรงได้พิกัดสูง [1] และแบบที่ไม่เป็นรูปผลึก (Amorphous) ที่มีแรงดันไฟฟ้าตรงที่ทางออกสูงแต่จ่ายกระแสไฟฟ้าตรงได้พิกัดต่ำ [2] ดังนั้นจึงเป็นสาเหตุให้ปั๊มน้ำนั้นเสียหายได้ และแม้ว่าเกษตรกรได้เลือกแผงเซลล์แสงอาทิตย์ที่มีค่าแรงดันไฟฟ้าตรงที่ทางออกสอดคล้องกับพิกัดคุณสมบัติทางไฟฟ้าของปั๊มน้ำชนิดแรงดันไฟฟ้าตรงแล้ว แต่ยังอาจเกิดปัญหาที่อาจทำให้ปั๊มน้ำเสียหายได้อีก หากเกษตรกรนำแผงเซลล์แสงอาทิตย์ต่อเข้ากับปั๊มน้ำชนิดแรงดันไฟฟ้าตรงโดยตรง ทั้งนี้เพราะแรงดันไฟฟ้าตรงที่ทางออกของแผงเซลล์แสงอาทิตย์แปรผันตามปริมาณความเข้มของแสงอาทิตย์ในแต่ละช่วงเวลาของวัน ซึ่งการที่แรงดันไฟฟ้าตรงที่ทางออกมีการเปลี่ยนแปลงนี้เป็นสาเหตุให้ปั๊มน้ำทำงานได้ไม่สมบูรณ์หรืออาจทำให้ปั๊มน้ำนั้นเสียหายได้ ด้วยปัญหาที่เกิดขึ้นดังกล่าวทางศูนย์เทคโนโลยีอิเล็กทรอนิกส์และคอมพิวเตอร์แห่งชาติ (NECTEC) ได้มีการนำเสนอหัวข้องานวิจัยเพื่อพัฒนาดีซี - ดีซีคอนเวอร์เตอร์ที่จะถูกนำมาเป็นตัวกลางเชื่อมต่อระหว่างแผงเซลล์แสงอาทิตย์กับปั๊มน้ำแรงดันไฟฟ้าตรง โดยคอนเวอร์เตอร์นี้ต้องมีคุณสมบัติที่สามารถรองรับแรงดันไฟฟ้าตรงที่ทางออกของแผงเซลล์แสงอาทิตย์ที่มีการเปลี่ยนแปลงได้ ทั้งที่เปลี่ยนแปลงตามชนิดแผงเซลล์แสงอาทิตย์และเปลี่ยนแปลงตามปริมาณความเข้มของแสงอาทิตย์ในแต่ละช่วงเวลาของวัน และคอนเวอร์เตอร์นั้นต้องสามารถสร้างแรงดันไฟฟ้าตรงให้มีค่าคงที่ตรงตามค่าแรงดันไฟฟ้าตรงที่ปั๊มน้ำต้องการ ดังนั้นดีซี - ดีซีคอนเวอร์เตอร์ที่ต้องการนี้จึงถูกกำหนดพิกัดคุณสมบัติทางไฟฟ้าให้สามารถรองรับพิสัยของแรงดันไฟฟ้าตรงจากแผงเซลล์แสงอาทิตย์ได้กว้าง 20 - 120V และสามารถใช้งานได้กับปั๊มน้ำแรงดันไฟฟ้าตรงสองชนิดคือ ปั๊มน้ำชนิดไฟฟ้ากระแสตรงขนาดพิกัด 24V

(240W) และขนาดพิกัด 12V (120W) นอกจากนี้ NECTEC ยังได้กำหนดคุณสมบัติเพิ่มเติมคือ ในเอกสารนี้เป็นเอกสารที่สงวนไว้สำหรับการใช้งานเพื่อการศึกษาเท่านั้น เมื่ออนุญาตให้นำไปใช้ประโยชน์ในการศึกษาไม่ว่ากรณีใดๆ ทั้งสิ้น อีกทั้งห้ามมิให้ดัดแปลงเนื้อหา และต้องอ้างอิงถึงเจ้าของเอกสารทุกครั้งที่มีการนำไปใช้

สภาวะการใช้งานจริงคอนเวอร์เตอร์นี้ต้องมีความเชื่อถือสูง มีระบบป้องกันการใช้งานผิดพลาดของ เกษตรกรหลากหลายชนิด สามารถทำงานในบริเวณพื้นที่การเกษตรที่อาจมีอุณหภูมิสูงหรือมีฝนตก และราคาประหยัด เนื่องจากคอนเวอร์เตอร์นี้ต้องถูกนำไปใช้ในพื้นที่ห่างไกล และถูกนำไปใช้โดย เกษตรกรที่อาจจะไม่มีความรู้จำกัด งานวิจัยเพื่อพัฒนาดีซี - ดีซีคอนเวอร์เตอร์สำหรับแผงเซลล์ แสงอาทิตย์นี้ได้ถูกแบ่งออกเป็นสองส่วนคือ ส่วนแรก ดีซี - ดีซีคอนเวอร์เตอร์กำลังหลัก และส่วนที่ สอง ดีซี - ดีซีคอนเวอร์เตอร์ที่ทำหน้าที่จ่ายพลังงานไฟฟ้าให้กับระบบไฟฟ้าของดีซี - ดีซีคอนเวอร์ เตอร์กำลังหลัก โดยดีซี - ดีซีคอนเวอร์เตอร์ส่วนที่สองนี้เป็นส่วนสำคัญที่สุดส่วนหนึ่งของงานวิจัยนี้ เนื่องจากหากไม่มีพลังงานไฟฟ้าจากดีซี - ดีซีคอนเวอร์เตอร์ที่ทำหน้าที่จ่ายพลังงานไฟฟ้าให้กับ อุปกรณ์อิเล็กทรอนิกส์ต่างๆ ของดีซี - ดีซีคอนเวอร์เตอร์กำลังหลักแล้ว จะทำให้ดีซี - ดีซีคอนเวอร์ เตอร์กำลังหลักไม่สามารถทำงานได้ ข้อกำหนดพิกัดคุณสมบัติทางไฟฟ้าที่สำคัญของดีซี - ดีซีคอน เวอร์เตอร์ที่ทำหน้าที่จ่ายพลังงานไฟฟ้านี้ต้องใช้แรงดันไฟฟ้าตรงจากแผงเซลล์แสงอาทิตย์เดียวกับ คอนเวอร์เตอร์กำลังหลักที่มีแรงดันไฟฟ้าที่ทางเข้า 20 – 120V และต้องสร้างแรงดันไฟฟ้าตรงคงที่ที่ ทางออก 18 V (3W) ให้กับระบบทางไฟฟ้าของคอนเวอร์เตอร์กำลังหลัก ซึ่งวิทยานิพนธ์เล่มนี้เป็น ผลงานการวิจัยเพื่อการศึกษาและพัฒนาดีซี - ดีซีคอนเวอร์เตอร์ที่ทำหน้าที่จ่ายพลังงานไฟฟ้าให้กับ ระบบไฟฟ้าของดีซี - ดีซีคอนเวอร์เตอร์กำลังหลัก

งานวิจัยนี้นำเสนอการวิเคราะห์ การออกแบบ และการสร้างดีซี - ดีซีคอนเวอร์เตอร์ที่ทำ หน้าที่จ่ายพลังงานไฟฟ้าให้กับระบบไฟฟ้าของคอนเวอร์เตอร์กำลังหลัก โดยผู้วิจัยได้นำเสนอดีซี - ดีซี คาสเคดฟลายแบคคอนเวอร์เตอร์แบบสวิทช์เดียว [3] ที่มีข้อกำหนดพิกัดคุณสมบัติทางไฟฟ้าตามที่ได้ กล่าวมาแล้วข้างต้น ซึ่งการทำงานของคอนเวอร์เตอร์นี้ถูกกำหนดให้ทำงานอยู่ในโหมดกระแสไฟฟ้า ไหลผ่านตัวเหนี่ยวนำแบบไม่ต่อเนื่อง (Discontinuous Current Mode, DCM) [4] การควบคุมการ ทำงานของคอนเวอร์เตอร์ถูกควบคุมด้วยระบบควบคุมป้อนกลับเชิงเส้นชนิดอนาล็อก (Analog Feedback Control System) ที่ถูกออกแบบด้วยเทคนิคเชิงความถี่ (Frequency Response Analysis) [5] ซึ่งเทคนิคนี้ต้องใช้แบบจำลองเชิงความถี่ชนิดสัญญาณรบกวนเอซีขนาดเล็ก (AC Small Signal Model) ของดีซี - ดีซีคาสเคดฟลายแบคคอนเวอร์เตอร์แบบสวิทช์เดียวในการ ออกแบบ โดยแบบจำลองดังกล่าวได้ถูกวิเคราะห์และจำลองขึ้นด้วยวิธีการเฉลี่ยการทำงานของสวิทช์ (Averaged Switch Model) [6] หลังจากนั้นได้นำแบบจำลองที่ได้มาวิเคราะห์ระบบควบคุม ป้อนกลับเชิงเส้นชนิดอนาล็อก เพื่อการออกแบบวงจรชดเชยอนาล็อก (Analog Compensator Circuit) ของระบบควบคุมดังกล่าวซึ่งทำหน้าที่รักษาแรงดันไฟฟ้าที่ทางออกให้มีค่าคงที่แม้ว่ามีการ เปลี่ยนแปลงแรงดันไฟฟ้าที่ทางเข้า และหรือมีการเปลี่ยนแปลงกระแสไฟฟ้าที่ทางออก การวิเคราะห์ เพื่อคำนวณค่าตัวแปรของวงจรชดเชยอนาล็อกใช้วิธี K - Factor [7] ผลการวิเคราะห์ดีซี - ดีซีคาส เคดฟลายแบคคอนเวอร์เตอร์แบบสวิทช์เดียวตามที่นำเสนอถูกนำมาตรวจสอบและยืนยันความถูกต้อง

โดยการสร้างคอนเวอร์เตอร์ต้นแบบ แล้วนำมาทดสอบการทำงานทั้งที่สภาวะคงตัว (Steady - State เอกสารนี้เป็นเอกสารที่สงวนไว้สำหรับการใช้งานเพื่อการศึกษาเท่านั้น ไม่อนุญาตให้นำไปใช้ประโยชน์ด้านการค้า ไม่ว่ากรณีใดๆ ทั้งสิ้น อีกทั้งห้ามมิให้ตัดแปลงเนื้อหา และต้องอ้างอิงถึงเจ้าของเอกสารทุกครั้งที่มีการนำไปใช้

Response) สภาวะพลวัต (Dynamic Response) และทดสอบประสิทธิภาพ ซึ่งได้ผลการทดลองที่ต้องการ

## 1.2 ความมุ่งหมายและวัตถุประสงค์ของการศึกษา

1. ศึกษาหลักการทำงานของดีซี – ดีซีเคสเคดฟลายแบคคอนเวอร์เตอร์แบบสวิตช์เดียว
2. ศึกษาวิธีการจำลองแบบจำลองชนิดสัญญาณรบกวนเอซีขนาดเล็กของดีซี – ดีซีเคสเคดฟลายแบคคอนเวอร์เตอร์แบบสวิตช์เดียวโดยวิธีการเฉลี่ยการทำงานของอุปกรณ์สวิตช์
3. ศึกษาทฤษฎีระบบควบคุมป้อนกลับเชิงเส้นชนิดอนาล็อกและการออกแบบวงจรชดเชยอนาล็อก
4. ออกแบบ สร้าง และทดสอบดีซี – ดีซีเคสเคดฟลายแบคคอนเวอร์เตอร์แบบสวิตช์เดียวต้นแบบ

## 1.3 ทฤษฎีหรือแนวความคิดที่ใช้ในการวิจัย

ผู้วิจัยมีแนวคิดและข้อพิจารณาในการใช้ดีซี – ดีซีคอนเวอร์เตอร์ทำหน้าที่แปลงแรงดันไฟฟ้าตรงจากค่าหนึ่งให้เป็นอีกค่าหนึ่ง ซึ่งคอนเวอร์เตอร์ชนิดนี้สามารถแบ่งเป็นสามชนิดคือ บัคคอนเวอร์เตอร์ (Buck Converter) บูสต์คอนเวอร์เตอร์ (Boost Converter) และบัค – บูสต์คอนเวอร์เตอร์ (Buck – Boost Converter) คอนเวอร์เตอร์ชนิดแรกทำหน้าที่แปลงแรงดันไฟฟ้าตรงจากค่าแรงดันไฟฟ้าสูงไปเป็นค่าแรงดันไฟฟ้าต่ำ คอนเวอร์เตอร์ชนิดที่สองทำหน้าที่แปลงแรงดันไฟฟ้าตรงจากค่าแรงดันไฟฟ้าต่ำไปเป็นค่าแรงดันไฟฟ้าสูง ส่วนคอนเวอร์เตอร์ชนิดที่สามสามารถทำหน้าที่ได้ทั้งแปลงแรงดันไฟฟ้าตรงจากค่าแรงดันไฟฟ้าสูงไปเป็นค่าแรงดันไฟฟ้าต่ำหรือแปลงแรงดันไฟฟ้าตรงจากค่าแรงดันไฟฟ้าต่ำไปเป็นค่าแรงดันไฟฟ้าสูงได้ ซึ่งเมื่อพิจารณาจากข้อกำหนดพิกัดของดีซี – ดีซีคอนเวอร์เตอร์ที่ทำหน้าที่จ่ายพลังงานไฟฟ้าให้กับระบบไฟฟ้าของดีซี – ดีซีคอนเวอร์เตอร์กำลังหลักที่ต้องการ (แรงดันไฟฟ้าตรงที่ทางเข้า 20 – 120V และแรงดันไฟฟ้าตรงที่ทางออก 18V) จึงมีเพียงบัคคอนเวอร์เตอร์ (Buck Converter) หรือบัค – บูสต์คอนเวอร์เตอร์ (Buck – Boost Converter) เท่านั้นที่สามารถทำงานได้ แต่เมื่อพิจารณาจากข้อกำหนดพิกัดแรงดันไฟฟ้าตรงที่ทางต่ำสุด 20V และการเกิดแรงดันไฟฟ้าตกคร่อมที่อุปกรณ์ต่างๆ ภายในคอนเวอร์เตอร์ จึงสรุปได้ว่ามีเพียงบัค – บูสต์คอนเวอร์เตอร์เท่านั้นที่สามารถทำงานได้ตามพิกัดที่ต้องการ งานวิจัยนี้จึงเลือกบัค – บูสต์คอนเวอร์เตอร์เป็นคอนเวอร์เตอร์เริ่มต้นในการวิจัย ต่อมาเมื่อพิจารณาจากบัค – บูสต์คอนเวอร์เตอร์พื้นฐานซึ่งเป็นคอนเวอร์เตอร์แบบวงจรเดียว และพิจารณาจากพิกัดแรงดันไฟฟ้าตรงที่ทางเข้าซึ่งมีพิสัยกว้าง บัค – บูสต์คอนเวอร์เตอร์แบบวงจรเดียวมีข้อจำกัดที่สำคัญคือ ถ้าแรงดันไฟฟ้าตรงที่ทางเข้ามีค่าสูงสุดตามพิกัดการที่คอนเวอร์เตอร์จะสามารถสร้างแรงดันไฟฟ้าตรงที่ทางออกให้มี

เอกสารนี้เป็นเอกสารที่สงวนไว้สำหรับการใช้งานเพื่อการศึกษาเท่านั้น ไม่อนุญาตให้นำไปใช้ประโยชน์ด้านการค้า ไม่ว่าจะกรณีใดๆ ทั้งสิ้น อีกทั้งห้ามมิให้ตัดแปลงเนื้อหา และต้องอ้างอิงถึงเจ้าของเอกสารทุกครั้งที่มีการนำไปใช้

ค่าคงที่ตามพิกัดที่ต้องการได้ คอนเวอร์เตอร์ต้องทำงานที่ค่าของดิวตี้ไซเคิล (Duty Cycle) มีค่าต่ำมากซึ่งทำได้ยากในทางปฏิบัติ [8] นอกจากนี้ยังมีข้อจำกัดอีกข้อหนึ่งที่สำคัญคือ บัค – บูลต์คอนเวอร์เตอร์แบบเดียวมีทิศทางของแรงดันไฟฟ้าตรงที่ทางเข้าตรงกันข้ามกับแรงดันไฟฟ้าตรงที่ทางออกซึ่งจะทำให้เกิดปัญหาเมื่อนำไปต่อร่วมกับคอนเวอร์เตอร์หลัก [9] ผู้วิจัยจึงได้พิจารณานำเสนอบัค – บูลต์คอนเวอร์เตอร์แบบสองวงจรคือ ดีซี – ดีซีคาสเคดฟลายแบคคอนเวอร์เตอร์ ซึ่งคอนเวอร์เตอร์ชนิดนี้ประกอบด้วยบัค – บูลต์คอนเวอร์เตอร์พื้นฐานสองวงจรต่อคาสเคดกัน โดยมีคุณสมบัติที่แก้ข้อจำกัดของบัค – บูลต์คอนเวอร์เตอร์แบบวงจรเดียวได้ แต่อย่างไรก็ตามบัค – บูลต์คอนเวอร์เตอร์พื้นฐานสองชุดต่อคาสเคดกันก็มีข้อจำกัดที่สำคัญคือต้องใช้อุปกรณ์ที่ทำหน้าที่เป็นสวิตช์จำนวนสองชุด โดยสวิตช์แต่ละชุดมีระบบควบคุมการทำงานแยกกัน ทำให้มีค่าใช้จ่ายเพิ่มขึ้นทั้งจากอุปกรณ์สวิตช์และวงจรขับอุปกรณ์สวิตช์ดังกล่าว ดังนั้นผู้วิจัยจึงนำเสนอ ดีซี – ดีซีคาสเคดฟลายแบคคอนเวอร์เตอร์แบบสวิตช์เดียว ซึ่งประกอบด้วยบัค – บูลต์คอนเวอร์เตอร์พื้นฐานสองชุดต่อคาสเคดกัน และมีอุปกรณ์สวิตช์เพียงตัวเดียวเพื่อลดค่าใช้จ่าย คอนเวอร์เตอร์แบบนี้ได้มีผู้ทำงานวิจัยที่เกี่ยวข้องจำนวนหนึ่ง เช่น งานวิจัยของ Bill Andreyck [3] ซึ่งได้เน้นการวิจัยในเรื่องการใช้วงจรควบคุมชนิดพิเศษที่จัดการทำได้ยาก งานวิจัยของ P.J. Akhijith และคณะ [10] ซึ่งได้ทำการวิจัยเฉพาะส่วนการจำลองการทำงานของคอนเวอร์เตอร์ด้วยโปรแกรม MATLAB<sup>®</sup> เท่านั้น

ดังนั้นในงานวิจัยนี้ผู้วิจัยได้นำเสนอ การวิเคราะห์ การออกแบบ การจำลองการทำงานด้วยโปรแกรม PSpice<sup>™</sup> การสร้าง และการทดสอบ ดีซี – ดีซีคาสเคดฟลายแบคคอนเวอร์เตอร์แบบสวิตช์เดียว ซึ่งต้องนำไปใช้สำหรับการจ่ายพลังงานให้กับคอนเวอร์เตอร์หลักที่ต่อกับแผงเซลล์แสงอาทิตย์ โดย ดีซี – ดีซีคาสเคดฟลายแบคคอนเวอร์เตอร์แบบสวิตช์เดียวนี้มีพิกัดคุณสมบัติทางไฟฟ้าของแรงดันไฟฟ้าตรงที่ทางเข้ากว้าง 20 – 120V แรงดันไฟฟ้าตรงที่ทางออก 18V ขนาดพิกัด 3W คอนเวอร์เตอร์ที่วิจัยนี้ประกอบด้วยสองส่วนคือ ส่วนจ่ายแรงดันไฟฟ้าตรง และส่วนของระบบควบคุม โดยการทำงานของส่วนจ่ายแรงดันไฟฟ้าตรงถูกออกแบบให้ทำงานในโหมดกระแสไฟฟ้าไหลผ่านตัวเหนี่ยวนำแบบไม่ต่อเนื่อง ทั้งนี้เพราะการใช้พลังงานของคอนเวอร์เตอร์หลักที่ต่อกับแผงเซลล์แสงอาทิตย์มีพิกัดกระแสไฟฟ้าที่ต้องการกว้างตามการทำงานของอุปกรณ์สวิตช์หลัก การควบคุมแรงดันไฟฟ้าตรงที่ทางออกของ ดีซี – ดีซีคาสเคดฟลายแบคคอนเวอร์เตอร์แบบสวิตช์เดียวถูกกระทำโดยการปรับเปลี่ยนดิวตี้ไซเคิลที่ซึ่งทำงานในโหมดการควบคุมด้วยแรงดันไฟฟ้า (Voltage Mode Control: VMC) ในส่วนของระบบควบคุมเป็นระบบควบคุมป้อนกลับเชิงเส้นชนิดอนาล็อกที่ถูกออกแบบด้วยเทคนิคเชิงความถี่ โดยในขั้นตอนการออกแบบส่วนของระบบควบคุมต้องใช้แบบจำลองเชิงความถี่ชนิดสัญญาณรบกวนเอซีขนาดเล็กของส่วนจ่ายกำลังไฟฟ้าตรง ซึ่งผู้วิจัยได้นำเสนอการวิเคราะห์และสร้างแบบจำลองนี้ด้วยวิธีการเฉลี่ยการทำงานของสวิตช์ หลักการวิเคราะห์และสร้างแบบจำลองของส่วนจ่ายกำลังไฟฟ้าตรงด้วยวิธีนี้คือ การจำลองอุปกรณ์สวิตช์ด้วยอุปกรณ์เชิงเส้น ซึ่งมีข้อดีคือสามารถนำไปใช้ออกแบบระบบควบคุมสำหรับคอนเวอร์เตอร์ได้หลากหลายชนิดทั้งสถานะคง

เอกสารนี้เป็นเอกสารที่สงวนไว้สำหรับการใช้งานเพื่อการศึกษาเท่านั้น ไม่อนุญาตให้นำไปใช้ประโยชน์ด้านการค้า ไม่ว่าจะกรณีใดๆ ทั้งสิ้น อีกทั้งห้ามมิให้ดัดแปลงเนื้อหา และต้องอ้างอิงถึงเจ้าของเอกสารทุกครั้งที่มีการนำไปใช้

ตัวและสภาวะพลวัต ส่วนการออกแบบวงจรชดเชยอนาล็อกของส่วนของระบบควบคุม ผู้วิจัยได้  
เลือกใช้วิธีการวิเคราะห์เพื่อคำนวณค่าของตัวแปรของวงจรชดเชยอนาล็อกด้วยวิธี K - Factor

#### 1.4 ขอบเขตการวิจัย

ศึกษาการทำงาน การวิเคราะห์ การออกแบบ และการสร้างดีซี - ดีซีคาสเคดฟลาย  
แบคคอนเวอร์เตอร์แบบสวิตช์เดียว ซึ่งประกอบด้วยส่วนจ่ายกำลังไฟฟ้าตรง และส่วนของระบบ  
ควบคุมป้อนกลับเชิงเส้นชนิดอนาล็อก ซึ่งทำหน้าที่รักษาแรงดันไฟฟ้าตรงที่ทางออกให้คงที่ และมี  
เสถียรภาพถึงแม้ว่าแรงดันไฟฟ้าตรงที่ทางเข้า และหรือ กระแสไฟฟ้าตรงที่ทางออกมีการเปลี่ยนแปลง  
โดยกำหนดพิกัดคุณสมบัติทางไฟฟ้า (Electrical Specifications) ของดีซี - ดีซีคาสเคดฟลาย  
แบคคอนเวอร์เตอร์แบบสวิตช์เดียวต้นแบบ ดังนี้คือ

- แรงดันไฟฟ้าตรงที่ทางเข้า 20 – 120V
- แรงดันไฟฟ้าตรงที่ทางออก 18V
- กำลังไฟฟ้าที่ทางออก 3W
- ความถี่ในการสวิตช์ 100kHz
- ค่าประสิทธิภาพเฉลี่ยไม่น้อย 60%
- ดีซี - ดีซีคาสเคดฟลายแบคคอนเวอร์เตอร์แบบสวิตช์เดียวทำงานในโหมดกระแสไฟฟ้า  
ไหลผ่านตัวเหนี่ยวนำแบบไม่ต่อเนื่อง

#### 1.5 ขั้นตอนของการศึกษา

1. ศึกษาหลักการทำงานของดีซี - ดีซีคาสเคดฟลายแบคคอนเวอร์เตอร์แบบสวิตช์เดียว
2. ศึกษาระบบควบคุมป้อนกลับเชิงเส้นชนิดอนาล็อก และการออกแบบวงจรชดเชยชนิด  
อนาล็อก
3. ออกแบบดีซี - ดีซีคาสเคดฟลายแบคคอนเวอร์เตอร์แบบสวิตช์เดียวต้นแบบ
4. สร้างและทดลองดีซี - ดีซีคาสเคดฟลายแบคคอนเวอร์เตอร์แบบสวิตช์เดียวต้นแบบ
5. วิเคราะห์ผลการทดลอง
6. สรุปผลการทดลอง

เอกสารนี้เป็นเอกสารที่สงวนไว้สำหรับการใช้งานเพื่อการศึกษาเท่านั้น ไม่อนุญาตให้นำไปใช้ประโยชน์ด้านการค้า  
ไม่ว่ากรณีใดๆ ทั้งสิ้น อีกทั้งห้ามมิให้ดัดแปลงเนื้อหา และต้องอ้างอิงถึงเจ้าของเอกสารทุกครั้งที่มีการนำไปใช้

## บทที่ 2

# ดีซี – ดีซีคาสเคดฟลายแบคคอนเวอร์เตอร์แบบสวิตช์ตัวเดียว

### 2.1 บทนำ

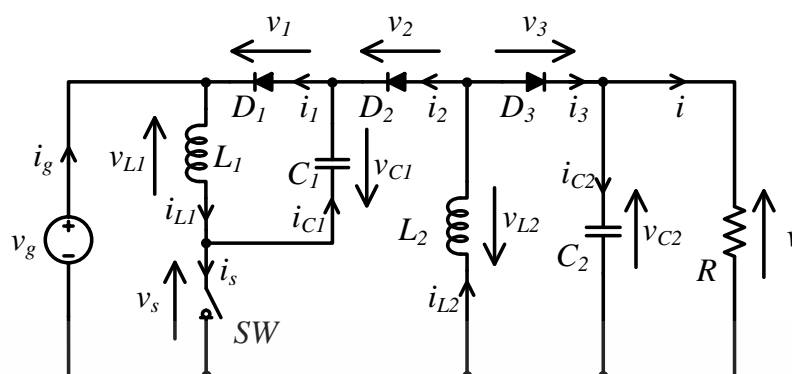
ดีซี – ดีซีคาสเคดฟลายแบคคอนเวอร์เตอร์แบบสวิตช์ตัวเดียวประกอบด้วยวงจรไฟฟ้าสองส่วนคือ ส่วนจ่ายแรงดันไฟฟ้าตรง และส่วนของระบบควบคุม เนื้อหาในวิทยานิพนธ์บทนี้นำเสนอเฉพาะการวิเคราะห์ส่วนจ่ายแรงดันไฟฟ้าตรงของดีซี – ดีซีคาสเคดฟลายแบคคอนเวอร์เตอร์แบบสวิตช์ตัวเดียวเท่านั้น โดยเนื้อหาแบ่งออกเป็นสองส่วนคือ ส่วนแรกเป็นการวิเคราะห์หลักการการทำงานของส่วนจ่ายแรงดันไฟฟ้าตรง เพื่อนำไปใช้ในออกแบบและสร้างคอนเวอร์เตอร์ต้นแบบ ส่วนที่สองเป็นการวิเคราะห์การสร้างแบบจำลองเชิงความถี่ชนิดสัญญาณรบกวนเอซีขนาดเล็กของส่วนจ่ายแรงดันไฟฟ้าตรง ซึ่งแบบจำลองที่ได้นี้จะถูกนำไปใช้ในการออกแบบและสร้างระบบควบคุมของดีซี – ดีซีคาสเคดฟลายแบคคอนเวอร์เตอร์แบบสวิตช์ตัวเดียวต้นแบบที่จะนำเสนอในบทต่อไป

### 2.2 ส่วนจ่ายแรงดันไฟฟ้าตรง

การวิเคราะห์ส่วนจ่ายแรงดันไฟฟ้าตรงประกอบด้วยสองส่วน คือ ส่วนแรกเป็นการอธิบายการทำงานของส่วนจ่ายแรงดันไฟฟ้าตรง ซึ่งประกอบด้วยรูปสัญญาณการทำงานและสมการที่เกี่ยวข้อง ส่วนที่สองเป็นการอธิบายวิธีการจำลองส่วนจ่ายแรงดันไฟฟ้าตรงเพื่อให้ได้แบบจำลองเชิงความถี่ชนิดสัญญาณรบกวนเอซีขนาดเล็ก โดยมีรายละเอียดดังนี้

#### 2.2.1 หลักการทำงานของส่วนจ่ายแรงดันไฟฟ้าตรง

ส่วนจ่ายแรงดันไฟฟ้าตรงของดีซี – ดีซีคาสเคดฟลายแบคคอนเวอร์เตอร์แบบสวิตช์ตัวเดียวแสดงดังรูปที่ 2.1 ซึ่งประกอบด้วยบัค – บูสต์คอนเวอร์เตอร์พื้นฐานสองวงจรต่อคาสเคดกัน วงจรแรกประกอบด้วยสวิตช์  $SW$  , ตัวเหนี่ยวนำ  $L_1$  , ไดโอด  $D_1$  และตัวเก็บประจุไฟฟ้า  $C_1$  ส่วนวงจรที่สองประกอบด้วยสวิตช์  $SW$  , ตัวเหนี่ยวนำ  $L_2$  , ไดโอด  $D_3$  และตัวเก็บประจุไฟฟ้า  $C_2$  โดยแรงดันไฟฟ้าที่ตัวเก็บประจุไฟฟ้า  $C_1$  จากวงจรแรกเป็นแรงไฟฟ้าที่ทางเข้าให้กับวงจรที่สอง

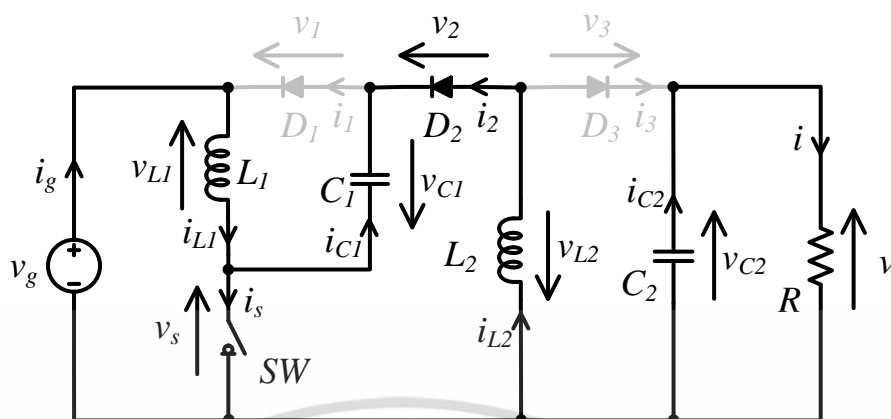


รูปที่ 2.1 ส่วนจ่ายแรงดันไฟฟ้าตรงของดีซี - ดีซีคาสเคดหลายแบบคอนเวอร์เตอร์แบบสวิตช์เดียว

เมื่อพิจารณาการทำงานของดีซี - ดีซีคาสเคดหลายแบบคอนเวอร์เตอร์แบบสวิตช์เดียวที่สถานะคงตัว (Steady - State Response) และทำงานในโหมดกระแสไฟฟ้าไหลผ่านตัวเหนี่ยวนำแบบไม่ต่อเนื่อง สวิตช์  $SW$  ทำงานด้วยความถี่ในการสวิตช์  $f_s$  ซึ่งมีคาบเวลา  $T_s = 1/f_s$  สามารถแบ่งช่วงการทำงานออกเป็นสามช่วงในหนึ่งคาบเวลา คือ  $d_1T_s$ ,  $d_2T_s$  และ  $d_3T_s$  โดยที่

$$d_1T_s + d_2T_s + d_3T_s = T_s \quad (2.1)$$

- ช่วงเวลาที่ 1 ( $d_1T_s$ ): สวิตช์  $SW$  นำกระแสไฟฟ้า ไดโอด  $D_1$  และ  $D_3$  ไม่นำกระแสไฟฟ้า ไดโอด  $D_2$  นำกระแสไฟฟ้าแสดงดังรูปที่ 2.2 ซึ่งตัวเหนี่ยวนำ  $L_1$  อยู่ในสถานะสะสมพลังงานไฟฟ้าจากแหล่งจ่ายแรงดันไฟฟ้า  $v_g$  และตัวเหนี่ยวนำ  $L_2$  อยู่ในสถานะสะสมพลังงานไฟฟ้าจากพลังงานไฟฟ้าที่สะสมในตัวเก็บประจุไฟฟ้า  $C_1$  ดังนั้นค่าของกระแสไฟฟ้าของตัวเหนี่ยวนำ  $L_1$  : ( $i_{L1}$ ) และ  $L_2$  : ( $i_{L2}$ ) จึงมีค่าเพิ่มขึ้น ขณะเดียวกันพลังงานไฟฟ้าที่สะสมในตัวเก็บประจุไฟฟ้า  $C_2$  ถูกถ่ายเทไปยังโหลดความต้านทาน  $R$  ช่วงเวลา  $d_1T_s$  นี้สามารถแสดงสมการของแรงดันไฟฟ้าและกระแสไฟฟ้าของส่วนจ่ายแรงดันไฟฟ้าตรงได้ดังสมการที่ (2.2) - (2.12)



รูปที่ 2.2 การทำงานของส่วนจ่ายแรงดันไฟฟ้าตรงช่วงเวลา  $d_1T_s$

$$v_s = 0 \quad (2.2)$$

$$v_1 = v_g + v_{C1} \quad (2.3)$$

$$v_2 = 0 \quad (2.4)$$

$$v_3 = v_{C1} + v_{C2} \quad (2.5)$$

$$v_{L1} = v_g \quad (2.6)$$

$$v_{L2} = v_{C1} \quad (2.7)$$

$$i_s = i_{L1} + i_{L2} \quad (2.8)$$

$$i_1 = 0 \quad (2.9)$$

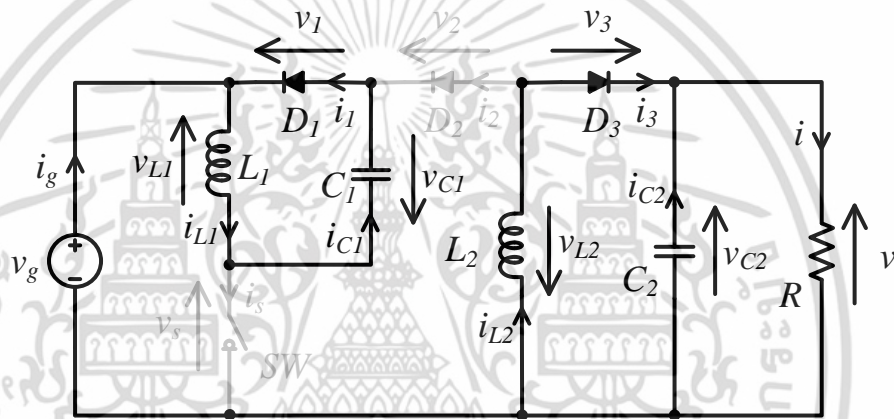
$$i_2 = i_{L2} \quad (2.10)$$

$$i_3 = 0 \quad (2.11)$$

$$i_{C1} = -i_{L2} \quad (2.12)$$

เอกสารนี้เป็นเอกสารที่สงวนไว้สำหรับการใช้งานเพื่อการศึกษาเท่านั้น ไม่อนุญาตให้นำไปใช้ประโยชน์ด้านการค้า ไม่ว่าจะกรณีใดๆ ทั้งสิ้น อีกทั้งห้ามมิให้ดัดแปลงเนื้อหา และต้องอ้างอิงถึงเจ้าของเอกสารทุกครั้งที่มีการนำไปใช้

- ช่วงเวลาที่ 2 ( $d_2T_s$ ): สวิตช์  $SW$  ไม่นำกระแสไฟฟ้า ไดโอด  $D_1$  และ  $D_3$  นำกระแสไฟฟ้า ไดโอด  $D_2$  ไม่นำกระแสไฟฟ้าแสดงดังรูปที่ 2.3 ซึ่งตัวเหนี่ยวนำ  $L_1$  และ  $L_2$  ทั้งสองอยู่ในสภาวะจ่ายพลังงานไฟฟ้าที่ได้สะสมไว้ในช่วงเวลา  $d_1T_s$  ดังนั้นค่าของกระแสไฟฟ้าของตัวเหนี่ยวนำ  $L_1 : (i_{L1})$  และ  $L_2 : (i_{L2})$  จึงมีค่าลดลง ตัวเก็บประจุไฟฟ้า  $C_1$  และ  $C_2$  อยู่ในสภาวะสะสมพลังงานไฟฟ้า โดยพลังงานไฟฟ้าที่สะสมใน  $L_1$  ถูกถ่ายเทไปยังตัวเก็บประจุไฟฟ้า  $C_1$  และพลังงานไฟฟ้าที่สะสมใน  $L_2$  ถูกถ่ายเทไปยังตัวเก็บประจุไฟฟ้า  $C_2$  และโหลดความต้านทาน  $R$  ช่วงเวลา  $d_2T_s$  นี้สามารถแสดงสมการของแรงดันไฟฟ้าและกระแสไฟฟ้าของส่วนจ่ายแรงดันไฟฟ้าตรงดังสมการที่ (2.13) - (2.23)



รูปที่ 2.3 การทำงานของส่วนจ่ายแรงดันไฟฟ้าตรงช่วงเวลา  $d_2T_s$

$$v_s = v_g + v_{C1} \quad (2.13)$$

$$v_1 = 0 \quad (2.14)$$

$$v_2 = v_g - v_{C2} \quad (2.15)$$

$$v_3 = 0 \quad (2.16)$$

$$v_{L1} = -v_{C1} \quad (2.17)$$

$$v_{L2} = -v_{C2} \quad (2.18)$$

$$i_s = 0 \quad (2.19)$$

เอกสารนี้เป็นเอกสารที่สงวนไว้สำหรับการใช้งานเพื่อการศึกษาเท่านั้น ไม่อนุญาตให้นำไปใช้ประโยชน์ด้านการศึกษาไม่ว่ากรณีใดๆ ทั้งสิ้น อีกทั้งห้ามมิให้ดัดแปลงเนื้อหา และต้องอ้างอิงถึงเจ้าของเอกสารทุกครั้งที่มีการนำไปใช้

$$i_1 = i_{L1} \quad (2.20)$$

$$i_2 = 0 \quad (2.21)$$

$$i_3 = i_{L2} \quad (2.22)$$

$$i_{C1} = i_{L1} \quad (2.23)$$

- ช่วงเวลาที่ 3 ( $d_3T_s$ ): สวิตช์  $SW$  ไม่นำกระแสไฟฟ้าและกระแสไฟฟ้าที่ไหลผ่านตัวเหนี่ยวนำ  $L_1$  ( $i_{L1}$ ) และ  $L_2$  ( $i_{L2}$ ) หยุดไหล ไดโอด  $D_1$ ,  $D_2$  และ  $D_3$  ไม่นำกระแสไฟฟ้าแสดงดังรูปที่ 2.4 พลังงานไฟฟ้าที่สะสมในตัวเก็บประจุไฟฟ้า  $C_2$  ถูกถ่ายเทไปยังโหลดความต้านทาน  $R$  ช่วงเวลา  $d_3T_s$  นี้สามารถแสดงสมการของแรงดันไฟฟ้าและกระแสไฟฟ้าของส่วนจ่ายแรงดันไฟฟ้าตรงดังสมการที่ (2.24) - (2.32)



รูปที่ 2.4 การทำงานของส่วนจ่ายแรงดันไฟฟ้าตรงช่วงเวลา  $d_3T_s$

$$v_s = v_g \quad (2.24)$$

$$v_1 = v_{C1} \quad (2.25)$$

$$v_2 = v_g - v_{C1} \quad (2.26)$$

$$v_3 = v_{C2} \quad (2.27)$$

เอกสารนี้เป็นเอกสารที่สงวนไว้สำหรับการใช้งานเพื่อการศึกษาเท่านั้น ไม่อนุญาตให้นำไปใช้ประโยชน์ด้านการค้า ไม่ว่าจะกรณีใดๆ ทั้งสิ้น อีกทั้งห้ามมิให้ดัดแปลงเนื้อหา และต้องอ้างอิงถึงเจ้าของเอกสารทุกครั้งที่มีการนำไปใช้

$$i_s = 0 \quad (2.28)$$

$$i_1 = 0 \quad (2.29)$$

$$i_2 = 0 \quad (2.30)$$

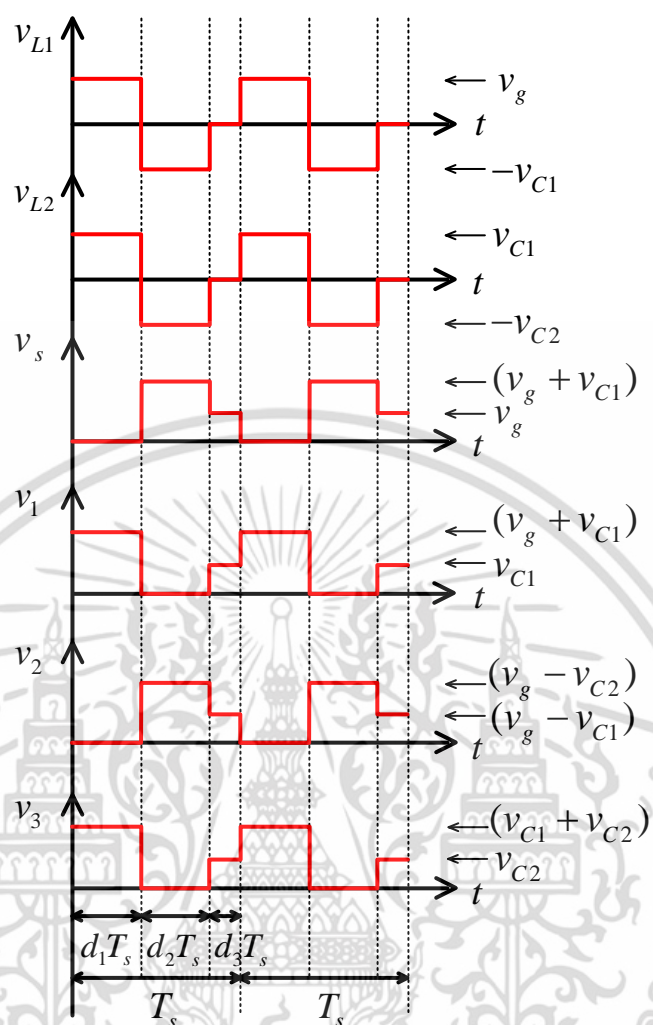
$$i_3 = 0 \quad (2.31)$$

$$i_{C1} = 0 \quad (2.32)$$

การทำงานของส่วนจ่ายแรงดันไฟฟ้าตรงนี้สามารถแสดงรูปสัญญาณของแรงดันไฟฟ้าได้ดังรูปที่ 2.5 (ก) และแสดงรูปสัญญาณของกระแสไฟฟ้าได้ดังรูปที่ 2.5 (ข)

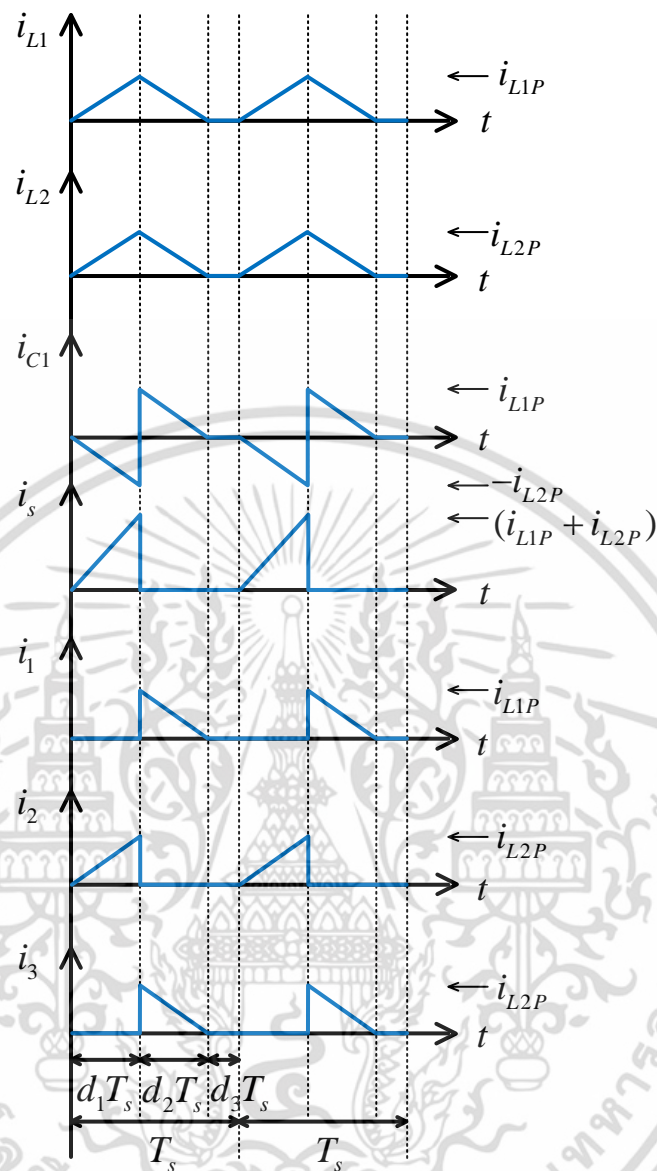


เอกสารนี้เป็นเอกสารที่สงวนไว้สำหรับการใช้งานเพื่อการศึกษาเท่านั้น ไม่อนุญาตให้นำไปใช้ประโยชน์ด้านการค้า ไม่ว่าจะกรณีใดๆ ทั้งสิ้น อีกทั้งห้ามมิให้ดัดแปลงเนื้อหา และต้องอ้างอิงถึงเจ้าของเอกสารทุกครั้งที่มีการนำไปใช้



(ก) รูปสัญญาณของแรงดันไฟฟ้า

เอกสารนี้เป็นเอกสารที่สงวนไว้สำหรับการใช้งานเพื่อการศึกษาเท่านั้น ไม่อนุญาตให้นำไปใช้ประโยชน์ด้านการค้า ไม่ว่าจะกรณีใดๆ ทั้งสิ้น อีกทั้งห้ามมิให้ดัดแปลงเนื้อหา และต้องอ้างอิงถึงเจ้าของเอกสารทุกครั้งที่มีการนำไปใช้



(ข) รูปสัญญาณของกระแสไฟฟ้า

รูปที่ 2.5 รูปสัญญาณการทำงานของส่วนจ่ายแรงดันไฟฟ้าตรง

## 2.2.2 การออกแบบส่วนจ่ายแรงดันไฟฟ้าตรง

เงื่อนไขการทำงานของส่วนจ่ายแรงดันไฟฟ้าตรงของดีซี - ดีซีคาสเคดฟลายแบคคอนเวอร์เตอร์แบบสวิตช์เดียวได้ถูกกำหนดไว้ว่าเมื่อส่วนจ่ายแรงดันไฟฟ้าตรงทำงานภายใต้สถานการณ์ที่ต้องจ่ายกำลังไฟฟ้าที่ทางออกมีค่าสูงสุดและแรงดันไฟฟ้าตรงที่ทางเข้ามีค่าต่ำสุด ส่วนจ่ายแรงดันไฟฟ้าตรงนี้ต้องทำงานในโหมดที่กระแสไฟฟ้าไหลผ่านตัวเหนี่ยวนำเป็นโหมดซึ่งอยู่ระหว่างโหมดที่กระแสไฟฟ้าไหลผ่านตัวเหนี่ยวนำแบบต่อเนื่อง (Continuous Current Mode, CCM) กับโหมดที่กระแสไฟฟ้าไหลผ่านตัวเหนี่ยวนำแบบไม่ต่อเนื่อง (Discontinuous Current Mode, DCM) ซึ่งจาก

เอกสารนี้เป็นเอกสารที่สงวนไว้สำหรับการใช้งานเพื่อการศึกษาเท่านั้น ไม่อนุญาตให้นำไปใช้ประโยชน์ด้านการค้าไม่ว่ากรณีใดๆ ทั้งสิ้น อีกทั้งห้ามมิให้ดัดแปลงเนื้อหา และต้องอ้างอิงถึงเจ้าของเอกสารทุกครั้งที่มีการนำไปใช้

เงื่อนไขนี้ผู้วิจัยจึงเลือกออกแบบส่วนจ่ายแรงดันไฟฟ้าตรงทำงานในโหมดกระแสไฟฟ้าไหลผ่านตัวเหนี่ยวนำแบบต่อเนื่อง และได้ออกแบบในขณะที่ส่วนจ่ายแรงดันไฟฟ้าตรงทำงานที่สภาวะคงตัว ค่าตัวใช้เคิลสูงสุด ( $D_{1,max}$ ) แสดงดังสมการที่ (2.33)

$$D_{1,max} = \frac{1}{1 + \sqrt{\frac{V_{g,min}}{V}}} \quad (2.33)$$

ค่าคาบเวลาการสวิตช์ ( $T_s$ ) แสดงดังสมการที่ (2.34)

$$T_s = \frac{1}{f_s} \quad (2.34)$$

ค่าคาบเวลาสูงสุดขณะที่สวิตช์  $SW$  นำกระแสไฟฟ้า ( $T_{on,max}$ ) และคาบเวลาดำสุดขณะที่สวิตช์  $SW$  ไม่นำกระแสไฟฟ้า ( $T_{off,min}$ ) แสดงดังสมการที่ (2.35) และ (2.36)

$$T_{on,max} = D_{1,max} T_s \quad (2.35)$$

$$T_{off,min} = T_s - T_{on,max} \quad (2.36)$$

ค่ากำลังไฟฟ้าเฉลี่ยสูงสุดที่ทางเข้าแสดงดังสมการที่ (2.37) โดยคำนวณจากค่ากำลังไฟฟ้าเฉลี่ยที่ทางออก และค่าประสิทธิภาพ ( $\eta$ ) ตามพิกัดคุณสมบัติทางไฟฟ้าที่กำหนด

$$P_{in,max} = \frac{P_{out}}{\eta} \quad (2.37)$$

ค่ากระแสไฟฟ้าเฉลี่ยสูงสุดที่ทางเข้าแสดงดังสมการที่ (2.38)

$$I_{g,max} = \frac{P_{in,max}}{V_{g,min}} \quad (2.38)$$

ค่ากระแสไฟฟ้าสูงสุดที่ตัวเหนี่ยวนำ  $L_1$  และค่าของตัวเหนี่ยวนำ  $L_1$  แสดงดังสมการที่ (2.39) และ (2.40)

เอกสารนี้เป็นเอกสารที่สงวนไว้สำหรับการใช้งานเพื่อการศึกษาเท่านั้น ไม่อนุญาตให้นำไปใช้ประโยชน์ด้านการค้า ไม่ว่าจะกรณีใดๆ ทั้งสิ้น อีกทั้งห้ามมิให้ตัดแปลงเนื้อหา และต้องอ้างอิงถึงเจ้าของเอกสารทุกครั้งที่มีการนำไปใช้

$$I_{L1P} = 2 \frac{I_{g,max}}{D_{1,max}} \quad (2.39)$$

$$L_1 = \frac{V_{g,min} T_{on,max}}{I_{L1P}} \quad (2.40)$$

ค่าแรงดันไฟฟ้าเฉลี่ยที่ตัวเก็บประจุไฟฟ้า  $C_1$  แสดงดังสมการที่ (2.41) ซึ่งเป็นแรงดันไฟฟ้าที่ทางเข้าของวงจรที่สอง และค่าของตัวเก็บประจุไฟฟ้า  $C_1$  แสดงดังสมการที่ (2.42)

$$V_{C1} = V_{g,min} \frac{T_{on,max}}{T_{off,min}} \quad (2.41)$$

$$C_1 = \frac{\Delta i_{L1} T_s}{8 \Delta v_{C1}} \quad (2.42)$$

ค่ากระแสไฟฟ้าสูงสุดที่  $L_2$  และค่าของตัวเหนี่ยวนำ  $L_2$  แสดงดังสมการที่ (2.43) และ (2.44)

$$I_{L2P} = \frac{2}{1 - D_{1,max}} \frac{P_{out}}{V} \quad (2.43)$$

$$L_2 = V_{C1} \frac{T_{on,max}}{I_{L2P}} \quad (2.44)$$

ค่าแรงดันไฟฟ้าเฉลี่ยที่ตัวเก็บประจุไฟฟ้า  $C_2$  แสดงดังสมการที่ (2.45) ซึ่งเป็นค่าแรงดันไฟฟ้าที่ทางออกตามพิกัดคุณสมบัติทางไฟฟ้าที่กำหนด (18V) และค่าของตัวเก็บประจุไฟฟ้า  $C_2$  แสดงดังสมการที่ (2.46)

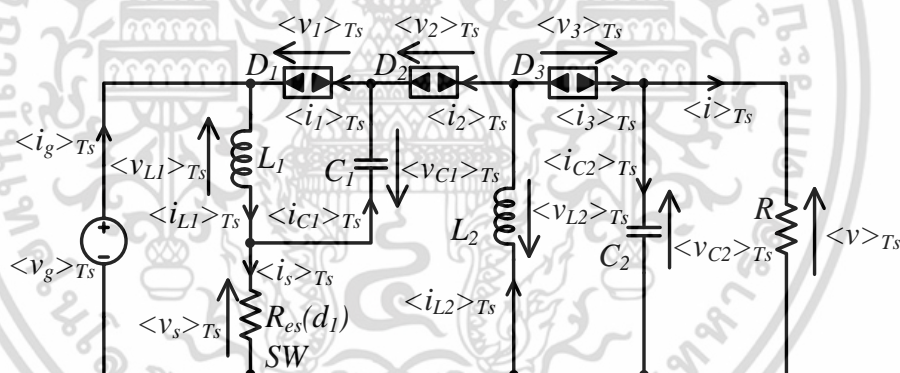
$$V_{C2} = V_{C1} \frac{D_{1,max}}{1 - D_{1,max}} \quad (2.45)$$

$$C_2 = \frac{\Delta i_{L2} T_s}{8 \Delta v} \quad (2.46)$$

เอกสารนี้เป็นเอกสารที่สงวนไว้สำหรับการใช้งานเพื่อการศึกษาเท่านั้น ไม่อนุญาตให้นำไปใช้ประโยชน์ด้านการค้าไม่ว่ากรณีใดๆ ทั้งสิ้น อีกทั้งห้ามมิให้ดัดแปลงเนื้อหา และต้องอ้างอิงถึงเจ้าของเอกสารทุกครั้งที่มีการนำไปใช้

## 2.3 การวิเคราะห์แบบจำลองส่วนจ่ายแรงดันไฟฟ้าตรง

ระบบควบคุมของดีซี – ดีซีคาสเคดฟลายแบคคอนเวอร์เตอร์แบบสวิตช์ตัวเดียว ในงานวิจัยนี้ได้เลือกใช้ระบบควบคุมป้อนกลับเชิงเส้นชนิดอนาล็อกที่ถูกออกแบบด้วยเทคนิคเชิงความถี่ ซึ่ง การออกแบบระบบควบคุมชนิดนี้ต้องการใช้แบบจำลองเชิงความถี่ชนิดสัญญาณรบกวนเอซีขนาดเล็กของส่วนจ่ายแรงดันไฟฟ้าตรง ดังนั้นผู้วิจัยจึงนำเสนอวิธีการวิเคราะห์และสร้างแบบจำลองเชิงความถี่ชนิดสัญญาณรบกวนเอซีขนาดเล็กของส่วนจ่ายแรงดันไฟฟ้าตรงของดีซี – ดีซีคาสเคดฟลายแบคคอนเวอร์เตอร์แบบสวิตช์ตัวเดียว โดยวิธีการเฉลี่ยการทำงานของสวิตช์ในคาบเวลาการสวิตช์ ( $T_s$ ) เป็นการจำลองอุปกรณ์ที่ทำหน้าเป็นสวิตช์ซึ่งได้แก่ สวิตช์  $SW$  ไดโอด  $D_1$ ,  $D_2$  และ  $D_3$  ให้มีคุณสมบัติเสมือนเป็นอุปกรณ์ชนิดเชิงเส้น หลักการของวิธีนี้คือการใช้ค่าเฉลี่ยของแรงดันไฟฟ้าและกระแสไฟฟ้าในระยะเวลาของการสวิตช์ ( $T_s$ ) ของแต่ละอุปกรณ์สวิตช์มาคำนวณแทนค่าของแรงดันไฟฟ้าและค่าของกระแสไฟฟ้าที่เวลาใดๆ ของอุปกรณ์นั้นๆ แบบจำลองจากผลการจำลองอุปกรณ์นี้แสดงดังในรูปที่ 2.6 ซึ่งสวิตช์  $SW$  เสมือนเป็นอุปกรณ์ความต้านทาน  $R_{es}$  ส่วนไดโอด  $D_1$ ,  $D_2$  และ  $D_3$  เสมือนเป็นแหล่งจ่ายกำลังไม่อิสระ (Dependence Power Source)



รูปที่ 2.6 แบบจำลองเชิงความถี่ชนิดสัญญาณรบกวนเอซีขนาดเล็กของส่วนจ่ายแรงดันไฟฟ้าตรง

เมื่อพิจารณาส่วนจ่ายแรงดันไฟฟ้าตรงซึ่งทำงานที่สภาวะคงตัว และพิจารณาจากรูปสัญญาณการทำงานของแรงดันไฟฟ้าและกระแสไฟฟ้าแสดงดังรูปที่ 2.5 แรงดันไฟฟ้าเฉลี่ยในระยะเวลาคาบเวลาของการสวิตช์ ( $T_s$ ) ของตัวเหนี่ยวนำ  $L_1$  และ  $L_2$  แสดงดังสมการที่ (2.47) และ (2.48)

$$\langle v_{L1} \rangle_{T_s} = d_1 \langle v_g \rangle_{T_s} + d_2 (-\langle v_{C1} \rangle_{T_s}) = 0 \quad (2.47)$$

$$\langle v_{L2} \rangle_{T_s} = d_1 \langle v_{C1} \rangle_{T_s} + d_2 (-\langle v_{C2} \rangle_{T_s}) = 0 \quad (2.48)$$

เอกสารนี้เป็นเอกสารที่สงวนไว้สำหรับการใช้งานเพื่อการศึกษาเท่านั้น ไม่อนุญาตให้นำไปใช้ประโยชน์ด้านการค้า ไม่ว่าจะกรณีใดๆ ทั้งสิ้น อีกทั้งห้ามมิให้ดัดแปลงเนื้อหา และต้องอ้างอิงถึงเจ้าของเอกสารทุกครั้งที่มีการนำไปใช้

กระแสไฟฟ้าสูงสุดที่ตัวเหนี่ยวนำ  $L_1$  และ  $L_2$  แสดงดังสมการที่ (2.49) และ (2.50)

$$i_{L1P} = \frac{\langle v_g \rangle_{T_s}}{L_1} d_1 T_s \quad (2.49)$$

$$i_{L2P} = \frac{\langle v_{C1} \rangle_{T_s}}{L_2} d_1 T_s \quad (2.50)$$

กระแสไฟฟ้าเฉลี่ยในระยะคาบเวลาของการสวิตช์ ( $T_s$ ) ที่ตัวเก็บประจุไฟฟ้า  $C_1$  แสดงดังสมการที่ (2.51)

$$\langle i_{C1} \rangle_{T_s} = \frac{1}{2} (-i_{L2P}) d_1 + \frac{1}{2} (i_{L1P}) d_2 \quad (2.51)$$

ความสัมพันธ์ระหว่าง  $d_1$  และ  $d_2$  แสดงดังสมการที่ (2.52) สามารถคำนวณได้จากสมการที่ (2.47)(2.48)(2.49)(2.50) และ (2.51)

$$d_2 = d_1 \frac{\langle v_g \rangle_{T_s}}{\langle v_{C1} \rangle_{T_s}} = d_1 \frac{\langle v_{C1} \rangle_{T_s}}{\langle v \rangle_{T_s}} = d_1 \sqrt{\frac{L_1}{L_2}} \quad (2.52)$$

เมื่อพิจารณาจากรูปที่ 2.5 สามารถคำนวณค่าแรงดันไฟฟ้าเฉลี่ยในระยะคาบเวลาของการสวิตช์ ( $T_s$ ) ของสวิตช์ SW ไดโอด  $D_1$ ,  $D_2$  และ  $D_3$  แสดงดังสมการที่ (2.53)(2.54)(2.55) และ (2.56) ตามลำดับ และสามารถคำนวณค่ากระแสไฟฟ้าเฉลี่ยในระยะคาบเวลาของการสวิตช์ ( $T_s$ ) ของสวิตช์ SW ไดโอด  $D_1$ ,  $D_2$  และ  $D_3$  แสดงดังสมการที่ (2.57)(2.58)(2.59) และ (2.60) ตามลำดับ

$$\langle v_s \rangle_{T_s} = d_1 \cdot 0 + d_2 (\langle v_g \rangle_{T_s} + \langle v_{C1} \rangle_{T_s}) + d_3 (\langle v_g \rangle_{T_s}) \quad (2.53)$$

$$\langle v_1 \rangle_{T_s} = d_1 (\langle v_g \rangle_{T_s} + \langle v_{C1} \rangle_{T_s}) + d_2 \cdot 0 + d_3 (\langle v_{C1} \rangle_{T_s}) \quad (2.54)$$

$$\langle v_2 \rangle_{T_s} = d_1 \cdot 0 + d_2 (\langle v_g \rangle_{T_s} - \langle v_{C2} \rangle_{T_s}) + d_3 (\langle v_g \rangle_{T_s} - \langle v_{C1} \rangle_{T_s}) \quad (2.55)$$

เอกสารนี้เป็นเอกสารที่สงวนไว้สำหรับการใช้งานเพื่อการศึกษาเท่านั้น ไม่อนุญาตให้นำไปใช้ประโยชน์ด้านการค้าไม่ว่ากรณีใดๆ ทั้งสิ้น อีกทั้งห้ามมิให้ดัดแปลงเนื้อหา และต้องอ้างอิงถึงเจ้าของเอกสารทุกครั้งที่มีการนำไปใช้

$$\langle v_s \rangle_{T_s} = d_1 (\langle v_{C1} \rangle_{T_s} + \langle v_{C2} \rangle_{T_s}) + d_2 \cdot 0 + d_3 (\langle v_{C2} \rangle_{T_s}) \quad (2.56)$$

$$\langle i_s \rangle_{T_s} = \frac{1}{2} (i_{L1P} + i_{L2P}) d_1 \quad (2.57)$$

$$\langle i_1 \rangle_{T_s} = \frac{1}{2} (i_{L1P}) d_2 \quad (2.58)$$

$$\langle i_2 \rangle_{T_s} = \frac{1}{2} (i_{L2P}) d_1 \quad (2.59)$$

$$\langle i_3 \rangle_{T_s} = \frac{1}{2} (i_{L2P}) d_2 \quad (2.60)$$

ผลจากสมการที่ (2.1) (2.47) - (2.60) ทำให้สามารถคำนวณค่าขนาดข้อมูลของแบบจำลอง สวิตช์ SW ไดโอด  $D_1$ ,  $D_2$  และ  $D_3$  ได้แก่ค่าเฉลี่ยในระยะคาบเวลาของการสวิตช์ ( $T_s$ ) ของ แรงดันไฟฟ้า กระแสไฟฟ้า กำลังไฟฟ้า และค่าขนาดแบบจำลองความต้านทานซึ่งได้จากการจำลอง ดังนี้คือ

- ข้อมูลของสวิตช์ SW

$$\langle v_s \rangle_{T_s} = \langle v_g \rangle_{T_s} \quad (2.61)$$

$$\langle i_s \rangle_{T_s} = \frac{\langle v_g \rangle_{T_s}}{R_{es}(d_1)} \quad (2.62)$$

$$\langle p_s \rangle_{T_s} = \langle v_s \rangle_{T_s} \langle i_s \rangle_{T_s} = \frac{\langle v_s \rangle_{T_s}^2}{R_{es}(d_1)} \quad (2.63)$$

$$R_{es}(d_1) = \frac{2L_{es}}{d_1^2 T_s} \quad (2.64)$$

$$L_{es} = \frac{1}{\left( \frac{1}{L_1} + \frac{1}{\sqrt{L_1 L_2}} \right)} \quad (2.65)$$

เอกสารนี้เป็นเอกสารที่สงวนไว้สำหรับการใช้งานเพื่อการศึกษาเท่านั้น ไม่อนุญาตให้นำไปใช้ประโยชน์ด้านการค้า ไม่ว่ากรณีใดๆ ทั้งสิ้น อีกทั้งห้ามมิให้ดัดแปลงเนื้อหา และต้องอ้างอิงถึงเจ้าของเอกสารทุกครั้งที่มีการนำไปใช้

- ข้อมูลของไดโอด  $D_1$

$$\langle v_1 \rangle_{T_s} = \langle v_{C1} \rangle_{T_s} \quad (2.66)$$

$$\langle i_1 \rangle_{T_s} = \frac{\langle v_g \rangle_{T_s}}{R_{e2}(d_1)} \quad (2.67)$$

$$\langle p_1 \rangle_{T_s} = \langle v_1 \rangle_{T_s} \langle i_1 \rangle_{T_s} = \frac{\langle v_g \rangle_{T_s}^2}{R_{e1}(d_1)} \quad (2.68)$$

$$R_{e1}(d_1) = \frac{2L_1}{d_1^2 T_s} \quad (2.69)$$

$$R_{e2}(d_1) = \frac{2\sqrt{L_1 L_2}}{d_1^2 T_s} \quad (2.70)$$

- ข้อมูลของไดโอด  $D_2$

$$\langle v_2 \rangle_{T_s} = \langle v_g \rangle_{T_s} - \langle v_{C1} \rangle_{T_s} \quad (2.71)$$

$$\langle i_2 \rangle_{T_s} = \frac{\langle v_g \rangle_{T_s}}{R_{e2}(d_1)} \quad (2.72)$$

$$\langle p_2 \rangle_{T_s} = \langle v_2 \rangle_{T_s} \langle i_2 \rangle_{T_s} = \frac{\langle v_g \rangle_{T_s}^2}{R_{e2}(d_1)} - \frac{\langle v_g \rangle_{T_s}^2}{R_{e1}(d_1)} \quad (2.73)$$

- ข้อมูลของไดโอด  $D_3$

$$\langle v_3 \rangle_{T_s} = \langle v \rangle_{T_s} \quad (2.74)$$

$$\langle i_3 \rangle_{T_s} = \frac{\langle v_g \rangle_{T_s}}{R_{e3}(d_1)} \quad (2.75)$$

เอกสารนี้เป็นเอกสารที่สงวนไว้สำหรับการใช้งานเพื่อการศึกษาเท่านั้น ไม่อนุญาตให้นำไปใช้ประโยชน์ด้านการค้า ไม่ว่าจะกรณีใดๆ ทั้งสิ้น อีกทั้งห้ามมิให้ดัดแปลงเนื้อหา และต้องอ้างอิงถึงเจ้าของเอกสารทุกครั้งที่มีการนำไปใช้

$$\langle p_3 \rangle_{T_s} = \langle v_3 \rangle_{T_s} \langle i_3 \rangle_{T_s} = \frac{\langle v_g \rangle_{T_s}^2}{R_{e1}(d_1)} \quad (2.76)$$

$$R_{e3}(d_1) = \frac{2L_2}{d_1^2 T_s} \quad (2.77)$$

สมการของแบบจำลองของส่วนจ่ายแรงดันไฟฟ้าตรงที่คำนวณได้ตามสมการที่ (2.61) – (2.77) เป็นสมการที่ไม่เป็นเชิงเส้น แต่ระบบควบคุมที่ถูกเลือกในงานวิจัยนี้เป็นการควบคุมป้อนกลับเชิงเส้นเชิงเส้น ดังนั้นสมการที่ไม่เป็นเชิงเส้นดังกล่าวต้องถูกทำให้เป็นสมการเชิงเส้น โดยการรบกวนสมการที่ไม่เป็นเชิงเส้นด้วยสัญญาณเอชี่ขนาดเล็กที่รอบจุดการทำงาน (Operating point) ของส่วนจ่ายแรงดันไฟฟ้าตรงที่สภาวะคงตัว (Small Signal Analysis) ซึ่งสมการที่ (2.78) – (2.86) แสดงการรบกวนด้วยสัญญาณเอชี่ขนาดเล็กที่ค่าตัวแปรต่างๆ ของส่วนจ่ายแรงดันไฟฟ้าตรง ซึ่งผลการวิเคราะห์จากการรบกวนดังกล่าวทำให้ได้แบบจำลองเชิงเส้นของส่วนจ่ายแรงดันไฟฟ้าตรงสองแบบจำลองคือแบบจำลองชนิดดีซีของส่วนจ่ายแรงดันไฟฟ้าตรง และแบบจำลองเชิงความถี่ชนิดสัญญาณรบกวนเอชี่ขนาดเล็กของส่วนจ่ายแรงดันไฟฟ้าตรง

$$d_1 = D_1 + \tilde{d}_1 \quad (2.78)$$

$$\langle v_s \rangle_{T_s} = V_s + \tilde{v}_s \quad (2.79)$$

$$\langle i_s \rangle_{T_s} = I_s + \tilde{i}_s \quad (2.80)$$

$$\langle v_1 \rangle_{T_s} = V_1 + \tilde{v}_1 \quad (2.81)$$

$$\langle i_1 \rangle_{T_s} = I_1 + \tilde{i}_1 \quad (2.82)$$

$$\langle v_2 \rangle_{T_s} = V_2 + \tilde{v}_2 \quad (2.83)$$

$$\langle i_2 \rangle_{T_s} = I_2 + \tilde{i}_2 \quad (2.84)$$

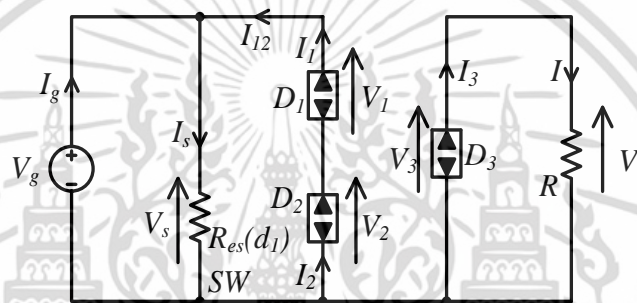
$$\langle v_3 \rangle_{T_s} = V_3 + \tilde{v}_3 \quad (2.85)$$

เอกสารนี้เป็นเอกสารที่สงวนไว้สำหรับการใช้งานเพื่อการศึกษาเท่านั้น ไม่อนุญาตให้นำไปใช้ประโยชน์ด้านการค้า ไม่ว่าจะกรณีใดๆ ทั้งสิ้น อีกทั้งห้ามมิให้ดัดแปลงเนื้อหา และต้องอ้างอิงถึงเจ้าของเอกสารทุกครั้งที่มีการนำไปใช้

$$\langle i_3 \rangle_{T_s} = I_3 + \tilde{i}_3 \quad (2.86)$$

### 2.3.1 แบบจำลองชนิดดีซีของส่วนจ่ายแรงดันไฟฟ้าตรง

แบบจำลองนี้เป็นแบบจำลองที่จัดการทำงานของส่วนจ่ายแรงดันไฟฟ้าตรง โดยพิจารณาการทำงานที่สภาวะคงตัว และไม่พิจารณาผลกระทบจากการรบกวนของสัญญาณเอซีขนาดเล็ก ซึ่งสามารถทำให้ประมาณได้ว่าค่าของแรงดันไฟฟ้าและกระแสไฟฟ้าในแบบจำลองชนิดดีซีของส่วนจ่ายแรงดันไฟฟ้าตรงนี้มีค่าคงที่ จึงทำให้สามารถพิจารณาผลของตัวเหนี่ยวนำ  $L_1$  และ  $L_2$  เสมือนลัดวงจร และตัวเก็บประจุไฟฟ้า  $C_1$  และ  $C_2$  เสมือนเปิดวงจรแสดงดังในรูปที่ 2.7



รูปที่ 2.7 แบบจำลองชนิดดีซีของส่วนจ่ายแรงดันไฟฟ้าตรง

เมื่อพิจารณากรณีที่ส่วนจ่ายแรงดันไฟฟ้าตรงมีคุณสมบัติเป็นอุดมคติ ทำให้สามารถประมาณได้ว่าเป็นการทำงานโดยไม่มีการสูญเสีย ซึ่งทำให้สามารถคำนวณค่ากำลังไฟฟ้าที่ทางเข้าได้จากสมการที่ (2.87) และคำนวณค่ากำลังไฟฟ้าที่ทางออกได้จากสมการที่ (2.88)

$$P_m = V_g I_g = V_g (I_s - I_{12}) = \frac{D_1^2 T_s}{2L_1} V_g^2 \quad (2.87)$$

$$P_{out} = \frac{V^2}{R} \quad (2.88)$$

อัตราขยายของแบบจำลองชนิดดีซีของส่วนจ่ายแรงดันไฟฟ้าตรงสามารถคำนวณจากสมการที่ (2.89)

$$\frac{V}{V_g} = D_1 \sqrt{\frac{RT_s}{2L_1}} = M(D_1) \quad (2.89)$$

เอกสารนี้เป็นเอกสารที่สงวนไว้สำหรับการใช้งานเพื่อการศึกษาเท่านั้น ไม่อนุญาตให้นำไปใช้ประโยชน์ด้านการค้า ไม่ว่าจะกรณีใดๆ ทั้งสิ้น อีกทั้งห้ามมิให้ดัดแปลงเนื้อหา และต้องอ้างอิงถึงเจ้าของเอกสารทุกครั้งที่มีการนำไปใช้

### 2.3.2 แบบจำลองเชิงความถี่ชนิดสัญญาณรบกวนเอซีขนาดเล็กของส่วนจ่ายแรงดันไฟฟ้า

ตรง

แบบจำลองนี้เป็นแบบจำลองที่จัดการทำงานของส่วนจ่ายแรงดันไฟฟ้าตรง โดยพิจารณาเฉพาะผลกระทบจากการรบกวนของสัญญาณรบกวนเอซีขนาดเล็ก เริ่มต้นการคำนวณจากสมการกระแสไฟฟ้าเฉลี่ยในคาบเวลาของการสวิตช์ ( $T_s$ ) ของสวิตช์  $SW$  ไดโอด  $D_1$ ,  $D_2$  และ  $D_3$  แสดงดังสมการที่ (2.90) – (2.93)

$$\langle i_s \rangle_{T_s} = \frac{\langle v_s \rangle_{T_s}}{R_{es}(d_1)} = I_s + \tilde{i}_s = f_s(\langle v_s \rangle_{T_s}, \langle v_1 \rangle_{T_s}, \langle v_2 \rangle_{T_s}, \langle v_3 \rangle_{T_s}, d_1) \quad (2.90)$$

$$\langle i_1 \rangle_{T_s} = \frac{\langle v_1 \rangle_{T_s}}{R_{e3}(d_1)} = I_1 + \tilde{i}_1 = f_1(\langle v_s \rangle_{T_s}, \langle v_1 \rangle_{T_s}, \langle v_2 \rangle_{T_s}, \langle v_3 \rangle_{T_s}, d_1) \quad (2.91)$$

$$\langle i_2 \rangle_{T_s} = \frac{\langle v_2 \rangle_{T_s}}{(1-k)R_{e2}(d_1)} = I_2 + \tilde{i}_2 = f_2(\langle v_s \rangle_{T_s}, \langle v_1 \rangle_{T_s}, \langle v_2 \rangle_{T_s}, \langle v_3 \rangle_{T_s}, d_1) \quad (2.92)$$

$$\langle i_3 \rangle_{T_s} = \frac{1}{R_{e1}(d_1)} \frac{\langle v_s \rangle_{T_s}}{\langle v_3 \rangle_{T_s}} = I_3 + \tilde{i}_3 = f_3(\langle v_s \rangle_{T_s}, \langle v_1 \rangle_{T_s}, \langle v_2 \rangle_{T_s}, \langle v_3 \rangle_{T_s}, d_1) \quad (2.93)$$

โดยที่  $k = \sqrt{L_2/L_1}$  และสมการที่ (2.90) – (2.93) ถูกกระจายออกด้วยเทคนิค Taylor Expansion ทำให้ได้สมการของแบบจำลองเชิงความถี่ชนิดสัญญาณรบกวนเอซีขนาดเล็กของส่วนจ่ายแรงดันไฟฟ้าตรงของสวิตช์  $SW$  ไดโอด  $D_1$ ,  $D_2$  และ  $D_3$  ตามสมการที่ (2.94) – (2.97)

$$\begin{aligned} I_s + \tilde{i}_s = & f_s(V_s, V_1, V_2, V_3, D_1) + \tilde{v}_s \left. \frac{\partial f_s(V_s, V_1, V_2, V_3, D_1)}{\partial v_s} \right|_{v_s=V_s} \\ & + \tilde{v}_1 \left. \frac{\partial f_s(V_s, v_1, V_2, V_3, D_1)}{\partial v_1} \right|_{v_1=V_1} + \tilde{v}_2 \left. \frac{\partial f_s(V_s, V_1, v_2, V_3, D_1)}{\partial v_2} \right|_{v_2=V_2} \\ & + \tilde{v}_3 \left. \frac{\partial f_s(V_s, V_1, V_2, v_3, D_1)}{\partial v_3} \right|_{v_3=V_3} + \tilde{d}_1 \left. \frac{\partial f_s(V_s, V_1, V_2, V_3, d_1)}{\partial d_1} \right|_{d_1=D_1} \\ & + \text{higher-order nonlinear terms} \end{aligned} \quad (2.94)$$

เอกสารนี้เป็นเอกสารที่สงวนไว้สำหรับการใช้งานเพื่อการศึกษาเท่านั้น ไม่อนุญาตให้นำไปใช้ประโยชน์ด้านการค้า ไม่ว่าจะกรณีใดๆ ทั้งสิ้น อีกทั้งห้ามมิให้ดัดแปลงเนื้อหา และต้องอ้างอิงถึงเจ้าของเอกสารทุกครั้งที่มีการนำไปใช้

$$\begin{aligned}
I_1 + \tilde{i}_1 &= f_1(V_s, V_1, V_2, V_3, D_1) + \tilde{v}_s \left. \frac{\partial f_1(v_s, V_1, V_2, V_3, D_1)}{\partial v_s} \right|_{v_s=V_s} \\
&+ \tilde{v}_1 \left. \frac{\partial f_1(V_s, v_1, V_2, V_3, D_1)}{\partial v_1} \right|_{v_1=V_1} + \tilde{v}_2 \left. \frac{\partial f_1(V_s, V_1, v_2, V_3, D_1)}{\partial v_2} \right|_{v_2=V_2} \\
&+ \tilde{v}_3 \left. \frac{\partial f_1(V_s, V_1, V_2, v_3, D_1)}{\partial v_3} \right|_{v_3=V_3} + \tilde{d}_1 \left. \frac{\partial f_1(V_s, V_1, V_2, V_3, d_1)}{\partial d_1} \right|_{d_1=D_1} \\
&+ \text{higher-order nonlinear terms}
\end{aligned} \tag{2.95}$$

$$\begin{aligned}
I_2 + \tilde{i}_2 &= f_2(V_s, V_1, V_2, V_3, D_1) + \tilde{v}_s \left. \frac{\partial f_2(v_s, V_1, V_2, V_3, D_1)}{\partial v_s} \right|_{v_s=V_s} \\
&+ \tilde{v}_1 \left. \frac{\partial f_2(V_s, v_1, V_2, V_3, D_1)}{\partial v_1} \right|_{v_1=V_1} + \tilde{v}_2 \left. \frac{\partial f_2(V_s, V_1, v_2, V_3, D_1)}{\partial v_2} \right|_{v_2=V_2} \\
&+ \tilde{v}_3 \left. \frac{\partial f_2(V_s, V_1, V_2, v_3, D_1)}{\partial v_3} \right|_{v_3=V_3} + \tilde{d}_1 \left. \frac{\partial f_2(V_s, V_1, V_2, V_3, d_1)}{\partial d_1} \right|_{d_1=D_1} \\
&+ \text{higher-order nonlinear terms}
\end{aligned} \tag{2.96}$$

$$\begin{aligned}
I_3 + \tilde{i}_3 &= f_3(V_s, V_1, V_2, V_3, D_1) + \tilde{v}_s(t) \left. \frac{\partial f_3(v_s, V_1, V_2, V_3, D_1)}{\partial v_s} \right|_{v_s=V_s} \\
&+ \tilde{v}_1 \left. \frac{\partial f_3(V_s, v_1, V_2, V_3, D_1)}{\partial v_1} \right|_{v_1=V_1} + \tilde{v}_2 \left. \frac{\partial f_3(V_s, V_1, v_2, V_3, D_1)}{\partial v_2} \right|_{v_2=V_2} \\
&+ \tilde{v}_3 \left. \frac{\partial f_3(V_s, V_1, V_2, v_3, D_1)}{\partial v_3} \right|_{v_3=V_3} + \tilde{d}_1 \left. \frac{\partial f_3(V_s, V_1, V_2, V_3, d_1)}{\partial d_1} \right|_{d_1=D_1} \\
&+ \text{higher-order nonlinear terms}
\end{aligned} \tag{2.97}$$

กรณีที่ไม่พิจารณาผลการรบกวนของสัญญาณเอซีขนาดเล็ก การคำนวณค่ากระแสไฟฟ้าของแบบจำลองของสวิตช์ SW ไดโอด  $D_1$ ,  $D_2$  และ  $D_3$  ได้ตามสมการที่ (2.98) – (2.101)

$$I_s = \frac{V_s}{R_{es}(D_1)} \tag{2.98}$$

$$I_1 = \frac{V_1}{R_{e3}(D_1)} \tag{2.99}$$

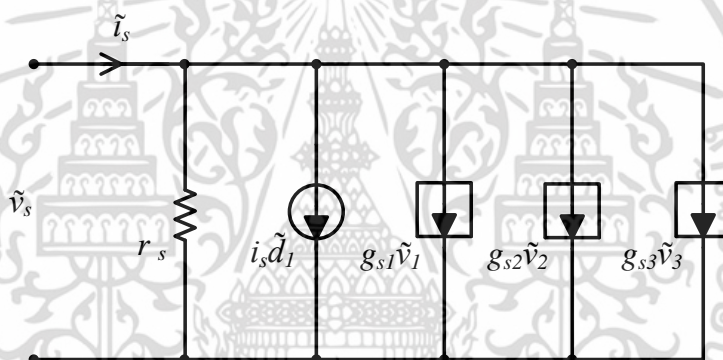
เอกสารนี้เป็นเอกสารที่สงวนไว้สำหรับการใช้งานเพื่อการศึกษาเท่านั้น ไม่อนุญาตให้นำไปใช้ประโยชน์ด้านการค้าไม่ว่ากรณีใดๆ ทั้งสิ้น อีกทั้งห้ามมิให้ดัดแปลงเนื้อหา และต้องอ้างอิงถึงเจ้าของเอกสารทุกครั้งที่มีการนำไปใช้

$$I_2 = \frac{V_2}{(1-k)R_{e2}(D_1)} \quad (2.100)$$

$$I_3 = \frac{1}{R_{e1}(D_1)} \frac{V_s^2}{V_3} \quad (2.101)$$

เมื่อพิจารณาเฉพาะผลการรบกวนของสัญญาณเอซีขนาดเล็ก ทำให้ได้แบบจำลองเชิงความถี่ขั้วสัญญาณรบกวนเอซีขนาดเล็กของสวิทช์  $SW$  ไดโอด  $D_1$ ,  $D_2$  และ  $D_3$  แสดงได้ดังต่อไปนี้

แบบจำลองเชิงความถี่ขั้วสัญญาณรบกวนเอซีขนาดเล็กที่สวิทช์  $SW$



รูปที่ 2.8 แบบจำลองเชิงความถี่ขั้วสัญญาณรบกวนเอซีขนาดเล็กที่สวิทช์  $SW$

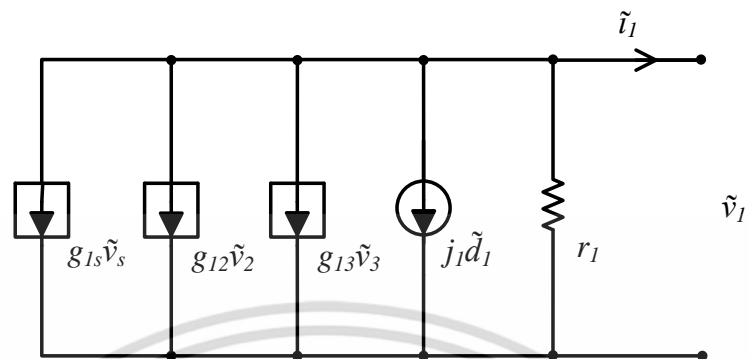
$$\frac{1}{r_s} = \frac{1}{R_{es}(D_1)} \quad (2.102)$$

$$j_s = \frac{2V_g}{R_{es}(D_1)D_1} \quad (2.103)$$

$$g_{s1} = g_{s2} = g_{s3} = 0 \quad (2.104)$$

เอกสารนี้เป็นเอกสารที่สงวนไว้สำหรับการใช้งานเพื่อการศึกษาเท่านั้น ไม่อนุญาตให้นำไปใช้ประโยชน์ด้านการค้า ไม่ว่าจะกรณีใดๆ ทั้งสิ้น อีกทั้งห้ามมิให้ดัดแปลงเนื้อหา และต้องอ้างอิงถึงเจ้าของเอกสารทุกครั้งที่มีการนำไปใช้

แบบจำลองเชิงความถี่ขนาดสัญญาณรบกวนเอซีขนาดเล็กที่ไดโอด  $D_1$



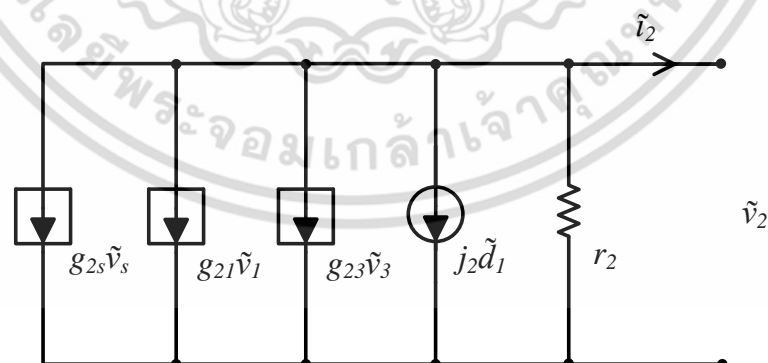
รูปที่ 2.9 แบบจำลองเชิงความถี่ขนาดสัญญาณรบกวนเอซีขนาดเล็กที่ไดโอด  $D_1$

$$\frac{1}{r_1} = \frac{1}{R_{e3}(D_1)} \quad (2.105)$$

$$j_1 = \frac{2V_g}{R_{e2}(D_1)D_1} \quad (2.106)$$

$$g_{1s} = g_{12} = g_{13} = 0 \quad (2.107)$$

แบบจำลองเชิงความถี่ขนาดสัญญาณรบกวนเอซีขนาดเล็กที่ไดโอด  $D_2$



รูปที่ 2.10 แบบจำลองเชิงความถี่ขนาดสัญญาณรบกวนเอซีขนาดเล็กที่ไดโอด  $D_2$

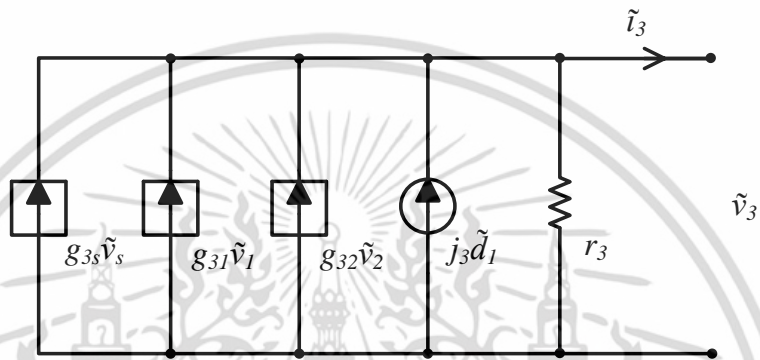
$$\frac{1}{r_2} = \frac{1}{(1-k)R_{e2}(D_1)} \quad (2.108)$$

เอกสารนี้เป็นเอกสารที่สงวนไว้สำหรับการใช้งานเพื่อการศึกษาเท่านั้น ไม่อนุญาตให้นำไปใช้ประโยชน์ด้านการค้า ไม่ว่าจะกรณีใดๆ ทั้งสิ้น อีกทั้งห้ามมิให้ดัดแปลงเนื้อหา และต้องอ้างอิงถึงเจ้าของเอกสารทุกครั้งที่มีการนำไปใช้

$$j_2 = \frac{2V_g}{R_{e2}(D_1)D_1} \quad (2.109)$$

$$g_{2s} = g_{21} = g_{23} = 0 \quad (2.110)$$

แบบจำลองเชิงความถี่ชนิดสัญญาณรบกวนเอซีขนาดเล็กที่ไดโอด  $D_3$



รูปที่ 2.11 แบบจำลองเชิงความถี่ชนิดสัญญาณรบกวนเอซีขนาดเล็กที่ไดโอด  $D_3$

$$\frac{1}{r_3} = \frac{1}{R_{e1}(D_1)M(D_1)^2} \quad (2.111)$$

$$j_3 = \frac{2V_g}{M(D_1)R_{e1}(D_1)D_1} \quad (2.112)$$

$$g_{3s} = \frac{2}{R_{e1}(D_1)M(D_1)}, g_{31} = g_{32} = 0 \quad (2.113)$$

สมการของกระแสไฟฟ้าเฉพาะที่มีการรบกวนชนิดสัญญาณเอซีขนาดเล็กของสวิตช์  $SW$  ไดโอด  $D_1$ ,  $D_2$  และ  $D_3$  แสดงดังสมการที่ (2.114) – (2.117) แบบจำลองเชิงความถี่ชนิดสัญญาณรบกวนเอซีขนาดเล็กของส่วนจ่ายแรงดันไฟฟ้าตรงแสดงดังรูปที่ 2.8

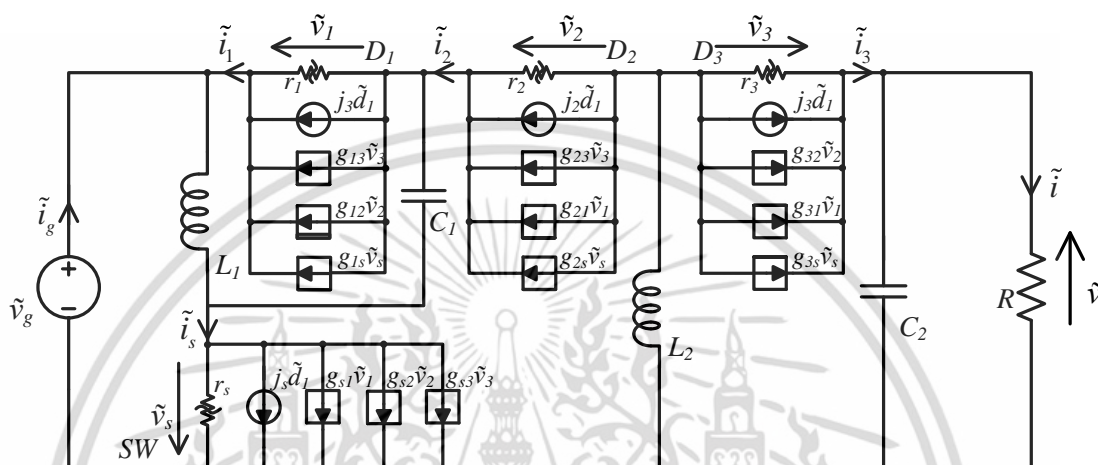
$$\tilde{i}_s = \frac{\tilde{v}_s}{r_s} + g_{s1}\tilde{v}_1 + g_{s2}\tilde{v}_2 + g_{s3}\tilde{v}_3 + j_s\tilde{d}_1 \quad (2.114)$$

$$\tilde{i}_1 = g_{1s}\tilde{v}_s + \frac{\tilde{v}_1}{r_1} + g_{12}\tilde{v}_2 + g_{13}\tilde{v}_3 + j_1\tilde{d}_1 \quad (2.115)$$

เอกสารนี้เป็นเอกสารที่สงวนไว้สำหรับการใช้งานเพื่อการศึกษาเท่านั้น ไม่อนุญาตให้นำไปใช้ประโยชน์ด้านการค้า ไม่ว่าจะกรณีใดๆ ทั้งสิ้น อีกทั้งห้ามมิให้ดัดแปลงเนื้อหา และต้องอ้างอิงถึงเจ้าของเอกสารทุกครั้งที่มีการนำไปใช้

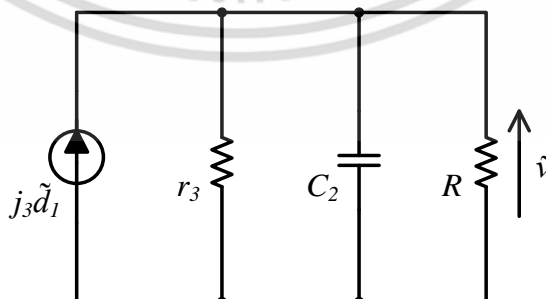
$$\tilde{i}_2 = g_{2s}\tilde{v}_s + g_{21}\tilde{v}_1 + \frac{\tilde{v}_2}{r_2} + g_{23}\tilde{v}_3 + j_2\tilde{d}_1 \quad (2.116)$$

$$\tilde{i}_3 = g_{3s}\tilde{v}_s + g_{31}\tilde{v}_1 + g_{32}\tilde{v}_2 + \frac{\tilde{v}_3}{r_3} + j_3\tilde{d}_1 \quad (2.117)$$



รูปที่ 2.12 แบบจำลองเชิงความถี่ชนิดสัญญาณรบกวนเอซีขนาดเล็กของส่วนจ่ายแรงดันไฟฟ้าตรง

แบบจำลองเชิงความถี่ชนิดสัญญาณรบกวนเอซีขนาดเล็กของส่วนจ่ายแรงดันไฟฟ้าตรงของ ดีซี - ดีซีคาสเคดพลาเยแบคคอนเวอร์เตอร์แบบสวิทช์ตัวเดียวตามรูปที่ (2.12) เมื่อพิจารณาการทำงานกรณีสัญญาณรบกวนชนิดเอซีขนาดเล็กมีความถี่ต่ำ ทำให้สามารถประมาณได้ว่าค่าอิมพีแดนซ์ (Impedance) ของตัวเหนี่ยวนำ  $L_1$  และ  $L_2$  มีค่าต่ำมาก ซึ่งสามารถลดรูปแบบจำลองที่ทางด้านออกภายใต้เงื่อนไขดังกล่าวแสดงดังในรูปที่ 2.13 และสามารถคำนวณฟังก์ชันถ่ายโอนชนิดสัญญาณรบกวนเอซีขนาดเล็กระหว่างแรงดันไฟฟ้าที่ทางออกกับดิวิตีไซเคิลได้ด้วยสมการที่ (2.118)



รูปที่ 2.13 แบบจำลองเชิงความถี่ชนิดสัญญาณรบกวนเอซีขนาดเล็กความถี่ต่ำ

เอกสารนี้เป็นเอกสารที่สงวนไว้สำหรับการใช้งานเพื่อการศึกษาเท่านั้น ไม่อนุญาตให้นำไปใช้ประโยชน์ด้านการค้า ไม่ว่าจะกรณีใดๆ ทั้งสิ้น อีกทั้งห้ามมิให้ดัดแปลงเนื้อหา และต้องอ้างอิงถึงเจ้าของเอกสารทุกครั้งที่มีการนำไปใช้

$$\frac{\tilde{v}}{\tilde{d}_1} = [j_3(R \parallel r_3)] \left( \frac{1}{1 + \frac{s}{\omega_p}} \right) \quad (2.118)$$

โดยค่า  $\omega_p$  แสดงดังสมการที่ (2.119)

$$\omega_p = \frac{1}{(R \parallel r_3)C_2} \quad (2.119)$$

## 2.4 บทสรุป

ในบทนี้ผู้วิจัยได้นำเสนอการวิเคราะห์ส่วนจ่ายแรงดันไฟฟ้าตรงของดีซี – ดีซีเคสเคดฟลายแบคคอนเวอร์เตอร์แบบสวิตช์ตัวเดียว โดยแบ่งเป็นสองส่วนคือ ส่วนแรกเป็นการวิเคราะห์หลักการทํางาน และวิเคราะห์สมการต่างๆ เพื่อนำไปสู่การออกแบบ และสร้างส่วนจ่ายแรงดันไฟฟ้าตรงของคอนเวอร์เตอร์ต้นแบบที่จะนำเสนอในบทที่ 4 ส่วนที่สองเป็นการวิเคราะห์เพื่อสร้างแบบจำลองทางคณิตศาสตร์ของส่วนจ่ายแรงดันไฟฟ้าตรงเพื่อนำไปใช้ในวิเคราะห์ ออกแบบ และสร้างระบบควบคุมของดีซี – ดีซีเคสเคดฟลายแบคคอนเวอร์เตอร์แบบสวิตช์ตัวเดียว ซึ่งจะกล่าวในบทต่อไป

### บทที่ 3

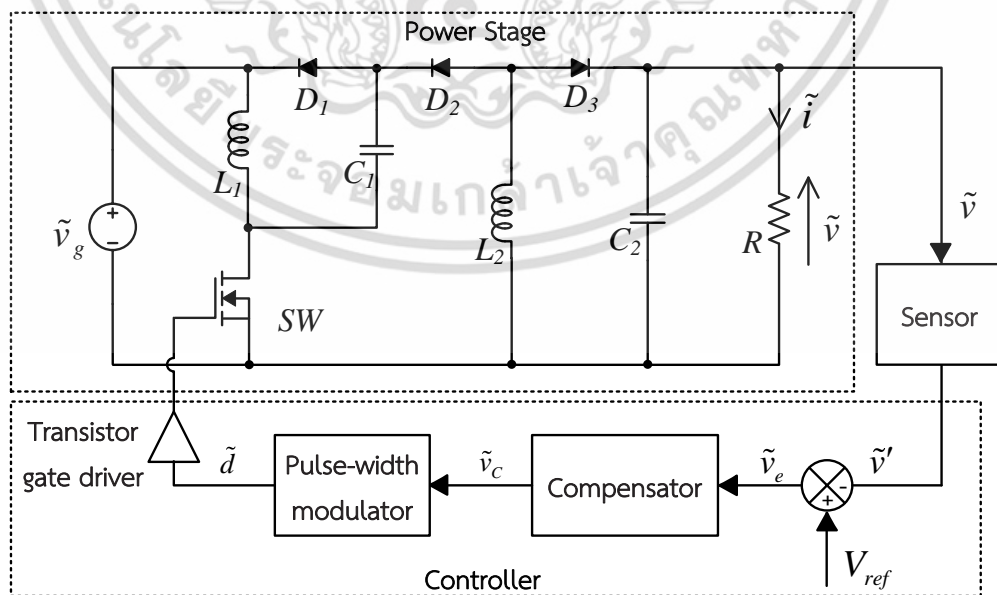
## การควบคุมดีซี – ดีซีคาสเคดฟลายแบคคอนเวอร์เตอร์

### 3.1 บทนำ

บทนี้แนะนำการวิเคราะห์ และวิธีการออกแบบระบบควบคุมของดีซี – ดีซีคาสเคดฟลายแบคคอนเวอร์เตอร์แบบสวิตช์ตัวเดียว โดยระบบควบคุมที่นำเสนอเป็นระบบควบคุมป้อนกลับเชิงเส้นชนิดอนาล็อก ซึ่งในการวิเคราะห์ผู้วิจัยได้ใช้เทคนิคการวิเคราะห์เชิงความถี่ชนิดสัญญาณรบกวนเอซีขนาดเล็กพร้อมกับแบบจำลองเชิงความถี่ของส่วนจ่ายแรงดันไฟฟ้าของดีซี – ดีซีคาสเคดฟลายแบคคอนเวอร์เตอร์แบบสวิตช์ตัวเดียวที่ได้ผลจากการวิเคราะห์ในบทที่แล้ว โดยการวิเคราะห์เพื่อคำนวณค่าตัวแปรของวงจรชดเชยอนาล็อกใช้วิธี K – Factor

### 3.2 โครงสร้างการควบคุมดีซี – ดีซีคาสเคดฟลายแบคคอนเวอร์เตอร์แบบสวิตช์ตัวเดียว

การควบคุมดีซี – ดีซีคาสเคดฟลายแบคคอนเวอร์เตอร์แบบสวิตช์ตัวเดียว มีจุดประสงค์เพื่อรักษาแรงดันไฟฟ้าตรงที่ทางออกให้มีค่าคงที่ แม้จะมีการเปลี่ยนแปลงค่าของแรงดันไฟฟ้าตรงที่ทางเข้า และหรือมีการเปลี่ยนแปลงค่าของกระแสไฟฟ้าตรงที่ทางออกทั้งแบบต่อเนื่องหรือแบบทันทีทันใด ไดอะแกรมเชิงความถี่ชนิดสัญญาณรบกวนเอซีขนาดเล็กของดีซี – ดีซีคาสเคดฟลายแบคคอนเวอร์เตอร์แบบสวิตช์ตัวเดียวซึ่งประกอบด้วยส่วนจ่ายแรงดันไฟฟ้าตรงและระบบควบคุมแสดงดังรูปที่ 3.1



รูปที่ 3.1 ไดอะแกรมเชิงความถี่ชนิดสัญญาณรบกวนเอซีขนาดเล็กของดีซี – ดีซีคาสเคด

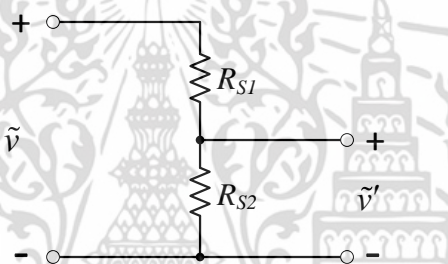
ฟลายแบคคอนเวอร์เตอร์แบบสวิตช์ตัวเดียว

เอกสารนี้เป็นเอกสารที่สงวนลิขสิทธิ์ไว้สำหรับใช้ในเพื่อการศึกษาเท่านั้น เมื่อนุญาตให้นำไปใช้ประโยชน์ด้านการค้าไม่ว่ากรณีใดๆ ทั้งสิ้น อีกทั้งห้ามมิให้ดัดแปลงเนื้อหา และต้องอ้างอิงถึงเจ้าของเอกสารทุกครั้งที่มีการนำไปใช้

ดีซี - ดีซีคาสเคดฟลายแบคคอนเวอร์เตอร์แบบสวิตช์ตัวเดียวและระบบควบคุม ประกอบด้วยสามส่วนคือ ส่วนจ่ายแรงดันไฟฟ้าตรงซึ่งได้กล่าวไปแล้วในบทที่แล้ว ส่วนเซนเซอร์ (Sensor) ซึ่งทำหน้าที่วัดค่าของแรงดันไฟฟ้าที่ทางออก และส่วนวงจรควบคุม (Controller) ซึ่งประกอบด้วยวงจรชดเชยอนาล็อกและวงจร PWM (Pulse-Width Modulator)

### ส่วนเซนเซอร์

ส่วนเซนเซอร์เป็นอุปกรณ์วัดค่าแรงดันไฟฟ้าที่ทางออก ( $\tilde{v}$ ) แล้วนำข้อมูลการวัดที่ได้ ( $\tilde{v}'$ ) มาเปรียบเทียบกับแรงดันไฟฟ้าอ้างอิง ( $V_{ref}$ ) โดยเป็นวงจรแบ่งแรงดันไฟฟ้าแสดงดังรูปที่ 3.2 ซึ่งมีฟังก์ชันถ่ายโอนเชิงความถี่ชนิดสัญญาณรบกวนเอซีขนาดเล็กระหว่างแรงดันไฟฟ้าที่ทางออกกับแรงดันไฟฟ้าที่ทางเข้าแสดงดังสมการที่ (3.1)

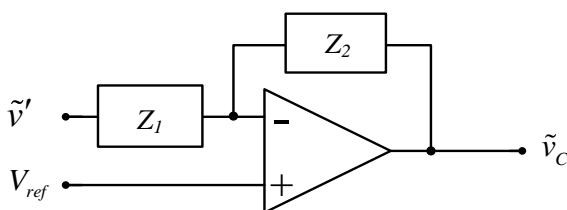


รูปที่ 3.2 วงจรแบ่งแรงดันไฟฟ้า

$$\frac{\tilde{v}'}{\tilde{v}} = \frac{R_{S1}}{R_{S1} + R_{S2}} \quad (3.1)$$

### วงจรชดเชยอนาล็อก

ค่าความแตกต่างระหว่างแรงดันไฟฟ้า  $V_{ref}$  กับ  $\tilde{v}'$  ซึ่งเป็นค่าความผิดพลาดของการทำงาน ถูกนำมาจัดการด้วยวงจรชดเชยอนาล็อกแสดงดังในรูปที่ 3.2 ซึ่งมีฟังก์ชันถ่ายโอนเชิงความถี่ชนิดสัญญาณรบกวนเอซีขนาดเล็กระหว่างแรงดันไฟฟ้าที่ทางออกกับแรงดันไฟฟ้าที่ทางเข้าแสดงดังสมการที่ (3.2)



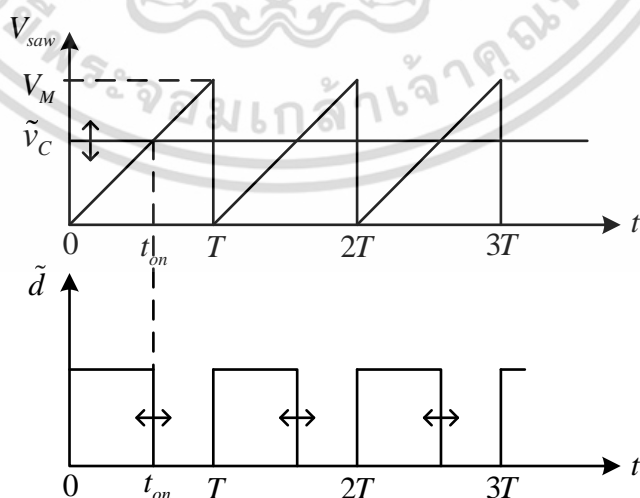
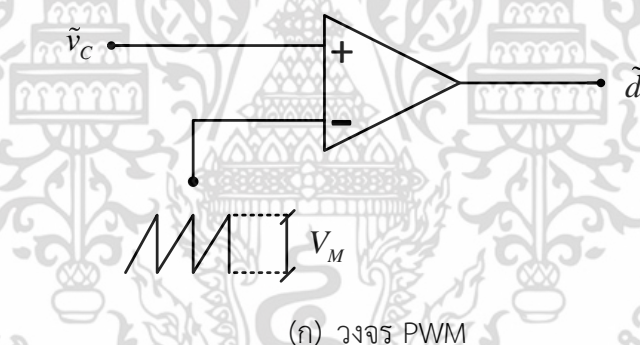
รูปที่ 3.3 วงจรชดเชยอนาล็อก

เอกสารนี้เป็นเอกสารที่สงวนไว้สำหรับการใช้งานเพื่อการศึกษาเท่านั้น เมื่ออนุญาตให้นำไปใช้ประโยชน์ด้านการค้า ไม่ว่าจะกรณีใดๆ ทั้งสิ้น อีกทั้งห้ามมิให้ดัดแปลงเนื้อหา และต้องอ้างอิงถึงเจ้าของเอกสารทุกครั้งที่มีการนำไปใช้

$$\frac{\tilde{v}_c}{\tilde{v}'} = -\frac{Z_2}{Z_1} \quad (3.2)$$

### วงจร PWM (Pulse-Width Modulator)

แรงดันไฟฟ้าควบคุม ( $\tilde{v}_c$ ) ที่ได้จากวงจรชดเชยอนาล็อกถูกนำไปใช้ปรับเปลี่ยนค่าของสัญญาณดิวตี้ไซเคิล ( $\tilde{d}$ ) ด้วยเทคนิคควบคุมด้วยแรงดันไฟฟ้าด้วยวงจร PWM แสดงดังรูปที่ 3.4 วงจรนี้ทำงานโดยนำแรงดันไฟฟ้าควบคุม ( $\tilde{v}_c$ ) มาเปรียบเทียบกับแรงดันไฟฟ้าซิกเนดฟันเลื่อย ( $V_{saw}$ ) แสดงดังรูปที่ 3.4(ก) โดยแรงดันไฟฟ้าที่ทางออกเป็นสัญญาณชนิดพัลส์ที่มีความถี่เท่ากับความถี่ในการสวิตช์ ( $f_s$ ) และความกว้างของสัญญาณชนิดพัลส์แปรตามแรงดันไฟฟ้าควบคุม ( $\tilde{v}_c$ ) ความกว้างของสัญญาณชนิดพัลส์นี้จึงเป็นตัวแปรที่กำหนดดิวตี้ไซเคิล ( $\tilde{d}$ ) ที่ใช้สำหรับการสั่งการให้มอเตอร์กำลังทำงาน วิธีการสร้างรูปสัญญาณสัญญาณชนิดพัลส์แสดงดังรูปที่ 3.4(ข) ฟังก์ชันถ่ายโอนเชิงความถี่ชนิดสัญญาณรบกวนเอชี่ขนาดเล็กระหว่างขนาดดิวตี้ไซเคิล ( $\tilde{d}$ ) กับแรงดันไฟฟ้าควบคุม ( $\tilde{v}_c$ ) แสดงดังสมการที่ (3.3)

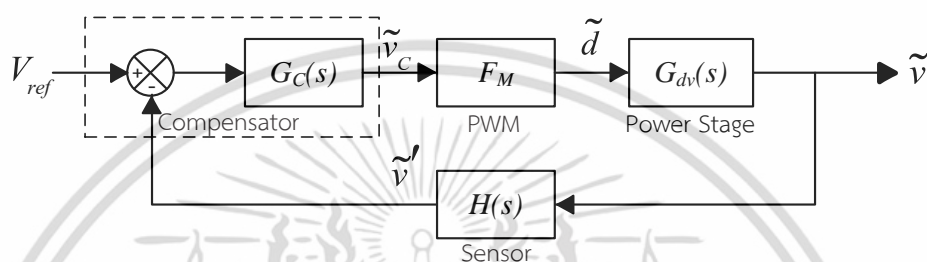


รูปที่ 3.4 วงจร PWM (Pulse-Width Modulator)

เอกสารนี้เป็นเอกสารที่สงวนไว้สำหรับการใช้งานเพื่อการศึกษาเท่านั้น เมื่ออนุญาตให้ใช้ประโยชน์ด้านการค้า ไม่ว่าจะกรณีใดๆ ทั้งสิ้น อีกทั้งห้ามมิให้ดัดแปลงเนื้อหา และต้องอ้างอิงถึงเจ้าของเอกสารทุกครั้งที่มีการนำไปใช้

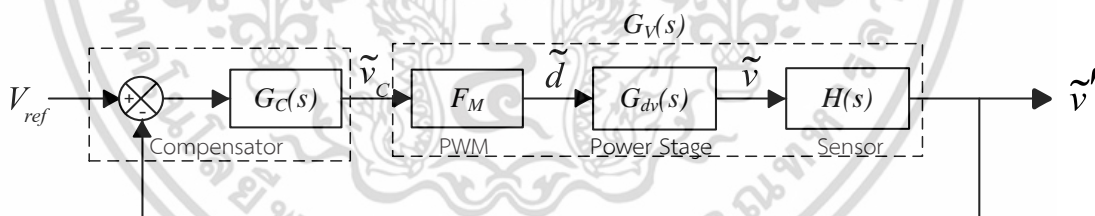
$$\frac{\tilde{d}}{\tilde{v}_c} = \frac{1}{V_M} \quad (3.3)$$

ส่วนจ่ายแรงดันไฟฟ้าตรง และระบบควบคุมของดีซี – ดีซีคาสเคดฟลายแบคคอนเวอร์เตอร์แบบสวิตช์ตัวเดียวที่แสดงดังรูปที่ 3.1 สามารถแสดงเป็นบล็อกไดอะแกรมเชิงความถี่ชนิดสัญญาณรบกวนชนิดเอซีขนาดเล็กดังรูปที่ 3.5



รูปที่ 3.5 บล็อกไดอะแกรมเชิงความถี่ชนิดสัญญาณรบกวนชนิดเอซีขนาดเล็กของดีซี – ดีซีคาสเคดฟลายแบคคอนเวอร์เตอร์แบบสวิตช์ตัวเดียว

บล็อกไดอะแกรมตามรูปที่ 3.5 ถูกปรับเปลี่ยนให้เป็นบล็อกไดอะแกรมของระบบป้อนกลับแบบหนึ่งหน่วย (Unity Feedback) ตามรูปที่ 3.6 ซึ่งทำให้ลดความซับซ้อนในการวิเคราะห์และการออกแบบระบบควบคุม



รูปที่ 3.6 บล็อกไดอะแกรมของระบบป้อนกลับแบบหนึ่งหน่วย

ฟังก์ชันถ่ายโอนเชิงความถี่ชนิดสัญญาณรบกวนชนิดเอซีขนาดเล็กของวงปิด (Closed-loop Transfer Function) ระหว่างค่าของ  $\tilde{v}'$  กับ  $V_{ref}$  แสดงดังสมการที่ (3.4)

$$\frac{\tilde{v}'}{V_{ref}} = \frac{T(s)}{1+T(s)} \quad (3.4)$$

โดยที่  $T(s)$  คือฟังก์ชันถ่ายโอนเชิงความถี่ชนิดสัญญาณรบกวนชนิดเอซีขนาดเล็กของวงเปิด (Open-loop Transfer Function) ซึ่งสามารถคำนวณได้จากสมการที่ (3.5)  
เอกสารนี้เป็นเอกสารที่สงวนไว้สำหรับการใช้งานเพื่อการศึกษาเท่านั้น ไม่อนุญาตให้นำไปใช้ประโยชน์ด้านการค้าไม่ว่ากรณีใดๆ ทั้งสิ้น อีกทั้งห้ามมิให้ดัดแปลงเนื้อหา และต้องอ้างอิงถึงเจ้าของเอกสารทุกครั้งที่มีการนำไปใช้

$$T(s) = G_C(s)F_M G_{dv}(s)H(s) = G_C(s)G_V(s) \quad (3.5)$$

### 3.3 หลักการออกแบบวงจรถดเซยอนาล็อก

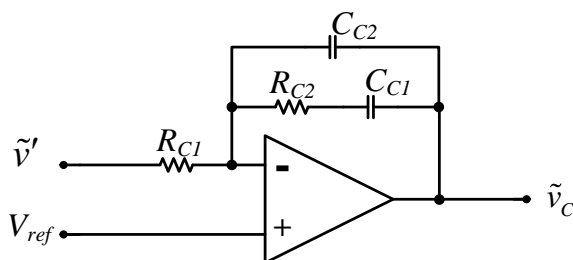
การออกแบบวงจรถดเซยอนาล็อกในงานวิจัยนี้ใช้วิธีการออกแบบเชิงความถี่ด้วยเทคนิค Bode Plot ซึ่งมีเงื่อนไขในการออกแบบคือ

1. วงจรถดเซยอนาล็อกต้องทำให้ดีซี – ดีซีคาสเคดฟลายแบคคอนเวอร์เตอร์แบบสวิตซ์ตัวเดียวมีการทำงานที่มีเสถียรภาพ และมีการตอบสนองอย่างรวดเร็วเพื่อการขจัดสัญญาณรบกวนจากภายนอก เช่น กรณีกะแสไฟฟ้าที่ทางออกมีการเปลี่ยนแปลงอย่างทันทีทันใด แรงดันไฟฟ้าที่ทางออกต้องถูกควบคุมให้กลับมาเป็นค่าตามพิกัดได้เร็วที่สุด ภายใต้เงื่อนไขดังกล่าวต้องออกแบบวงจรถดเซยอนาล็อกซึ่งทำให้ฟังก์ชันถ่ายโอนวงเปิด  $T(s)$  มีค่าของเฟสมาร์จินไม่น้อยกว่า  $45^\circ$

2. วงจรถดเซยอนาล็อกต้องทำให้ดีซี – ดีซีคาสเคดฟลายแบคคอนเวอร์เตอร์แบบสวิตซ์ตัวเดียวมีแรงดันไฟฟ้าที่ทางออกที่สภาวะคงตัวเท่ากับพิกัดคุณสมบัติทางไฟฟ้าที่ต้องการ ภายใต้เงื่อนไขนี้ต้องออกแบบวงจรถดเซยอนาล็อกซึ่งทำให้ฟังก์ชันถ่ายโอนวงเปิด  $T(s)$  มีค่าของขนาดชนิดดีซี  $T(0)$  มากที่สุด

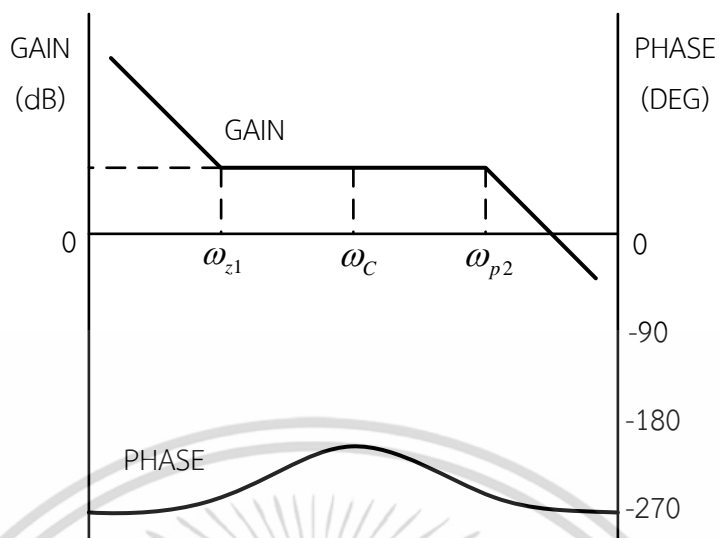
3. วงจรถดเซยอนาล็อกต้องทำให้ดีซี – ดีซีคาสเคดฟลายแบคคอนเวอร์เตอร์แบบสวิตซ์ตัวเดียวมีการตอบสนองอย่างรวดเร็วเพื่อขจัดสัญญาณรบกวนจากภายนอก แต่ในขณะเดียวกันต้องทำให้แรงดันไฟฟ้ากระแสเฟืองที่ทางออก (Output Ripple Voltage) มีค่าน้อยที่สุด ภายใต้เงื่อนไขนี้ต้องออกแบบวงจรถดเซยอนาล็อกซึ่งทำให้ฟังก์ชันถ่ายโอนวงเปิด  $T(s)$  มีความถี่ครอสโอเวอร์ (Crossover frequency :  $\omega_{co}$ ) มากที่สุดแต่น้อยกว่าครึ่งหนึ่งของความถี่ในการสวิตซ์  $\omega_s = 2\pi f_s$  ( $\omega_{co} < \omega_s/2$ ) ซึ่งงานวิจัยนี้ได้กำหนดให้มีค่าน้อยกว่าหนึ่งในสิบของความถี่ในการสวิตซ์ ( $\omega_{co} < \omega_s/10$ )

วงจรถดเซยอนาล็อกที่ใช้ในงานวิจัยนี้เลือกใช้วงจรถดเซยอนาล็อกชนิด Type 2 แสดงดังรูปที่ 3.7(ก) ซึ่งมีคุณสมบัติการตอบสนองเชิงความถี่ทั้งขนาดและมุมเฟส แสดงดังรูปที่ 3.7(ข) ฟังก์ชันถ่ายโอนเชิงความถี่ชนิดเอซีสัญญาณขนาดเล็กของวงจรถดเซยอนาล็อกชนิด Type 2 แสดงดังสมการที่ (3.6)



(ก) วงจรถดเซยอนาล็อกชนิด Type 2

เอกสารนี้เป็นเอกสารที่สงวนไว้สำหรับการใช้งานเพื่อการศึกษาเท่านั้น เมื่อผู้ใดเห็นหน้าไปใช้ประโยชน์ด้านการค้า ไม่ว่าจะกรณีใดๆ ทั้งสิ้น อีกทั้งห้ามมิให้ดัดแปลงเนื้อหา และต้องอ้างอิงถึงเจ้าของเอกสารทุกครั้งที่มีการนำไปใช้



(ข) ผลตอบสนองเชิงความถี่

รูปที่ 3.7 วงจรขดเชยอนาล็อกชนิด Type 2

$$\frac{\tilde{v}_C}{\tilde{v}} = -\frac{s + \frac{1}{R_{C2}C_{C1}}}{sR_{C1}C_{C2} \left( s + \frac{1}{R_{C2}C_{C2}} \right)} \quad (3.6)$$

วงจรขดเชยอนาล็อกชนิด Type 2 นี้มีโพล (Pole) จำนวนสองตัว คือ  $p_1$  และ  $p_2$  และมีซีโร (Zero) จำนวนหนึ่งตัว คือ  $z_1$  โดย  $p_1$  เป็นโพลที่ตำแหน่งจุดกำเนิด (Origin) ส่วนตำแหน่งทางความถี่ของซีโร  $z_1$  ( $\omega_{z1}$ ) และโพล  $p_2$  ( $\omega_{p2}$ ) สามารถคำนวณได้จากสมการที่ (3.7) และ (3.8) ตามลำดับ

$$\omega_{z1} = \frac{1}{R_{C2}C_{C1}} \quad (3.7)$$

$$\omega_{p2} = \frac{C_{C1} + C_{C2}}{R_{C2}C_{C1}C_{C2}} \approx \frac{1}{R_{C2}C_{C2}} \quad (3.8)$$

ผลการตอบสนองเชิงความถี่ชนิดเอซีสัญญาณขนาดเล็กของวงจรขดเชยอนาล็อกชนิด Type 2 แสดงดังในรูปที่ 3.7(ข) สามารถสังเกตได้ว่าที่ความถี่  $\omega_c$  ซึ่งอยู่กึ่งกลางระหว่างความถี่ของซีโร  $z_1$  ( $\omega_{z1}$ ) และโพล  $p_2$  ( $\omega_{p2}$ ) มีค่ามุมเฟส  $\theta_c$  สูงสุด สมการของฟังก์ชันถ่ายโอนเชิงความถี่ที่ความถี่  $\omega_c$  แสดงดังสมการที่ (3.9)

เอกสารนี้เป็นเอกสารที่สงวนไว้สำหรับการใช้งานเพื่อการศึกษาเท่านั้น ไม่อนุญาตให้นำไปใช้ประโยชน์ด้านการค้าไม่ว่ากรณีใดๆ ทั้งสิ้น อีกทั้งห้ามมิให้ดัดแปลงเนื้อหา และต้องอ้างอิงถึงเจ้าของเอกสารทุกครั้งที่มีการนำไปใช้

$$\frac{\tilde{v}_c}{\tilde{v}} = -\frac{j\omega_c + \omega_{z1}}{j\omega_c R_{C1} C_{C2} (j\omega_c + \omega_{p2})} \quad (3.9)$$

เมื่อพิจารณากรณีที่ค่าของความถี่  $\omega_{z1} \ll \omega_c \ll \omega_{p2}$  สามารถประมาณอัตราขยายที่ความถี่  $\omega_c$  ของได้ตั้งสมการที่ (3.10) และค่าขนาดของมุมเฟส  $\theta_c$  ตั้งสมการที่ (3.12) โดยในสมการนี้ค่ามุมเฟส  $-180^\circ$  และค่ามุมเฟส  $-90^\circ$  เป็นผลมาจากคุณสมบัติของระบบควบคุมป้อนกลับแบบลบ และเป็นผลมาจากโพล  $p_1$  ที่ตำแหน่งจุดกำเนิดตามลำดับ

$$\frac{\tilde{v}_c}{\tilde{v}} \approx -\frac{j\omega_c}{j\omega_c R_{C1} C_{C2} (\omega_{p2})} = -\frac{1}{R_{C1} C_{C2} \left( \frac{1}{R_{C2} C_{C2}} \right)} = -\frac{R_{C2}}{R_{C1}} \quad (3.10)$$

$$\theta_c = -180^\circ - 90^\circ + \tan^{-1} \left( \frac{\omega_c}{\omega_{z1}} \right) - \tan^{-1} \left( \frac{\omega_c}{\omega_{p2}} \right) \quad (3.11)$$

การคำนวณค่าตำแหน่งความถี่ของซีโร  $z_1$  ( $\omega_{z1}$ ) และโพล  $p_2$  ( $\omega_{p2}$ ) ในงานวิจัยใช้การคำนวณด้วยวิธี K - Factor ซึ่งกำหนดตำแหน่งความถี่ของซีโร  $z_1$  ( $\omega_{z1}$ ) และโพล  $p_2$  ( $\omega_{p2}$ ) ตามสมการที่ (3.12) และ (3.13) ตามลำดับ มุมเฟส  $\theta_c$  ที่ตำแหน่งความถี่  $\omega_c$  สามารถคำนวณได้จากสมการที่ (3.14)

$$\omega_{z1} = \frac{\omega_c}{K} \quad (3.12)$$

$$\omega_{p2} = \omega_c K \quad (3.13)$$

$$\theta_c = -270^\circ + \tan^{-1} (K) - \tan^{-1} \left( \frac{1}{K} \right) \quad (3.14)$$

สมการ (3.14) สามารถจัดรูปเป็นสมการ (3.16) ได้โดยการใช้เอกลักษณ์ตรีโกณมิติตามสมการที่ (3.15)

$$\tan^{-1} (K) + \tan^{-1} \left( \frac{1}{K} \right) = 90^\circ \quad (3.15)$$

เอกสารนี้เป็นเอกสารที่สงวนไว้สำหรับการใช้งานเพื่อการศึกษาเท่านั้น ไม่อนุญาตให้นำไปใช้ประโยชน์ด้านการค้าไม่ว่ากรณีใดๆ ทั้งสิ้น อีกทั้งห้ามมิให้ดัดแปลงเนื้อหา และต้องอ้างอิงถึงเจ้าของเอกสารทุกครั้งที่มีการนำไปใช้

$$\theta_c = 2 \tan^{-1}(K) - 360^\circ = 2 \tan^{-1}(K) \quad (3.16)$$

สมการความสัมพันธ์ระหว่างมุมเฟส  $\theta_c$  ของวงจรถดเซยอนาล็อกชนิด Type 2 ที่ตำแหน่งความถี่  $\omega_c$  กับค่า K - Factor แสดงดังสมการที่ (3.17) ซึ่งมุมเฟส  $\theta_c$  มีค่าตั้งแต่  $0^\circ$  ถึง  $180^\circ$  เมื่อค่า K - Factor มีค่าตั้งแต่ศูนย์ถึงค่าอนันต์ ( $0 < K < \infty$ )

$$K = \tan\left(\frac{\theta_c}{2}\right) \quad (3.17)$$

ในขั้นตอนการออกแบบระบบควบคุมของดีซี - ดีซีคาสเคดฟลายแบคคอนเวอร์เตอร์แบบสวิตช์ตัวเดียว ซึ่งเมื่อคำนวณค่าความถี่ครอสโอเวอร์ ( $\omega_c$ ) ของฟังก์ชันถ่ายโอนเชิงความถี่วงเปิด  $T(s)$  และกำหนดขนาดของมุมเฟสมาร์จินที่ต้องการที่ความถี่นั้นซึ่งทำให้คอนเวอร์เตอร์ทำงานมีเสถียรภาพ ขั้นตอนต่อมาคือการคำนวณค่ามุมเฟส  $\theta_c$  ของวงจรถดเซยอนาล็อกเพื่อให้ค่ามุมเฟสของฟังก์ชันถ่ายโอนเชิงความถี่วงเปิด  $T(s)$  เป็นไปตามที่ต้องการ ค่ามุมเฟสชดเซยนี้คำนวณได้จากมุมเฟสมาร์จินที่ต้องการของฟังก์ชันถ่ายโอนเชิงความถี่วงเปิด  $T(s)$  และค่ามุมเฟสของฟังก์ชันถ่ายโอนเชิงความถี่ของ  $G_v(s)$  ซึ่งผลการคำนวณที่ได้ทำให้สามารถคำนวณค่าของ K - Factor ได้จากสมการที่ (3.17) และสามารถคำนวณค่าตำแหน่งความถี่ของซีโร  $z_1$  ( $\omega_{z1}$ ) ค่าตำแหน่งความถี่ของโพล  $p_2$  ( $\omega_{p2}$ ) ค่าขนาดของตัวเก็บประจุไฟฟ้า  $C_{c1}$  และ  $C_{c2}$  ของวงจรถดเซยอนาล็อกชนิด Type 2 ได้ตามสมการที่ (3.18) (3.19) (3.20) และ (3.21) ตามลำดับ

$$\omega_{z1} = \frac{\omega_c}{K} = \frac{1}{R_{c2}C_{c1}} \quad (3.18)$$

$$\omega_{p2} = K\omega_c = \frac{1}{R_{c2}C_{c2}} \quad (3.19)$$

$$C_{c1} = \frac{K}{\omega_c R_{c2}} = \frac{1}{2\pi f_c R_{c2}} \quad (3.20)$$

$$C_{c2} = \frac{1}{K\omega_c R_{c2}} = \frac{1}{K2\pi f_c R_{c2}} \quad (3.21)$$

เอกสารนี้เป็นเอกสารที่สงวนไว้สำหรับการใช้งานเพื่อการศึกษาเท่านั้น ไม่อนุญาตให้นำไปใช้ประโยชน์ด้านการค้าไม่ว่ากรณีใดๆ ทั้งสิ้น อีกทั้งห้ามมิให้ดัดแปลงเนื้อหา และต้องอ้างอิงถึงเจ้าของเอกสารทุกครั้งที่มีการนำไปใช้

### 3.4 บทสรุป

บทนี้แนะนำเสนอการวิเคราะห์ระบบควบคุมของดีซี – ดีซีคาสเคดฟลายแบคคอนเวอร์เตอร์แบบสวิทช์ตัวเดียว โดยนำเสนอระบบควบคุมป้อนกลับเชิงเส้นชนิดอนาล็อกซึ่งใช้การวิเคราะห์ด้วยเทคนิคการวิเคราะห์เชิงความถี่ชนิดสัญญาณรบกวนเอซีขนาดเล็ก และได้แนะนำเสนอวิธีการออกแบบวงจรชดเชยอนาล็อกชนิด Type 2 ด้วยเทคนิคแผนภาพโบด (Bode Plot) ซึ่งระบบควบคุมที่ได้สามารถควบคุมให้คอนเวอร์เตอร์ทำงานได้ที่พิกัดคุณสมบัติทางไฟฟ้าตามต้องการ ในบทต่อไปเป็นการนำผลการศึกษาร่วมจ่ายกำลังไฟฟ้าในบทที่ 2 และผลการศึกษาของส่วนระบบควบคุมในบทนี้มาออกแบบและสร้างดีซี – ดีซีคาสเคดฟลายแบคคอนเวอร์เตอร์แบบสวิทช์ตัวเดียวต้นแบบ



เอกสารนี้เป็นเอกสารที่สงวนไว้สำหรับการใช้งานเพื่อการศึกษาเท่านั้น ไม่อนุญาตให้นำไปใช้ประโยชน์ด้านการค้า ไม่ว่าจะกรณีใดๆ ทั้งสิ้น อีกทั้งห้ามมิให้ดัดแปลงเนื้อหา และต้องอ้างอิงถึงเจ้าของเอกสารทุกครั้งที่มีการนำไปใช้

## บทที่ 4

# การออกแบบและสร้างดีซี – ดีซีเคสเคดฟลายแบคคอนเวอร์เตอร์ แบบสวิตช์ตัวเดียว

### 4.1 บทนำ

บทนี้แนะนำการออกแบบและสร้างดีซี – ดีซีเคสเคดฟลายแบคคอนเวอร์เตอร์แบบสวิตช์ตัวเดียวต้นแบบ ตามผลการวิเคราะห์ในบทที่ 2 และ 3 โดยแบ่งการนำเสนอเป็นสองส่วนคือ ส่วนแรกเป็นการนำเสนอการออกแบบ การคำนวณ และการจำลองผลการทำงานของส่วนจ่ายแรงดันไฟฟ้าตรงของคอนเวอร์เตอร์ด้วยโปรแกรม PSpice™ ส่วนที่สองเป็นการนำเสนอขั้นตอนการออกแบบ และการคำนวณวงจรชดเชยชนิดอนาล็อก Type 2 ของระบบควบคุมด้วยโปรแกรม MATLAB®

### 4.2 การออกแบบและการจำลองผลการทำงานของส่วนจ่ายแรงดันไฟฟ้าตรง

บทย่อนี้แสดงขั้นตอนการสร้างส่วนจ่ายแรงดันไฟฟ้าตรงเพื่อให้ได้ตามพิกัดทางไฟฟ้า โดยประกอบด้วยสองขั้นตอน คือ การออกแบบและคำนวณค่าอุปกรณ์ของส่วนจ่ายแรงดันไฟฟ้าตรง ส่วนที่สองเป็นการจำลองการทำงานของผลการออกแบบที่ได้ด้วยโปรแกรม PSpice™ มีรายละเอียดดังต่อไปนี้

#### 4.2.1 การออกแบบส่วนส่วนจ่ายแรงดันไฟฟ้าตรง

ข้อกำหนดพิกัดทางไฟฟ้า (Electrical Specification) ของดีซี – ดีซีเคสเคดฟลายแบคคอนเวอร์เตอร์แบบสวิตช์ตัวเดียว คือ

- แรงดันไฟฟ้าตรงที่ทางเข้า  $V_g = 20-120V$
- แรงดันไฟฟ้าตรงที่ทางออก  $V = 18V$
- กำลังไฟฟ้าที่ทางออก  $P_{out} = 3W$
- ความถี่สวิตช์  $f_s = 100kHz$
- ประสิทธิภาพไม่น้อยกว่า 60%  $\eta > 60\%$
- ค่าแรงดันไฟฟ้ากระแสที่ทางออกสูงสุด  $\Delta v = 0.02V$

ขั้นตอนการออกแบบมีดังต่อไปนี้

1. คำนวณค่าตัวชี้ไขเคลสูงสุดจากสมการที่ (2.33) โดยค่าของ  $V_{g,min} = 20V$  และ  $V = 18V$

$$D_{1,max} = \frac{1}{1 + \sqrt{\frac{V_{g,min}}{V}}} = \frac{1}{1 + \sqrt{\frac{20}{18}}} = 0.486 \quad (4.1)$$

เอกสารนี้เป็นเอกสารที่สงวนไว้สำหรับงานวิจัยเพื่อการศึกษาค้นคว้าเท่านั้น ไม่อนุญาตให้นำไปใช้ประโยชน์ด้านการค้า ไม่ว่าจะกรณีใดๆ ทั้งสิ้น อีกทั้งห้ามมิให้ดัดแปลงเนื้อหา และต้องอ้างอิงถึงเจ้าของเอกสารทุกครั้งที่มีการนำไปใช้

2. คำนวณค่าคาบเวลาการสวิตช์  $T_s$  จากสมการที่ (2.34) โดยความถี่สวิตช์  $f_s = 100\text{kHz}$

$$T_s = \frac{1}{f_s} = \frac{1}{100 \times 10^3} = 10\mu\text{s} \quad (4.2)$$

3. คำนวณค่าคาบเวลาการสวิตช์สูงสุด ( $T_{on,max}$ ) จากสมการที่ (2.35)

$$T_{on,max} = D_{1,max} T_s = 0.486 \times 10 \times 10^{-6} = 4.86\mu\text{s} \quad (4.3)$$

4. คำนวณค่าคาบเวลาการสวิตช์ต่ำสุด ( $T_{off,min}$ ) จากสมการที่ (2.36)

$$T_{off,min} = T_s - T_{on,max} = 10\mu\text{s} - 4.86\mu\text{s} = 5.14\mu\text{s} \quad (4.4)$$

5. คำนวณค่ากำลังไฟฟ้าเฉลี่ยสูงสุดที่ทางเข้าจากสมการที่ (2.37)

$$P_{in,max} = \frac{P_{out}}{\eta} = \frac{3}{0.6} = 5\text{W} \quad (4.5)$$

6. คำนวณค่ากระแสไฟฟ้าเฉลี่ยสูงสุดที่ทางเข้าจากสมการที่ (2.38)

$$I_{g,max} = \frac{P_{in,max}}{V_{g,min}} = \frac{5}{20} = 0.25\text{A} \quad (4.6)$$

7. คำนวณค่ากระแสไฟฟ้าสูงสุดของตัวเหนี่ยวนำ  $L_1$  จากสมการที่ (2.39)

$$I_{L1P} = 2 \frac{I_{g,max}}{D_{1,max}} = 2 \times \frac{0.25}{0.486} = 1.028\text{A} \quad (4.7)$$

8. คำนวณค่าของตัวเหนี่ยวนำ  $L_1$  จากสมการที่ (2.40)

$$L_1 = \frac{V_{g,min} T_{on,max}}{I_{L1P}} = \frac{20 \times 4.86 \times 10^{-6}}{1.028} = 94.552\mu\text{H} \quad (4.8)$$

เอกสารนี้เป็นเอกสารที่สงวนไว้สำหรับการใช้งานเพื่อการศึกษาเท่านั้น ไม่อนุญาตให้นำไปใช้ประโยชน์ด้านการค้า ไม่ว่าจะกรณีใดๆ ทั้งสิ้น อีกทั้งห้ามมิให้ดัดแปลงเนื้อหา และต้องอ้างอิงถึงเจ้าของเอกสารทุกครั้งที่มีการนำไปใช้

9. คำนวณค่าแรงดันไฟฟ้าของตัวเก็บประจุไฟฟ้า  $C_1$  จากสมการที่ (2.41) ซึ่งค่าแรงดันไฟฟ้าของตัวเก็บประจุไฟฟ้า  $C_1$  เป็นค่าแรงดันไฟฟ้าที่ทางเข้าของวงจรสอง

$$V_{C1} = V_{g,min} \frac{T_{on,max}}{T_{off,min}} = 20 \times \frac{4.86 \times 10^{-6}}{5.14 \times 10^{-6}} = 18.91V \quad (4.9)$$

10. คำนวณค่าตัวเก็บประจุไฟฟ้า  $C_1$  จากสมการที่ (2.42) โดยการประมาณค่าของแรงดันไฟฟ้ากระแสเพื่อม  $\Delta v_{C1} = 10\%V_{C1}$

$$C_1 = \frac{\Delta i_{L1} T_s}{8 \Delta v_{C1}} = \frac{i_{L1,max} T_s}{8 \times 10\% V_{C1}} = \frac{1.028 \times 10 \times 10^{-6}}{8 \times 0.1 \times 18.91} = 679.5nF \quad (4.10)$$

11. คำนวณค่ากระแสไฟฟ้าสูงสุดของตัวเหนี่ยวนำ  $L_2$  จากสมการที่ (2.43)

$$I_{L2P} = \frac{2}{1-D_{1,max}} \frac{P_{out}}{V} = \frac{2}{1-0.486} \times \frac{3}{18} = 0.6485A \quad (4.11)$$

12. คำนวณค่าตัวเหนี่ยวนำ  $L_2$  จากสมการที่ (2.44)

$$L_2 = V_{C1} \frac{T_{on,max}}{I_{L2P}} = \frac{18.91 \times 4.86 \times 10^{-6}}{1.297} = 141.72\mu H \quad (4.12)$$

13. คำนวณค่าแรงดันไฟฟ้าเฉลี่ยที่  $C_2$  จากสมการที่ (2.45)

$$V_{C2} = V_{C1} \frac{D_{1,max}}{1-D_{1,max}} = 18.91 \times \frac{0.486}{1-0.486} = 17.879V \quad (4.13)$$

14. คำนวณค่าตัวเก็บประจุไฟฟ้า  $C_2$  จากสมการที่ (2.46) โดยการประมาณค่าของแรงดันไฟฟ้ากระแสเพื่อม  $\Delta v = 2\%V$

$$C_2 = \frac{\Delta i_{L2} T_s}{8 \Delta v} = \frac{i_{L2,max} T_s}{8 \times 2\% V} = \frac{1.297 \times 10 \times 10^{-6}}{8 \times 0.02 \times 17.879} = 4.5339\mu F \quad (4.14)$$

เอกสารนี้เป็นเอกสารที่สงวนไว้สำหรับการใช้งานเพื่อการศึกษาเท่านั้น ไม่อนุญาตให้นำไปใช้ประโยชน์ด้านการค้าไม่ว่ากรณีใดๆ ทั้งสิ้น อีกทั้งห้ามมิให้ดัดแปลงเนื้อหา และต้องอ้างอิงถึงเจ้าของเอกสารทุกครั้งที่มีการนำไปใช้

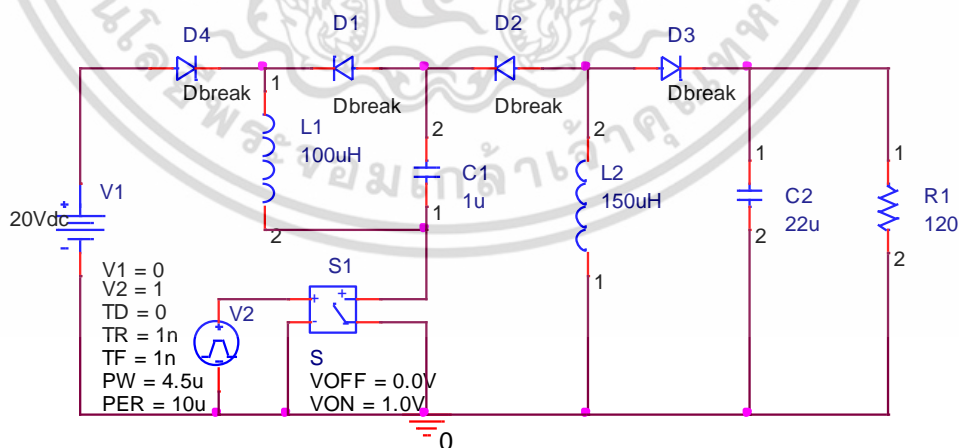
เนื่องจากงานวิจัยนี้ถูกกำหนดให้เลือกใช้อุปกรณ์ที่มีผลิตขายทั่วไปและจัดหาได้ง่าย ผู้วิจัยจึงเลือกใช้อุปกรณ์ที่มีค่าใกล้เคียงกับการคำนวณคือ ตัวเหนี่ยวนำ  $L_1=100\mu\text{H}$ ,  $L_2=150\mu\text{H}$  และค่าตัวเก็บประจุไฟฟ้า  $C_1=1\mu\text{F}$ ,  $C_2=22\mu\text{F}$

#### 4.2.2 การจำลองการทำงานของส่วนจ่ายกำลัง

ดีซี - ดีซีคาสเคดฟลายแบคคอนเวอร์เตอร์แบบสวิตช์ตัวเดียวต้นแบบที่ถูกออกแบบแล้วถูกนำมาวิเคราะห์และตรวจสอบความถูกต้องในการทำงานด้วยการจำลองการทำงานด้วยโปรแกรม PSpice™ เพื่อยืนยันความถูกต้อง ในการจำลองนี้ได้จำลองการทำงานที่พิกัดโหลด ซึ่งค่าโหลดความต้านทาน  $R$  คำนวณจากพิกัดคุณสมบัติทางไฟฟ้าที่กำลังไฟฟ้าสูงสุดและจากสมการที่ (4.15)

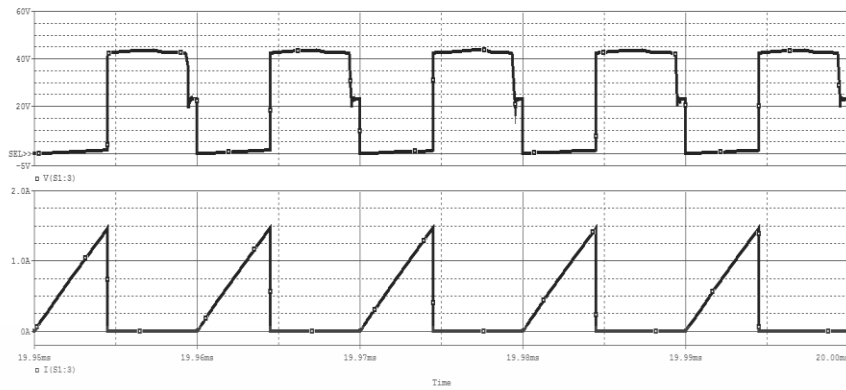
$$R = \frac{V^2}{P_{out}} = \frac{18^2}{3} = 108 \quad (4.15)$$

โดยเลือกใช้จอร์ที่ค่าโหลดความต้านทาน  $R=120\Omega$  ค่าอุปกรณ์ในวงจรที่เลือกใช้จอร์คือตัวเหนี่ยวนำ  $L_1=100\mu\text{H}$ ,  $L_2=150\mu\text{H}$  และค่าตัวเก็บประจุไฟฟ้า  $C_1=1\mu\text{F}$ ,  $C_2=22\mu\text{F}$  แรงดันไฟฟ้าที่ทางเข้า 20 V ดิวตี้ไซเคิลมีค่า 0.45 Schematic ของส่วนจ่ายแรงดันไฟฟ้าตรงแสดงดังรูปที่ 4.1 ซึ่งมีผลการจำลองของแรงดันไฟฟ้าและกระแสไฟฟ้าที่อุปกรณ์ต่างๆ ในวงจรแสดงดังรูปที่ 4.2 - 4.9

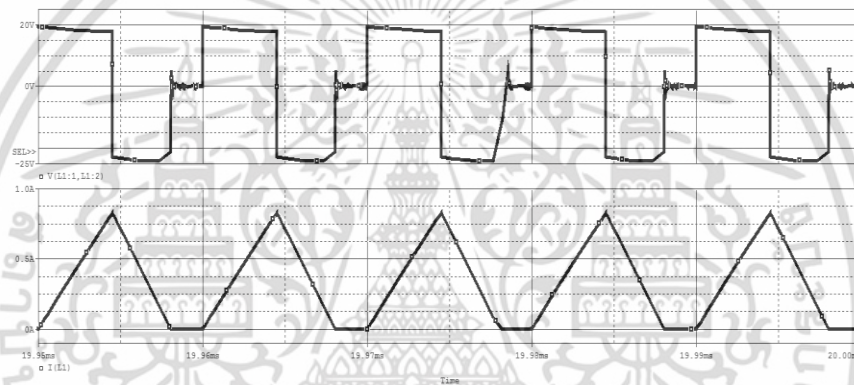


รูปที่ 4.1 Schematic ของส่วนจ่ายแรงดันไฟฟ้าตรงที่จำลองการทำงานด้วยโปรแกรม PSpice™

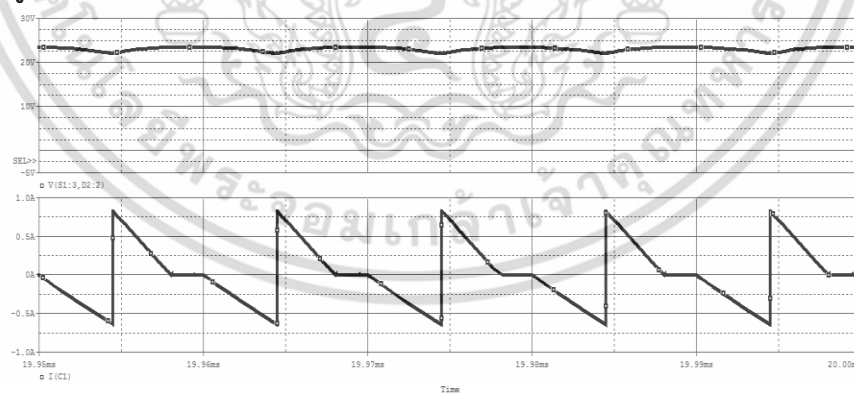
เอกสารนี้เป็นเอกสารที่สงวนไว้สำหรับการใช้งานเพื่อการศึกษาเท่านั้น ไม่อนุญาตให้นำไปใช้ประโยชน์ด้านการค้า ไม่ว่าจะกรณีใดๆ ทั้งสิ้น อีกทั้งห้ามมิให้ดัดแปลงเนื้อหา และต้องอ้างอิงถึงเจ้าของเอกสารทุกครั้งที่มีการนำไปใช้



รูปบน :  $v_s$  (5V/div) , รูปล่าง :  $i_s$  (0.125A/div) แกนเวลา 10µs/div  
รูปที่ 4.2 ผลการจำลองของแรงดันไฟฟ้าและกระแสไฟฟ้าที่สวิตช์  $SW$

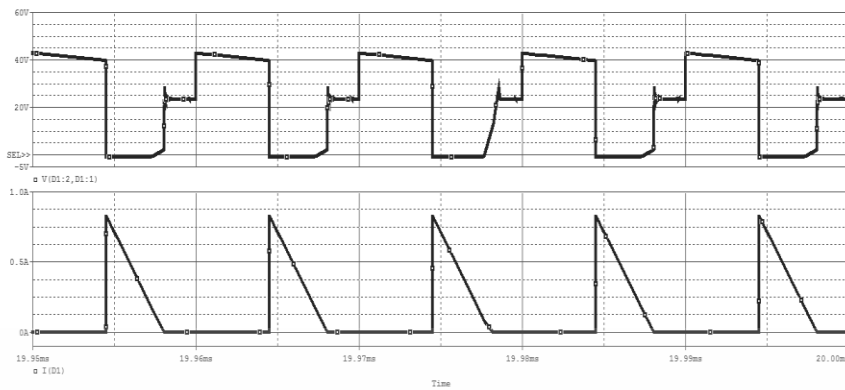


รูปบน :  $v_{L1}$  (5V/div) , รูปล่าง :  $i_{L1}$  (0.125A/div) แกนเวลา 10µs/div  
รูปที่ 4.3 ผลการจำลองของแรงดันไฟฟ้าและกระแสไฟฟ้าที่ตัวเหนี่ยวนำสวิตช์  $L_1$

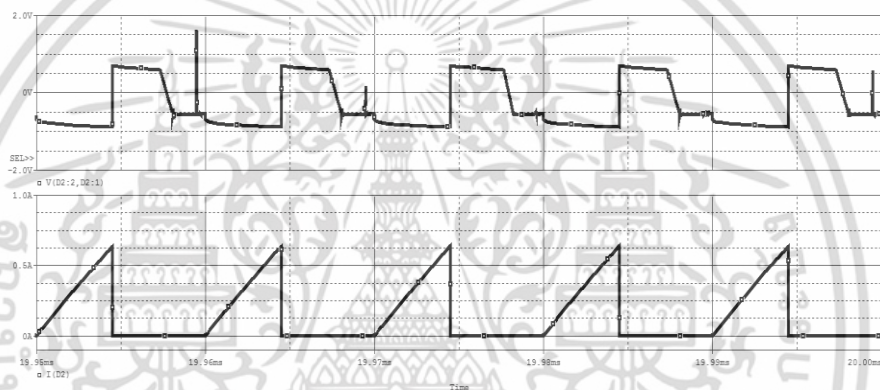


รูปบน :  $v_{C1}$  (2.5V/div) , รูปล่าง :  $i_{C1}$  (0.25A/div) แกนเวลา 10µs/div  
รูปที่ 4.4 ผลการจำลองของแรงดันไฟฟ้าและกระแสไฟฟ้าที่ตัวเก็บประจุไฟฟ้า  $C_1$

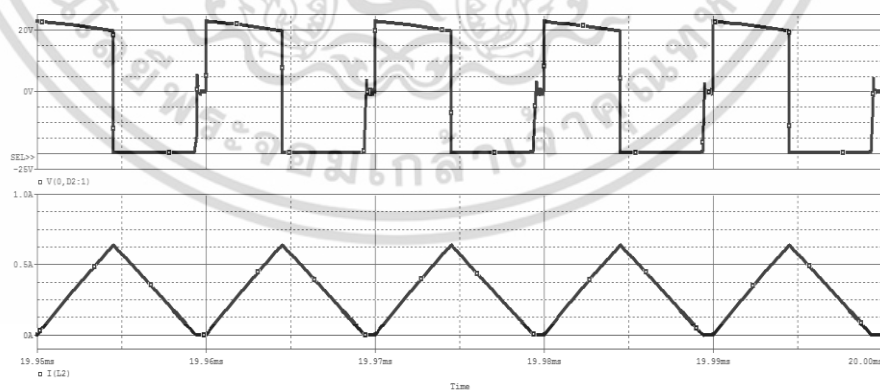
เอกสารนี้เป็นเอกสารที่สงวนไว้สำหรับการใช้งานเพื่อการศึกษาเท่านั้น ไม่อนุญาตให้นำไปใช้ประโยชน์ด้านการค้า  
ไม่ว่ากรณีใดๆ ทั้งสิ้น อีกทั้งห้ามมิให้ดัดแปลงเนื้อหา และต้องอ้างอิงถึงเจ้าของเอกสารทุกครั้งที่มีการนำไปใช้



รูปบน :  $v_1$  (5V/div) , รูปล่าง :  $i_1$  (0.125A/div) แกนเวลา 10 $\mu$ s/div  
รูปที่ 4.5 ผลการจำลองของแรงดันไฟฟ้าและกระแสไฟฟ้าที่ไดโอด  $D_1$

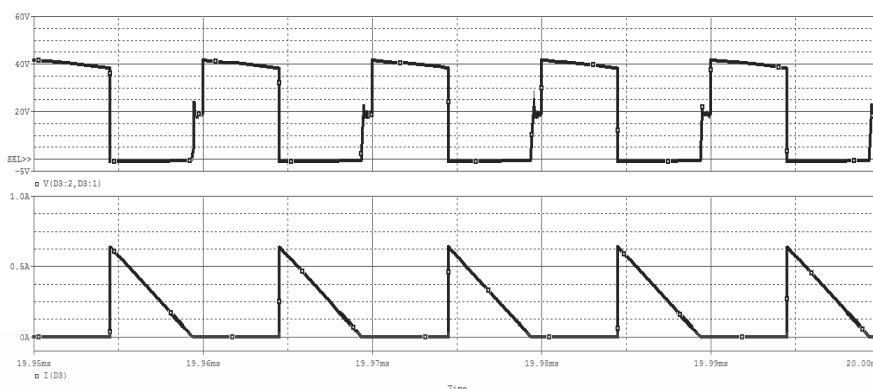


รูปบน :  $v_2$  (0.5V/div) , รูปล่าง :  $i_2$  (0.125A/div) แกนเวลา 10 $\mu$ s/div  
รูปที่ 4.6 ผลการจำลองของแรงดันไฟฟ้าและกระแสไฟฟ้าที่ไดโอด  $D_2$

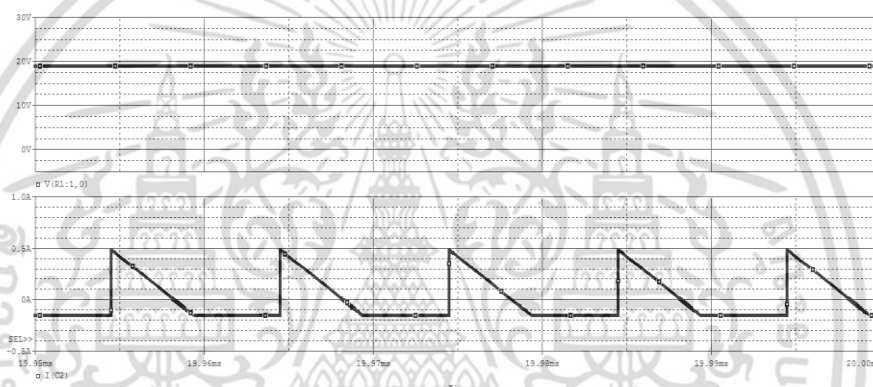


รูปบน :  $v_{L2}$  (5V/div) , รูปล่าง :  $i_{L2}$  (0.125A/div) แกนเวลา 10 $\mu$ s/div  
รูปที่ 4.7 ผลการจำลองของแรงดันไฟฟ้าและกระแสไฟฟ้าที่ตัวเหนี่ยวนำ  $L_2$

เอกสารนี้เป็นเอกสารที่สงวนไว้สำหรับการใช้งานเพื่อการศึกษาเท่านั้น ไม่อนุญาตให้นำไปใช้ประโยชน์ด้านการค้า  
ไม่ว่ากรณีใดๆ ทั้งสิ้น อีกทั้งห้ามมิให้ดัดแปลงเนื้อหา และต้องอ้างอิงถึงเจ้าของเอกสารทุกครั้งที่มีการนำไปใช้



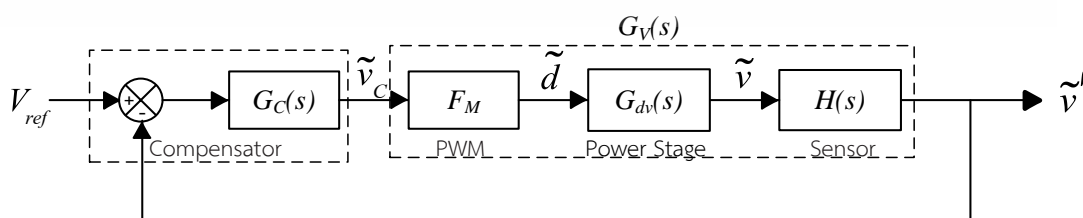
รูปบน :  $v_3$  (5V/div) , รูปล่าง :  $i_3$  (0.125A/div) แกนเวลา 10 $\mu$ s/div  
**รูปที่ 4.8** ผลการจำลองของแรงดันไฟฟ้าและกระแสไฟฟ้าที่ไดโอด  $D_3$



รูปบน :  $v_{C2}$  (2.5V/div) , รูปล่าง :  $i_{C2}$  (0.125A/div) แกนเวลา 10 $\mu$ s/div  
**รูปที่ 4.9** ผลการจำลองของแรงดันไฟฟ้าและกระแสไฟฟ้าที่ตัวเก็บประจุไฟฟ้า  $C_2$

### 4.3 การออกแบบระบบควบคุม

บล็อกไดอะแกรมเชิงความถี่ชนิดสัญญาณรบกวนชนิดเอซีขนาดเล็กของดีซี - ดีซีคาสเคดพลาซมคอนเวอร์เตอร์แบบสวิตช์ตัวเดียว แสดงดังรูปที่ 4.10 โดยฟังก์ชันถ่ายโอนชนิดสัญญาณรบกวนขนาดเล็กของวงเปิด  $T(s)$  แสดงดังสมการที่ (4.16)



**รูปที่ 4.10** บล็อกไดอะแกรมเชิงความถี่ชนิดสัญญาณรบกวนขนาดเล็กของดีซี - ดีซีคาสเคดพลาซมคอนเวอร์เตอร์แบบสวิตช์ตัวเดียว

เอกสารนี้เป็นเอกสารที่สงวนไว้สำหรับการใช้งานเพื่อการศึกษาเท่านั้น ไม่อนุญาตให้นำไปใช้ประโยชน์ด้านการค้าไม่ว่ากรณีใดๆ ทั้งสิ้น อีกทั้งห้ามมิให้ดัดแปลงเนื้อหา และต้องอ้างอิงถึงเจ้าของเอกสารทุกครั้งที่มีการนำไปใช้

$$T(s) = G_C(s)F_M G_{dv}(s)H(s) = G_C(s)G_V(s) \quad (4.16)$$

เมื่อนำค่าของ  $j_3$  และ  $\omega_p$  จากสมการที่ (2.112) และ (2.119) แทนค่าลงในสมการฟังก์ชันถ่ายโอนเชิงความถี่ชนิดสัญญาณรบกวนเอซีขนาดเล็กของส่วนจ่ายแรงดันไฟฟ้าตรง  $G_{dv}(s)$  ตามสมการที่ (2.118) ได้สมการที่ (4.16)

$$\frac{\tilde{v}}{\tilde{d}_1} = \left( \frac{V_g^2 D_1 T_s}{V_o L_1} \right) \left( \frac{R r_3}{R + r_3 + s C_2 R r_3} \right) \quad (4.17)$$

โดยค่า  $r_3$  คำนวณจากสมการที่จากสมการที่ (2.111) และข้อมูลของส่วนจ่ายแรงดันไฟฟ้าตรงที่ได้ ออกแบบแล้วในตอนต้น ซึ่งคำนวณได้  $r_3 = 69 \Omega$  ค่าโหลดความต้านทาน  $R$  คำนวณจากพิกัดคุณสมบัติทางไฟฟ้าที่กำลังไฟฟ้าสูงสุดและจากสมการที่ (4.15) ซึ่งเลือกใช้ค่าโหลดความต้านทาน  $R = 120 \Omega$  ในการออกแบบ ส่วนแรงดันไฟฟ้าที่ทางเข้า  $V_g$  ถูกกำหนดเป็นค่าที่ต่ำสุดจากพิกัดคุณสมบัติทางไฟฟ้า ได้ฟังก์ชันถ่ายโอนเชิงความถี่ชนิดสัญญาณรบกวนเอซีขนาดเล็กของส่วนจ่ายแรงดันไฟฟ้าตรง ( $G_{dv}(s)$ ) ตามสมการที่ (4.18)

$$\frac{\tilde{v}}{\tilde{d}_1} = \left( \frac{45.2736}{1 + 922.24 \times 10^{-6} s} \right) \quad (4.18)$$

ฟังก์ชันถ่ายโอนเชิงความถี่ชนิดสัญญาณรบกวนเอซีขนาดเล็กของวงจร PWM ( $F_M$ ) คำนวณได้จากสมการที่ (4.19) เมื่อ  $V_M$  เป็นความสูงสุดของแรงดันไฟฟ้าชนิดฟันเลื่อยซึ่งมีค่าเท่ากับ 1.96V

$$\frac{\tilde{d}_1}{\tilde{v}_c} = \frac{1}{V_M} = \frac{1}{1.96} \quad (4.19)$$

ฟังก์ชันถ่ายโอนความถี่ชนิดสัญญาณรบกวนเอซีขนาดเล็กของวงจรเซนเซอร์ ( $H(s)$ ) คำนวณได้จากสมการที่ (4.20)

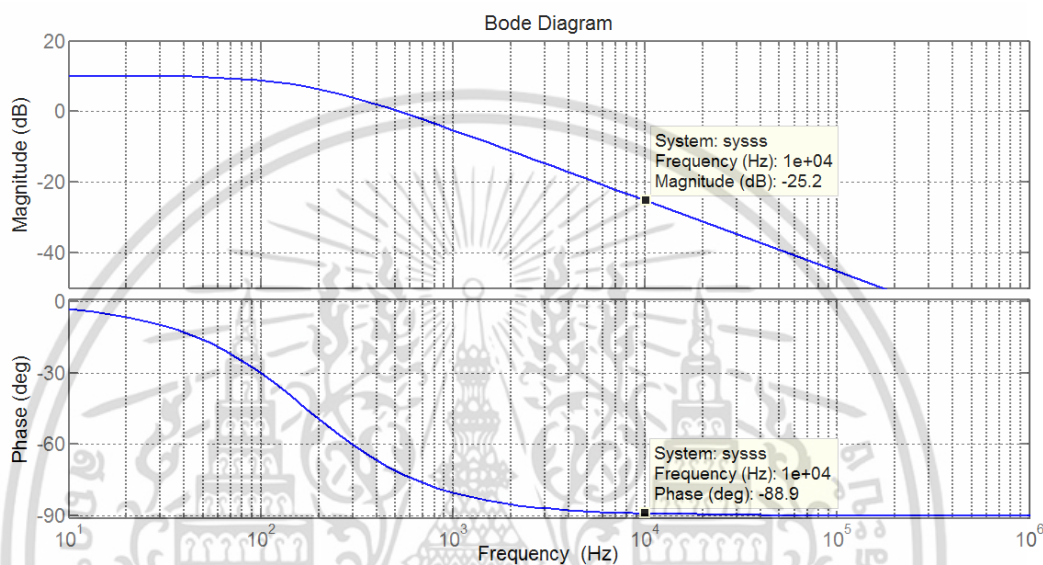
$$\frac{\tilde{v}'}{\tilde{v}} = \frac{2.5}{18} \quad (4.20)$$

ฟังก์ชันถ่ายโอนเชิงความถี่ชนิดสัญญาณรบกวนเอซีขนาดเล็กของวงเปิด ( $G_V(s)$ ) คำนวณได้ดังสมการที่ (4.21)

เอกสารนี้เป็นเอกสารที่สงวนไว้สำหรับการใช้งานเพื่อการศึกษาเท่านั้น ไม่อนุญาตให้นำไปใช้ประโยชน์ด้านการค้าไม่ว่ากรณีใดๆ ทั้งสิ้น อีกทั้งห้ามมิให้ดัดแปลงเนื้อหา และต้องอ้างอิงถึงเจ้าของเอกสารทุกครั้งที่มีการนำไปใช้

$$G_V(s) = F_M G_{dv}(s) H(s) = \frac{3.2082}{1 + 922.24 \times 10^{-6} s} \quad (4.21)$$

เมื่อนำสมการที่ (4.21) มาแสดงผลการตอบสนองเชิงความถี่ด้วยโปรแกรม MATLAB<sup>®</sup> แสดงได้ดังรูปที่ 4.11



รูปที่ 4.11 ผลตอบสนองเชิงความถี่ของฟังก์ชันถ่ายโอนเชิง  $G_V(s)$

การออกแบบวงจรถดเซยอนาล็อกชนิด Type 2 คำนวณจากผลตอบสนองเชิงความถี่ของฟังก์ชันถ่ายโอน  $G_V(s)$  ตามรูปที่ 4.11 และเงื่อนไขการออกแบบที่ได้กล่าวไปแล้วในบทที่ 3 ซึ่งมีขั้นตอนการออกแบบมีดังต่อไปนี้คือ

1. กำหนดค่าความถี่ครอสโอเวอร์  $f_{co} = 0.1f_s$  คือ 10kHz
2. คำนวณอัตราขยายของวงจรถดเซยอนาล็อกชนิด Type 2 ที่ความถี่ครอสโอเวอร์ 10kHz โดยคำนวณได้จากการวัดอัตราขยาย (dB) จากผลตอบสนองเชิงความถี่ของฟังก์ชันถ่ายโอน  $G_V(s)$  ที่ความถี่ครอสโอเวอร์ 10kHz ดังแสดงในรูปที่ 4.11 ซึ่งผลการวัดอัตราขยาย (dB) ได้ค่าเท่ากับ -25.2dB และวัดมุมเฟสที่ความถี่นี้ได้เท่ากับ  $-88.9^\circ$  ดังนั้นอัตราขยาย (dB) ของวงจรถดเซยอนาล็อกชนิด Type 2 ที่ความถี่ครอสโอเวอร์ 10kHz ต้องมีค่าเท่ากับ 25.2dB เพื่อให้อัตราขยายของฟังก์ชันถ่ายโอนวงเปิด  $T(s)$  หรือ  $G_C(s)G_V(s)$  มีค่าเป็นศูนย์ ดังนั้นการคำนวณค่าอัตราขยายของวงจรถดเซยอนาล็อกชนิด Type 2 ที่ความถี่ครอสโอเวอร์ 10kHz คือ

$$25.2dB = 20\log\left(\frac{\tilde{v}}{\tilde{v}_c}\right) \quad (4.22)$$

$$\frac{\tilde{v}}{\tilde{v}_c} = 10^{25.2/20} = 18.19 \quad (4.23)$$

3. คำนวณค่าความต้านทาน  $R_{C1}$  และ  $R_{C2}$  โดยคำนวณจากค่าคำนวณอัตราขยายของวงจรชดเชยนาฬิกาชนิด Type 2 ที่ความถี่ครอสโอเวอร์ 10kHz ซึ่งคำนวณได้จากข้อที่แล้วและจากสมการที่ (3.10) ถ้ากำหนดให้ค่าของ  $R_{C1} = 10k\Omega$  คำนวณค่าของ  $R_{C2}$  ได้ดังนี้คือ

$$\frac{R_{C2}}{R_{C1}} = 18.19 \quad (4.24)$$

$$R_{C2} = 181.9 \times 10^3 \Omega \quad (4.25)$$

4. คำนวณค่ามุมเฟสของวงจรชดเชยนาฬิกาชนิด Type 2 ( $\theta_c$ ) ที่ความถี่ครอสโอเวอร์ 10kHz ด้วยสมการที่ (4.26) โดยใช้ข้อมูลจากจากมุมเฟสของ  $G_v(s)$  ( $-88.9^\circ$ ) ที่วัดได้จากรูปที่ 4.11 และต้องทำให้ฟังก์ชันถ่ายโอนวงเปิด  $T(s)$  มีค่าของเฟสมาร์จินไม่น้อยกว่า  $45^\circ$

$$\theta_c = \theta_{\text{phasemargin}} - \theta_{\text{converter}} = 45^\circ - (-88.9^\circ) = 133.9^\circ \quad (4.26)$$

5. คำนวณค่าของ K - Factor ได้จากสมการที่ (3.17)

$$K = \tan\left(\frac{133.9}{2}\right) = 2.35 \quad (4.27)$$

6. คำนวณค่าของตัวเก็บประจุไฟฟ้า  $C_{C1}$  และ  $C_{C2}$  ได้จากสมการที่ (3.20) และ (3.21) ตามลำดับ

$$C_{C1} = \frac{2.35}{2\pi(10 \times 10^3)(181.9 \times 10^3)} = 205.61 \times 10^{-12} \quad (4.28)$$

$$C_{C2} = \frac{1}{(2.35)2\pi(10 \times 10^3)(181.9 \times 10^3)} = 37.2 \times 10^{-12} \quad (4.29)$$

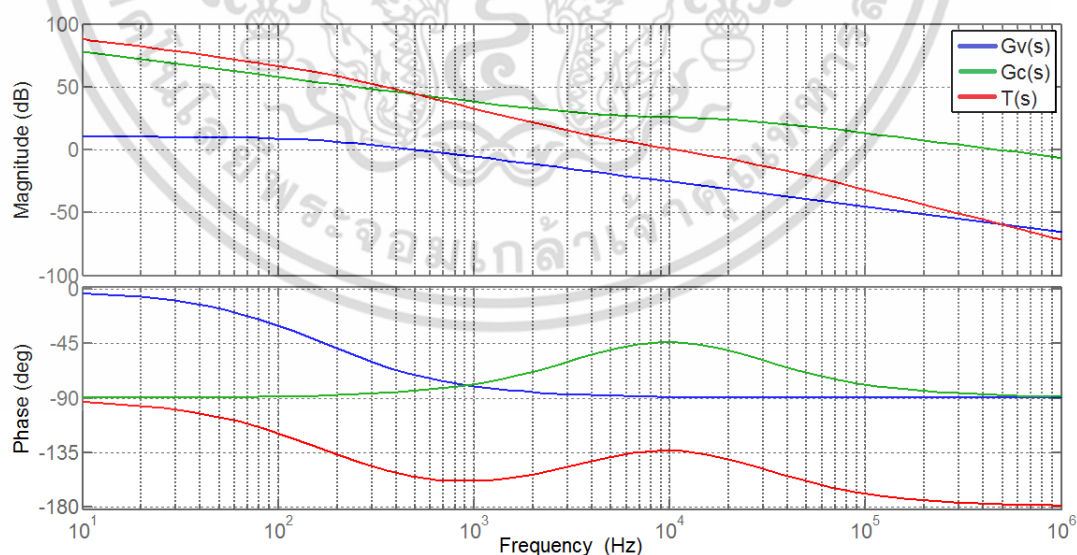
เอกสารนี้เป็นเอกสารที่สงวนไว้สำหรับใช้เพื่อการวิจัยเท่านั้น ไม่อนุญาตให้นำไปใช้ประโยชน์ด้านการค้าไม่ว่ากรณีใดๆ ทั้งสิ้น อีกทั้งห้ามมิให้ดัดแปลงเนื้อหา และต้องอ้างอิงถึงเจ้าของเอกสารทุกครั้งที่มีการนำไปใช้

ผลการออกแบบวงจรชดเชยอนุภาคชนิด Type 2 ด้วยเทคนิค K – Factor ผู้วิจัยได้เลือกค่าอุปกรณ์ที่ใช้จริงคือ  $R_{C1}=10\text{k}\Omega$ ,  $R_{C2}=200\text{k}\Omega$ ,  $C_{C1}=200\mu\text{F}$  และ  $C_{C2}=33\mu\text{F}$  ทำให้ได้ฟังก์ชันถ่ายโอนเชิงความถี่ของ  $G_C(s)$  แสดงดังสมการที่ (4.30) และได้ฟังก์ชันถ่ายโอนเชิงความถี่ชนิดสัญญาณรบกวนเอซีขนาดเล็กลงเปิด  $T(s)$  ของดีซี – ดีซีคาสเคด ฟลายแบคคอนเวอร์เตอร์แบบสวิตช์ตัวเดียวต้นแบบตามสมการที่ (4.31)

$$G_C(s) = \frac{s + 25000}{330 \times 10^{-9} s(s + 151515.1515)} \quad (4.30)$$

$$T(s) = G_V(s)G_C(s) = \frac{10.542 \times 10^9 s + 263.55 \times 10^{12}}{s^3 + 152.61 \times 10^3 s^2 + 164.31 \times 10^6} \quad (4.31)$$

ผลตอบสนองเชิงความถี่ของฟังก์ชันถ่ายโอนเชิงความถี่ชนิดสัญญาณรบกวนเอซีขนาดเล็กลงของ  $G_V(s)$ ,  $G_C(s)$  และ  $T(s)$  แสดงดังรูปที่ 4.12 ซึ่งสังเกตได้ว่าวงจรชดเชยอนุภาคชนิด Type 2 ที่ได้ออกแบบทำให้ฟังก์ชันถ่ายโอนเชิงความถี่วงเปิด  $T(s)$  ตามสมการที่ (4.31) โดยมีความถี่ครอสโอเวอร์ที่ 10.8kHz มีค่าดีซีเกนสูง และมีเฟสมาร์จินที่  $46.6^\circ$  ซึ่งสามารถทำให้ดีซี – ดีซีคาสเคดฟลายแบคคอนเวอร์เตอร์แบบสวิตช์ตัวเดียวต้นแบบทำงานได้มีเสถียรภาพ และสามารถรักษาแรงดันไฟฟ้าตรงที่ทางออกได้ตามที่ต้องการ



รูปที่ 4.12 ผลตอบสนองเชิงความถี่ของฟังก์ชันถ่ายโอน  $G_V(s)$ ,  $G_C(s)$  และ  $T(s)$

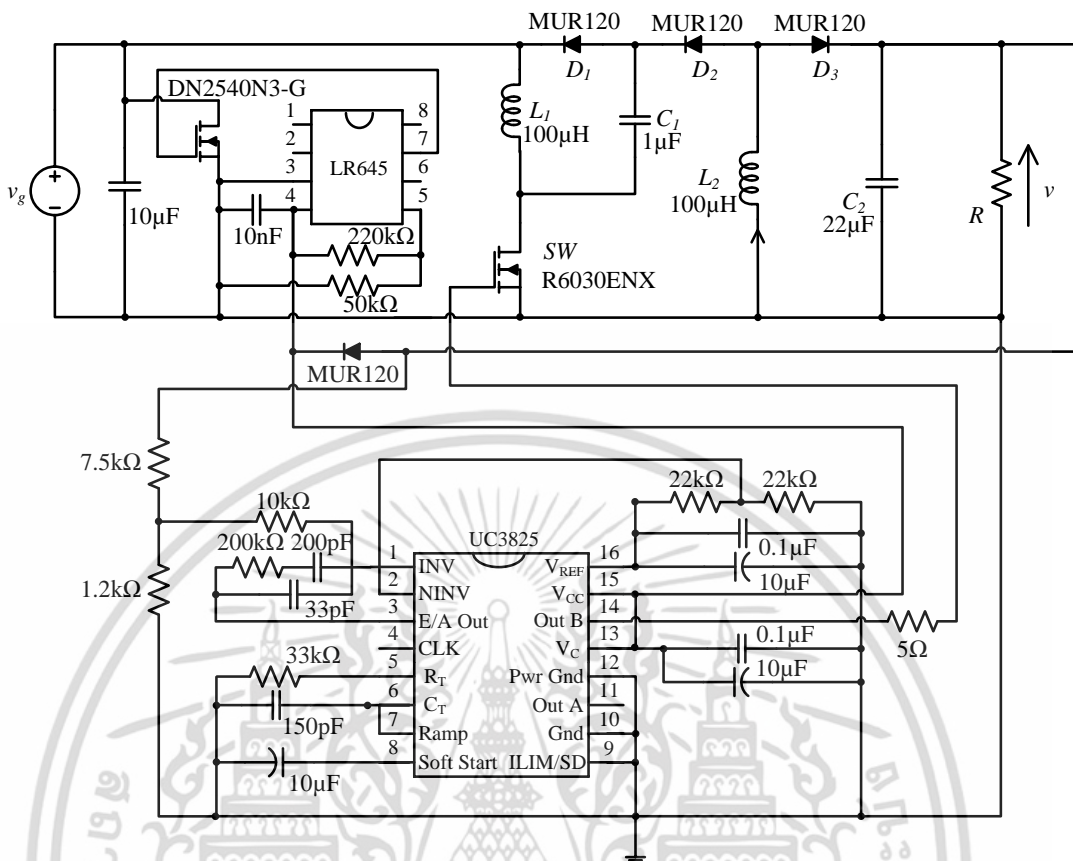
เอกสารนี้เป็นเอกสารที่สงวนไว้สำหรับการใช้งานเพื่อการศึกษาเท่านั้น ไม่อนุญาตให้นำไปใช้ประโยชน์ด้านการค้าไม่ว่ากรณีใดๆ ทั้งสิ้น อีกทั้งห้ามมิให้ดัดแปลงเนื้อหา และต้องอ้างอิงถึงเจ้าของเอกสารทุกครั้งที่มีการนำไปใช้

ตารางที่ 4.1 แสดงรายการอุปกรณ์ที่ใช้ในวงจรของดีซี - ดีซีเคสเคดฟลายแบคคอนเวอร์เตอร์แบบสวิตช์เดี่ยวต้นแบบแสดงดังในรูปที่ 4.13 โดยวัดค่าแรงดันไฟฟ้าตรงที่ทางออกป้อนกลับผ่านชุดความต้านทานแบ่งแรงดัน (Resistive voltage divider) ไปยังไอซีควบคุม UC3825 ซึ่งต่อวงจรให้ทำงานควบคุมในโหมดแรงดัน (Voltage Mode Control) ภายในไอซีมีตัวขยายความผิดพลาด (Error Amplifier) ที่ใช้สร้างวงจรถดเชยอนาล็อกชนิด Type 2 โดยนำค่าตัวต้านทานและตัวเก็บประจุที่คำนวณได้มาต่ออยู่ระหว่างขา 1 และ 3 ของไอซี และมีสัญญาณเอาท์พุท PWM ที่ขา 11 และ 14 ซึ่งกำหนดค่าดิวิตซ์ไซ้เคลที่ถูกรุ่นไปขับเกทของสวิตช์มอสเฟต ส่วนรูปที่ 4.14 แสดงดีซี - ดีซีเคสเคดฟลายแบคคอนเวอร์เตอร์แบบสวิตช์เดี่ยวต้นแบบที่สร้างขึ้น และรูปที่ 4.15 แสดงตำแหน่งของดีซี - ดีซีเคสเคดฟลายแบคคอนเวอร์เตอร์แบบสวิตช์เดี่ยว ที่จะอยู่บนแผ่นวงจรของดีซี - ดีซีคอนเวอร์เตอร์กำลังหลัก

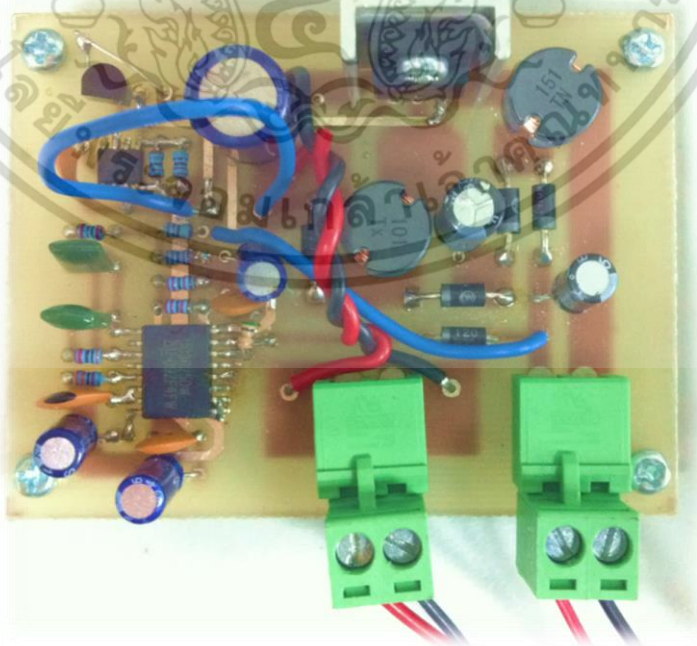
ตารางที่ 4.1 รายการอุปกรณ์ในดีซี - ดีซีเคสเคดฟลายแบคคอนเวอร์เตอร์แบบสวิตช์ตัวเดี่ยวต้นแบบ

พารามิเตอร์	ค่า
$L_1$	100 $\mu$ H
$L_2$	150 $\mu$ H
$C_1$	1 $\mu$ F
$C_2$	22 $\mu$ F
$D_1, D_2, D_3$	MUR120RLG
MOSFET	R6030ENX
PWM Controller IC	UC3825DW
$R_{C1}$	10k $\Omega$
$R_{C2}$	200k $\Omega$
$C_{C1}$	200 $\mu$ F
$C_{C2}$	33 $\mu$ F
Linear Voltage Regulator	LR645LG-G
Depletion Mode MOSFET	DN2540N3-G

เอกสารนี้เป็นเอกสารที่สงวนไว้สำหรับการใช้งานเพื่อการศึกษาเท่านั้น ไม่อนุญาตให้นำไปใช้ประโยชน์ด้านการค้าไม่ว่ากรณีใดๆ ทั้งสิ้น อีกทั้งห้ามมิให้ดัดแปลงเนื้อหา และต้องอ้างอิงถึงเจ้าของเอกสารทุกครั้งที่มีการนำไปใช้

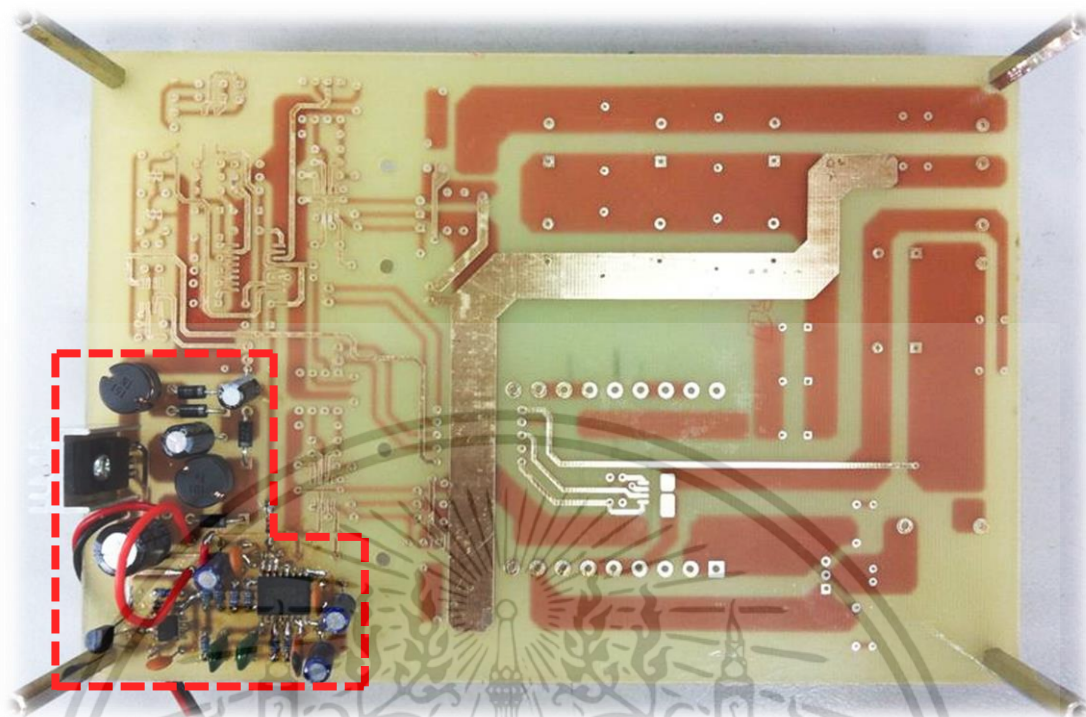


รูปที่ 4.13 Schematic ของดีซี – ดีซีคาสเคดฟลายแบคคอนเวอร์เตอร์แบบสวิทช์เดียวต้นแบบ



รูปที่ 4.14 ดีซี – ดีซีคาสเคดฟลายแบคคอนเวอร์เตอร์แบบสวิทช์เดียวต้นแบบ

เอกสารนี้เป็นเอกสารที่สงวนไว้สำหรับการใช้งานเพื่อการศึกษาเท่านั้น ไม่อนุญาตให้นำไปใช้ประโยชน์ด้านการค้า ไม่ว่าจะกรณีใดๆ ทั้งสิ้น อีกทั้งห้ามมิให้ดัดแปลงเนื้อหา และต้องอ้างอิงถึงเจ้าของเอกสารทุกครั้งที่มีการนำไปใช้



รูปที่ 4.15 ดีซี – ดีซีคาสเคดฟลายแบคคอนเวอร์เตอร์แบบสวิตช์เดี่ยวต้นแบบที่นำไปใช้เป็นแหล่งจ่ายกำลังไฟฟ้าในวงจรคอนเวอร์เตอร์หลัก

#### 4.4 บทสรุป

บทนี้ได้นำเสนอการออกแบบ และสร้างส่วนจ่ายแรงดันไฟฟ้าตรงของดีซี – ดีซีคาสเคดฟลายแบคคอนเวอร์เตอร์แบบสวิตช์ตัวเดียวต้นแบบ และนำผลการออกแบบที่ได้มาจำลองการทำงานเพื่อตรวจสอบความถูกต้องด้วย โปรแกรม PSpice™ หลังจากนั้นเป็นการออกแบบ การวิเคราะห์ และการคำนวณค่าของข้อมูลต่างๆ ของวงจรชดเชยอนุลือกชนิด Type 2 ของระบบควบคุมด้วยโปรแกรม MATLAB® ซึ่งผลของการออกแบบและสร้างทั้งส่วนทำให้ได้ดีซี – ดีซีคาสเคดฟลายแบคคอนเวอร์เตอร์แบบสวิตช์ตัวเดียวต้นแบบ ซึ่งจะนำไปทดสอบการทำงานในบทต่อไป

## บทที่ 5

### การทดลองและผลการทดลอง

#### 5.1 บทนำ

บทนี้นำเสนอผลการทดลองการทำงานดีซี – ดีซีเคสเคดฟลายแบคคอนเวอร์เตอร์แบบสวิตช์ตัวเดียวต้นแบบที่สร้างขึ้น โดยแบ่งการทดลองออกเป็นสี่กรณีคือ กรณีแรกเป็นการทดลองเพื่อตรวจสอบการทำงานของอุปกรณ์แต่ละตัวในคอนเวอร์เตอร์แบบต้นแบบ กรณีที่สองเป็นการทดลองเพื่อตรวจสอบการตอบสนองที่สภาวะคงตัวเพื่อควบคุมแรงดันไฟฟ้าตรงที่ทางออกให้คงที่ เมื่อมีการเปลี่ยนแปลงของแรงดันไฟฟ้าตรงที่ทางเข้า และหรือเมื่อมีการเปลี่ยนแปลงของกระแสไฟฟ้าโหลดที่ทางออก กรณีที่สามเป็นการทดลองเพื่อตรวจสอบการตอบสนองที่สภาวะพลวัตเพื่อควบคุมแรงดันไฟฟ้าตรงที่ทางออกให้คงที่ เมื่อมีการเปลี่ยนแปลงแบบทันทีทันใดของกระแสไฟฟ้าโหลดที่ทางออก และกรณีสุดท้ายเป็นการทดลองเพื่อตรวจสอบประสิทธิภาพของคอนเวอร์เตอร์ต้นแบบ

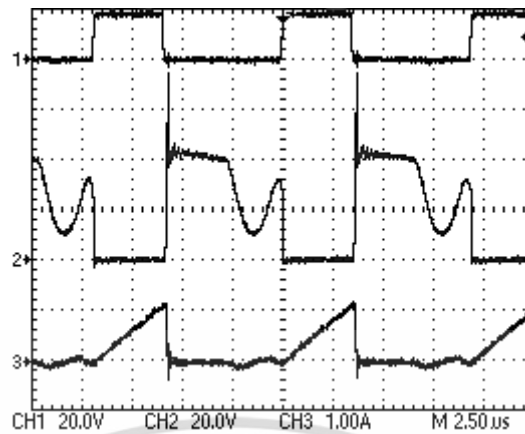
#### 5.2 อุปกรณ์และเครื่องมือที่ใช้ในการทดลอง

การทดลองเพื่อตรวจสอบดีซี – ดีซีเคสเคดฟลายแบคคอนเวอร์เตอร์แบบสวิตช์ตัวเดียวต้นแบบที่สร้างขึ้น ได้ใช้เครื่องมือดังต่อไปนี้คือ

1. DC Power Supply ของ MRPs รุ่น DCS-3302D จำนวน 2 เครื่อง
2. Digital Storage Oscilloscope ของ Tektronix รุ่น TDS2024C จำนวน 1 เครื่อง
3. Digital Multi meter ของ FLUKE รุ่น 179 จำนวน 2 เครื่อง
4. Differential Probe ของ YOKOGAWA รุ่น 700925 จำนวน 1 เครื่อง
5. Current Probe ของ AGILENT TECHNOLOGIES รุ่น N2782B จำนวน 1 เครื่อง

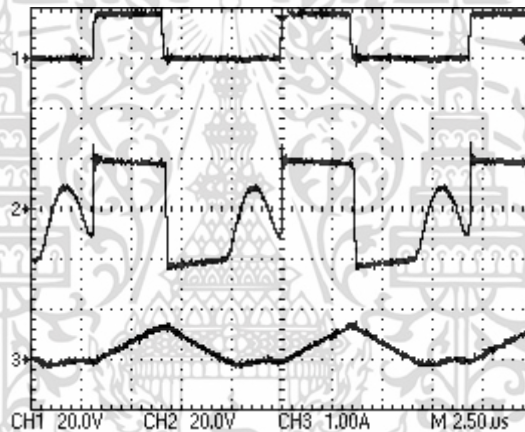
#### 5.3 การทดลองเพื่อตรวจสอบการทำงานของอุปกรณ์

การทดลองเพื่อตรวจสอบการทำงานของอุปกรณ์ของดีซี – ดีซีเคสเคดฟลายแบคคอนเวอร์เตอร์แบบสวิตช์ตัวเดียวต้นแบบ เป็นการทดลองเพื่อสังเกตความถูกต้องในการทำงานของอุปกรณ์แต่ละตัวในคอนเวอร์เตอร์เปรียบเทียบกับผลการวิเคราะห์ในเชิงทฤษฎีที่ได้กล่าวไปแล้ว ซึ่งในการทดลองนี้ได้กำหนดพิกัดแรงดันไฟฟ้าตรงที่ทางเข้า 20V และค่าขนาดโหลดความต้านทาน  $R$  ที่ทางออก 17% ของพิกัดคุณสมบัติทางไฟฟ้าที่ต้องการ ผลการทดลองดังกล่าวของอุปกรณ์แต่ละตัวแสดงดังในรูปที่ (5.1) – (5.8)



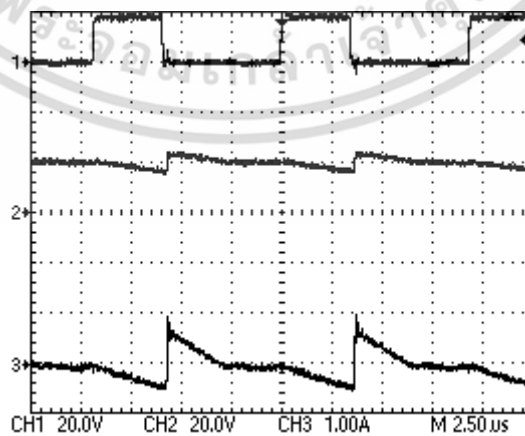
รูปบน : ค่าดิวิต์ไฮเคิล  $D_1$  , รูปกลาง :  $v_s$  , รูปล่าง :  $i_s$

รูปที่ 5.1 รูปสัญญาณของแรงดันแรงดันไฟฟ้าและกระแสไฟฟ้าที่สวิตช์ SW (MOSFET)



รูปบน : ค่าดิวิต์ไฮเคิล  $D_1$  , รูปกลาง :  $v_{L1}$  , รูปล่าง :  $i_{L1}$

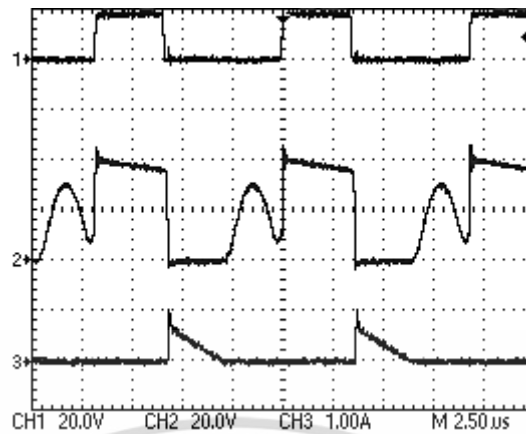
รูปที่ 5.2 รูปสัญญาณของแรงดันไฟฟ้าและกระแสไฟฟ้าที่ตัวเหนี่ยวนำ  $L_1$



รูปบน : ค่าดิวิต์ไฮเคิล  $D_1$  , รูปกลาง :  $v_{C1}$  , รูปล่าง :  $i_{C1}$

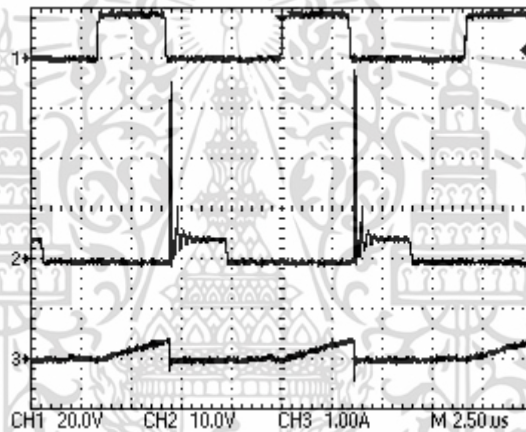
รูปที่ 5.3 รูปสัญญาณของแรงดันไฟฟ้าและกระแสไฟฟ้าที่ตัวเก็บประจุไฟฟ้า  $C_1$

เอกสารนี้เป็นเอกสารที่สงวนไว้สำหรับการใช้งานเพื่อการศึกษาเท่านั้น ไม่อนุญาตให้นำไปใช้ประโยชน์ด้านการค้า ไม่ว่าจะกรณีใดๆ ทั้งสิ้น อีกทั้งห้ามมิให้ดัดแปลงเนื้อหา และต้องอ้างอิงถึงเจ้าของเอกสารทุกครั้งที่มีการนำไปใช้



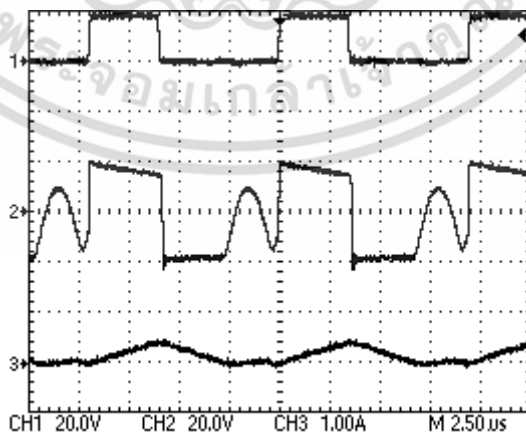
รูปบน : ค่าดิวิตไซเคิล  $D_1$  , รูปกลาง :  $v_1$  , รูปล่าง :  $i_1$

รูปที่ 5.4 รูปสัญญาณของแรงดันไฟฟ้าและกระแสไฟฟ้าที่ไดโอด  $D_1$



รูปบน : ค่าดิวิตไซเคิล  $D_1$  , รูปล่าง :  $v_2$  , รูปล่าง :  $i_2$

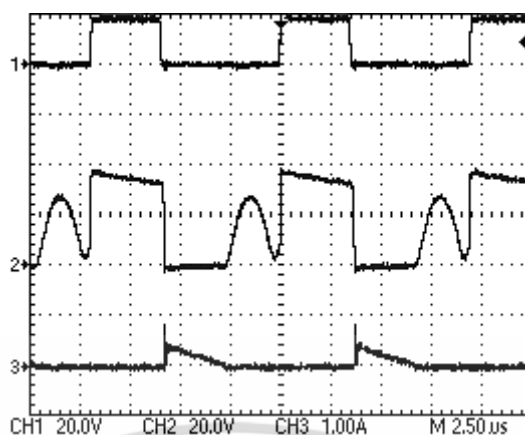
รูปที่ 5.5 รูปสัญญาณของแรงดันไฟฟ้าและกระแสไฟฟ้าที่ไดโอด  $D_2$



รูปบน : ค่าดิวิตไซเคิล  $D_1$  , รูปกลาง :  $v_{L2}$  , รูปล่าง :  $i_{L2}$

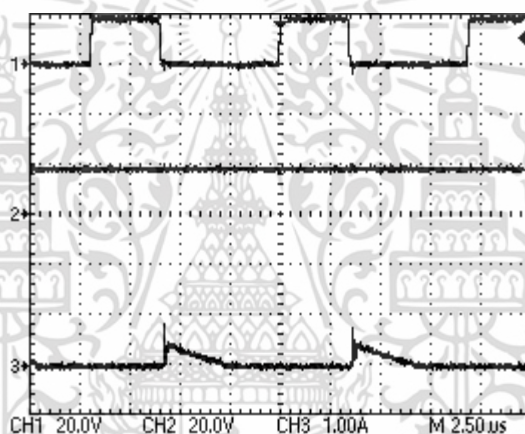
รูปที่ 5.6 รูปสัญญาณของแรงดันไฟฟ้าและกระแสไฟฟ้าที่ตัวเหนี่ยวนำ  $L_2$

เอกสารนี้เป็นเอกสารที่สงวนไว้สำหรับการใช้งานเพื่อการศึกษาเท่านั้น ไม่อนุญาตให้นำไปใช้ประโยชน์ด้านการค้า ไม่ว่าจะกรณีใดๆ ทั้งสิ้น อีกทั้งห้ามมิให้ดัดแปลงเนื้อหา และต้องอ้างอิงถึงเจ้าของเอกสารทุกครั้งที่มีการนำไปใช้



รูปบน : ค่าดิวิตไซเคิล  $D_1$  , รูปกลาง :  $v_3$  , รูปล่าง :  $i_3$

รูปที่ 5.7 รูปคลื่นสัญญาณแรงดันไฟฟ้าและกระแสไฟฟ้าที่ตัวเก็บประจุไฟฟ้า  $D_3$



รูปบน : ค่าดิวิตไซเคิล  $D_1$  , รูปกลาง :  $v_{C2}$  , รูปล่าง :  $i_{C2}$

รูปที่ 5.8 รูปสัญญาณของแรงดันไฟฟ้าและกระแสไฟฟ้าที่ตัวเก็บประจุไฟฟ้า  $C_2$

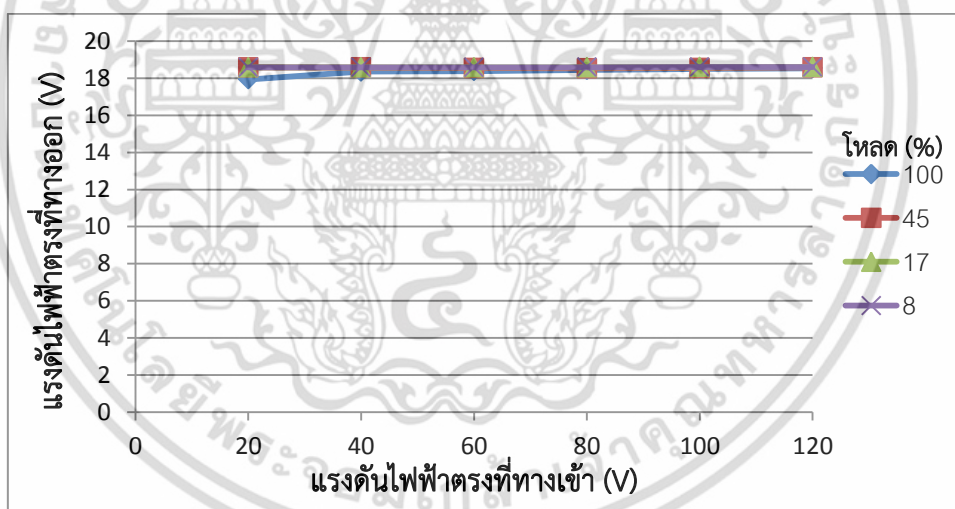
#### 5.4 การทดลองเพื่อตรวจสอบการตอบสนองที่สภาวะคงตัว

การทดลองนี้เป็นการตรวจสอบความสามารถการตอบสนองที่สภาวะคงตัวของดีซี – ดีซี คาสเคดพลาเยแบคคอนเวอร์เตอร์แบบสวิตซ์ตัวเดียวตัน เมื่อแรงดันไฟฟ้าตรงที่ทางเข้ามีค่าเปลี่ยนไป และหรือ เมื่อโหลดความต้านทานที่ทางออกมีค่าเปลี่ยนไป การทดลองนี้ทำการทดลองโดยการปรับเปลี่ยนแรงดันไฟฟ้าตรงที่ทางเข้า 20 - 120V ที่แต่ละโหลดความต้านทานที่ทางออกจำนวนสี่ตัว คือ 8% , 17% , 45% และ 100% ของพิกัดคุณสมบัติทางไฟฟ้า ผลการทดลองที่ได้แสดงในตารางที่ 5.1 รูปที่ 5.9 แสดงผลการทดลองการรักษาแรงดันไฟฟ้าตรงที่ทางออกเมื่อแรงดันไฟฟ้าตรงที่ทางเข้า มีการเปลี่ยนแปลง และรูปที่ 5.10 แสดงผลการทดลองการรักษาแรงดันไฟฟ้าตรงที่ทางออกเมื่อ กระแสไฟฟ้าที่โหลดความต้านทาน  $R$  ที่ทางออกมีการเปลี่ยนแปลง

เอกสารนี้เป็นเอกสารที่สงวนไว้สำหรับการใช้งานเพื่อการศึกษาเท่านั้น ไม่อนุญาตให้นำไปใช้ประโยชน์ด้านการค้า ไม่ว่าจะกรณีใดๆ ทั้งสิ้น อีกทั้งห้ามมิให้ดัดแปลงเนื้อหา และต้องอ้างอิงถึงเจ้าของเอกสารทุกครั้งที่มีการนำไปใช้

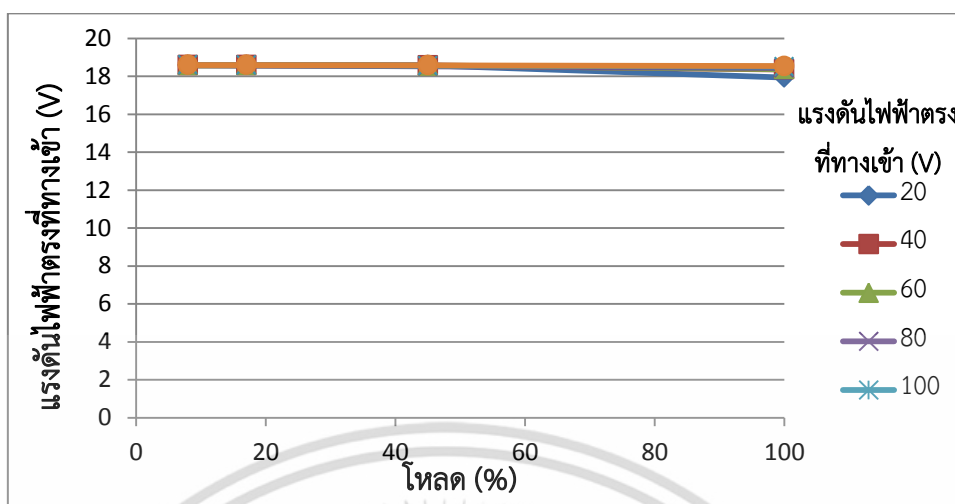
**ตารางที่ 5.1** ผลการวัดค่าแรงดันไฟฟ้าตรงที่ทางออกในสภาวะคงตัวของดีซี – ดีซีเคสเคดฟลายแบคคอนเวอร์เตอร์แบบสวิตซ์ตัวเดียวต้นแบบที่ค่าแรงดันไฟฟ้าตรงที่ทางเข้าและค่าโหลดที่ทางออกต่างๆ

แรงดันไฟฟ้าตรงที่ทางเข้า (V)	แรงดันไฟฟ้าตรงที่ทางออก (V)			
	โหลด 8%	โหลด 17%	โหลด 45%	โหลด 100%
20	18.58	18.58	18.58	17.93
40	18.58	18.58	18.57	18.36
60	18.58	18.58	18.55	18.38
80	18.59	18.58	18.53	18.44
100	18.60	18.59	18.55	18.50
120	18.60	18.60	18.58	18.54



**รูปที่ 5.9** ผลการทดลองแรงดันไฟฟ้าตรงที่ทางออกเมื่อแรงดันไฟฟ้าตรงที่ทางเข้ามีการเปลี่ยนแปลง

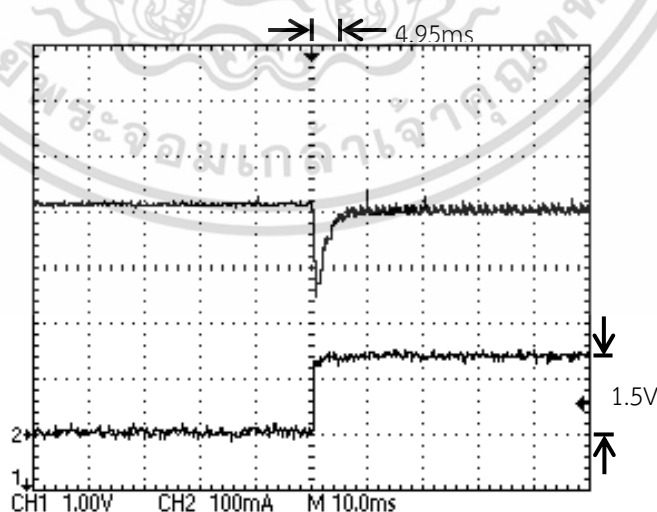
เอกสารนี้เป็นเอกสารที่สงวนไว้สำหรับการใช้งานเพื่อการศึกษาเท่านั้น ไม่อนุญาตให้นำไปใช้ประโยชน์ด้านการค้าไม่ว่ากรณีใดๆ ทั้งสิ้น อีกทั้งห้ามมิให้ดัดแปลงเนื้อหา และต้องอ้างอิงถึงเจ้าของเอกสารทุกครั้งที่มีการนำไปใช้



รูปที่ 5.10 ผลการทดลองแรงดันไฟฟ้าตรงที่ทางออกเมื่อโหลดที่ทางออกมีการเปลี่ยนแปลง

### 5.5 การทดลองเพื่อตรวจสอบการตอบสนองที่สภาวะพลวัต

การทดลองนี้เป็นการทดลองเพื่อตรวจสอบการตอบสนองที่สภาวะพลวัตของดีซี - ดีซีคาสเคดฟลายแบคคอนเวอร์เตอร์แบบสวิตช์ตัวเดียวต้นแบบ โดยการตรวจสอบความสามารถของระบบควบคุม ซึ่งเมื่อเกิดกรณีที่กระแสไฟฟ้าโหลดที่ทางออกมีการเปลี่ยนแปลงทันทีทันใดมี ระบบควบคุมต้องรักษาแรงดันไฟฟ้าตรงที่ทางออกให้กลับมามีค่าตามพิกัดได้รวดเร็วที่สุด ในการทดลองกำหนดให้แรงดันไฟฟ้าตรงที่ทางเข้ามีค่าเป็น 20V แรงดันไฟฟ้าตรงที่ทางออกตามพิกัดคุณสมบัติทางไฟฟ้า 18V และกระแสไฟฟ้าโหลดที่ทางออกมีการเปลี่ยนแปลง โดยโหลดเปลี่ยนแปลงจาก 8% เป็น 100% ที่พิกัดแบบทันทีทันใด ผลการทดลองที่ได้แสดงดังรูปที่ 5.11



รูปบน : แรงดันไฟฟ้าตรงที่ทางออก , รูปล่าง : กระแสไฟฟ้าที่โหลดความต้านทาน R

รูปที่ 5.11 ผลการทดลองการตอบสนองที่สภาวะพลวัตของดีซี - ดีซีคาสเคดฟลายแบคคอนเวอร์เตอร์

แบบสวิตช์ตัวเดียวต้นแบบ

เอกสารนี้เป็นเอกสารที่สงวนลิขสิทธิ์ไว้สำหรับการเรียนเพื่อการศึกษาเท่านั้น ไม่อนุญาตให้นำไปใช้ประโยชน์ด้านการค้าไม่ว่ากรณีใดๆ ทั้งสิ้น อีกทั้งห้ามมิให้ดัดแปลงเนื้อหา และต้องอ้างอิงถึงเจ้าของเอกสารทุกครั้งที่มีการนำไปใช้

## 5.6 การทดลองประสิทธิภาพ

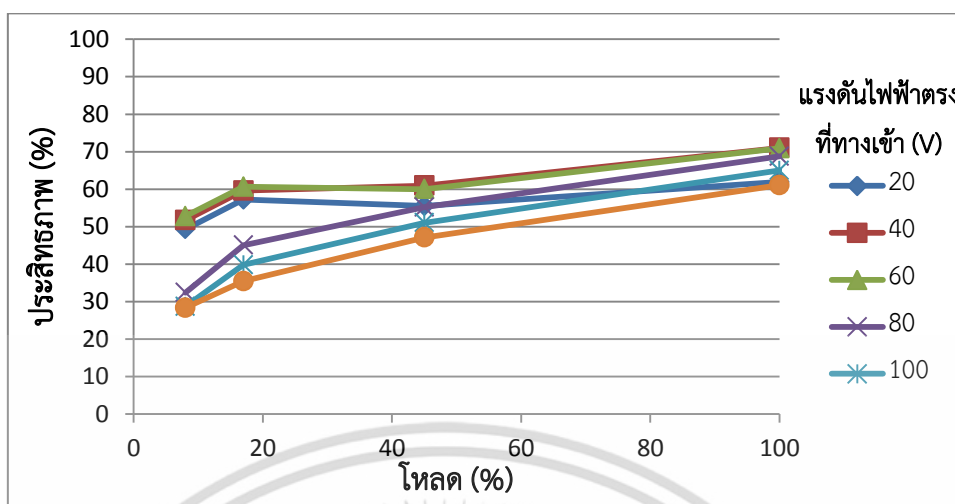
การคำนวณค่าประสิทธิภาพของดีซี – ดีซีคาสเคดฟลายแบคคอนเวอร์เตอร์แบบสวิตซ์ตัวเดียวต้นแบบ คำนวณจากผลการวัดกำลังไฟฟ้าที่ทางเข้าและกำลังไฟฟ้าที่ทางออกด้วยสมการที่ (5.1) แล้วแสดงผลการคำนวณในตารางที่ 5.2 ส่วนรูปที่ 5.12 แสดงประสิทธิภาพของคอนเวอร์เตอร์ที่ค่าแรงดันไฟฟ้าตรงที่ทางเข้าและที่ค่าโหลดที่ทางออกต่างๆกัน

$$\eta = \frac{P_{in}}{P_{out}} = \frac{V_g I_g}{\left(\frac{V^2}{R}\right)} \quad (5.1)$$

ตารางที่ 5.2 ผลการวัดค่าประสิทธิภาพของดีซี – ดีซีคาสเคดฟลายแบคคอนเวอร์เตอร์แบบสวิตซ์ตัวเดียวต้นแบบที่มีค่าแรงดันไฟฟ้าตรงที่ทางเข้าและค่าโหลดที่ทางออกต่างๆ

แรงดันไฟฟ้าตรงที่ทางเข้า (V)	ประสิทธิภาพ (%)			
	โหลด 8%	โหลด 17%	โหลด 45%	โหลด 100%
20	49.32	57.23	55.49	61.9
40	51.70	59.62	60.95	71.00
60	52.76	60.62	59.99	70.88
80	32.40	45.06	55.16	68.75
100	28.69	39.78	51.04	64.97
120	28.35	35.44	47.10	61.06

เอกสารนี้เป็นเอกสารที่สงวนไว้สำหรับการใช้งานเพื่อการศึกษาเท่านั้น ไม่อนุญาตให้นำไปใช้ประโยชน์ด้านการค้าไม่ว่ากรณีใดๆ ทั้งสิ้น อีกทั้งห้ามมิให้ดัดแปลงเนื้อหา และต้องอ้างอิงถึงเจ้าของเอกสารทุกครั้งที่มีการนำไปใช้



รูปที่ 5.12 ผลการทดลองประสิทธิภาพของดีซี – ดีซีคาสเคดฟลายแบคคอนเวอร์เตอร์แบบสวิตช์ตัวเดียวต้นแบบ

## 5.7 บทสรุป

ผลการทดลองของดีซี – ดีซีคาสเคดฟลายแบคคอนเวอร์เตอร์แบบสวิตช์ตัวเดียวต้นแบบ ทั้งสี่กรณีสามารถสรุปการทดลองได้คือ

- **การทดลองเพื่อตรวจสอบการทำงานของอุปกรณ์ :** สังเกตได้ว่าการทำงานของคอนเวอร์เตอร์ต้นแบบได้รูปสัญญาณขณะทำงานเป็นการทำงานในโหมดที่กระแสไฟฟ้าไหลผ่านตัวเหนี่ยวนำแบบไม่ต่อเนื่องตามการวิเคราะห์ในบทที่สอง แต่อาจมีความแตกต่างในรูปสัญญาณบ้างเนื่องการวิเคราะห์ในบทนั้นเป็นการวิเคราะห์ด้วยอุปกรณ์ทางอุดมคติ
- **การทดลองเพื่อตรวจสอบการตอบสนองที่สภาวะคงตัว :** ผลการทดลองที่ได้แสดงถึงความสามารถที่สภาวะคงตัวในการรักษาแรงดันไฟฟ้าตรงที่ทางออกให้คงที่ แม้ว่าจะมีการเปลี่ยนแปลงค่าของแรงดันไฟฟ้าตรงที่ทางเข้า และหรือมีการเปลี่ยนแปลงค่าของกระแสไฟฟ้าที่โหลด ความต้านทาน  $R$  ซึ่งจากผลการทดลองที่ได้สามารถใช้สมการที่ (5.2) คำนวณค่าของไลน์เรกกูเลชัน (Line Regulation) ที่ค่าโหลดความต้านทานต่างๆ ดังแสดงในตารางที่ 5.3 และสามารถที่ใช้สมการที่ (5.3) คำนวณค่าของโหลดเรกกูเลชัน (Load Regulation) ที่ค่าแรงดันไฟฟ้าตรงที่ทางเข้าค่าต่างๆดังแสดงในตารางที่ 5.4

$$\text{Line Regulation} = \frac{\Delta V_{out}}{\Delta V_{in}} \times 100\% \quad (5.2)$$

เอกสารนี้เป็นเอกสารที่สงวนไว้สำหรับการใช้งานเพื่อการศึกษาเท่านั้น ไม่อนุญาตให้นำไปใช้ประโยชน์ด้านการค้า ไม่ว่าจะกรณีใดๆ ทั้งสิ้น อีกทั้งห้ามมิให้ดัดแปลงเนื้อหา และต้องอ้างอิงถึงเจ้าของเอกสารทุกครั้งที่มีการนำไปใช้

**ตารางที่ 5.3** ผลการวัดค่าไลน์เรกกูเลชันของดีซี – ดีซีเคสเคดฟลายแบคคอนเวอร์เตอร์แบบสวิตซ์ตัวเดียวต้นแบบที่แรงดันไฟฟ้าตรงที่ทางเข้ามีการเปลี่ยนแปลงจาก 20V เป็น120V ที่ค่าโหลดต่างๆ

แรงดันไฟฟ้าตรงที่ทางเข้า (V)	ไลน์เรกกูเลชัน (%)			
	โหลด 8%	โหลด 17%	โหลด 45%	โหลด 100%
20 - 120	0.02	0.02	0	0.61

$$\text{Load Regulation} = \frac{V_{NL} - V_{FL}}{V_{FL}} \times 100\% \quad (5.3)$$

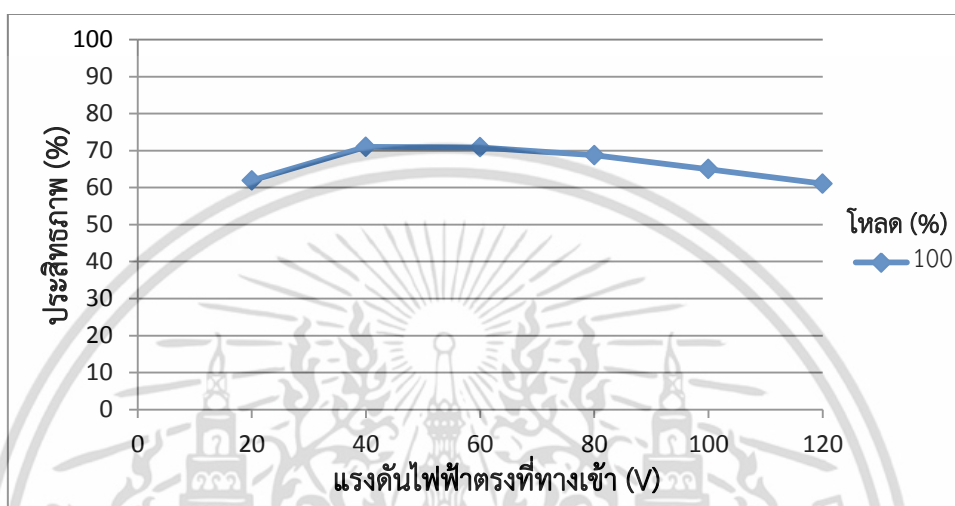
**ตารางที่ 5.4** ผลการวัดค่าโหลดเรกกูเลชันของดีซี – ดีซีเคสเคดฟลายแบคคอนเวอร์เตอร์แบบสวิตซ์ตัวเดียวต้นแบบที่โหลดมีการเปลี่ยนแปลงจาก 0% เป็น 100% ที่ค่าแรงดันไฟฟ้าตรงที่ทางเข้าต่างๆ

แรงดันไฟฟ้าตรงที่ทางเข้า (V)	โหลดเรกกูเลชัน (%)
	โหลด 0-100%
20	3.62
40	1.19
60	1.09
80	0.81
100	0.54
120	0.32

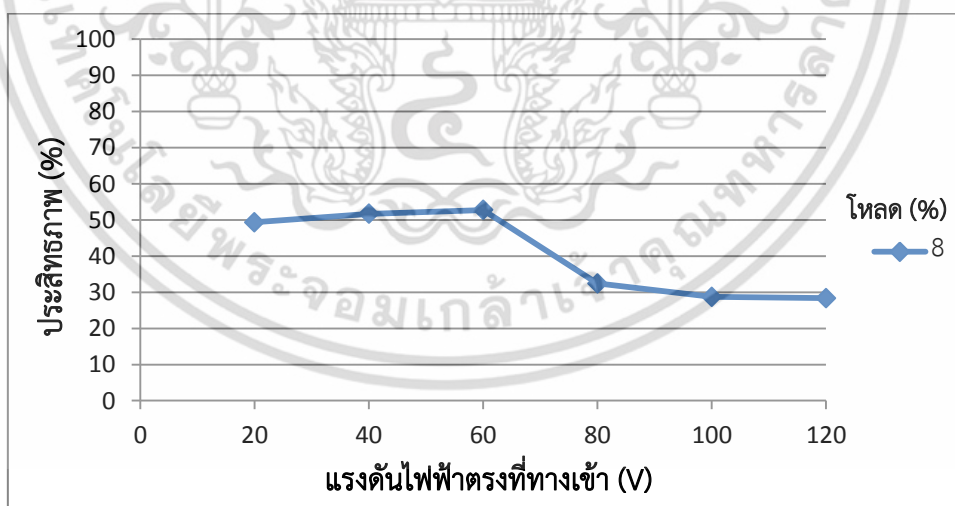
- **การทดลองเพื่อตรวจสอบการตอบสนองที่สภาวะพลวัต** : ผลการทดลองที่แสดงในรูปที่ 5.11 แสดงถึงความสามารถของระบบควบคุมที่ควบคุมสภาวะพลวัตของดีซี – ดีซีเคสเคดฟลายแบคคอนเวอร์เตอร์แบบสวิตซ์ตัวเดียวต้นแบบ ที่สามารถตอบสนองอย่างรวดเร็วต่อการเปลี่ยนแปลงของค่ากระแสไฟฟ้าที่ทางออกอย่างทันทีทันใด ดังแสดงด้วยผลการทดลองที่ทันทีที่มีการเปลี่ยนแปลงของโหลดที่ทางออกจาก 8% เป็น 100% ของพิกัด แรงดันไฟฟ้าตรงที่ทางออกมีค่าลดลงทันที 1.5 V หรือ 8.3% ของพิกัด แต่ระบบควบคุมที่ออกแบบสามารถทำให้แรงดันไฟฟ้าตรงที่ทางออกกลับมาที่ค่าเป็นแรงดันไฟฟ้าตรงตามพิกัด (18 V) ได้ภายในเวลา 5ms

- **การทดลองประสิทธิภาพ** : ผลการทดลองเพื่อวัดประสิทธิภาพของดีซี – ดีซีเคสเคดฟลายแบคคอนเวอร์เตอร์แบบสวิตซ์ตัวเดียวต้นแบบ รูปที่ 5.13 แสดงผลมีประสิทธิภาพสูงที่ขนาดพิกัดโหลด 100% ทั้งนี้เพราะเมื่อทำงานที่พิกัดนี้กำลังไฟฟ้าสูญเสียคงที่ภายในคอนเวอร์เตอร์มีเอกสารนี้เป็นเอกสารที่สงวนไว้สำหรับการใช้งานเพื่อการศึกษาเท่านั้น ไม่อนุญาตให้นำไปใช้ประโยชน์ด้านการค้าไม่ว่ากรณีใดๆ ทั้งสิ้น อีกทั้งห้ามมิให้ดัดแปลงเนื้อหา และต้องอ้างอิงถึงเจ้าของเอกสารทุกครั้งที่มีการนำไปใช้

ค่าน้อยมากเมื่อเปรียบเทียบกับกำลังไฟฟ้าที่ทางออก ส่วนรูปที่ 5.14 แสดงประสิทธิภาพที่ขนาดพิกัดโหลด 8% มีค่าสูงที่แรงดันไฟฟ้าตรงที่ทางเข้าอยู่ในย่านต่ำ (20 – 60V) ทั้งนี้เพราะดีซี – ดีซีเคสเคดฟลายแบคคอนเวอร์เตอร์แบบสวิทช์ตัวเดียวต้นแบบถูกออกแบบให้ทำงานมีประสิทธิภาพสูงในย่านแรงดันไฟฟ้าตรงที่ทางเข้าย่านนั้น



รูปที่ 5.13 ผลการทดลองประสิทธิภาพของดีซี – ดีซีเคสเคดฟลายแบคคอนเวอร์เตอร์แบบสวิทช์ตัวเดียวต้นแบบที่โหลด 100%



รูปที่ 5.14 ผลการทดลองประสิทธิภาพของดีซี – ดีซีเคสเคดฟลายแบคคอนเวอร์เตอร์แบบสวิทช์ตัวเดียวต้นแบบที่โหลด 8%

เอกสารนี้เป็นเอกสารที่สงวนไว้สำหรับการใช้งานเพื่อการศึกษาเท่านั้น ไม่อนุญาตให้นำไปใช้ประโยชน์ด้านการค้าไม่ว่ากรณีใดๆ ทั้งสิ้น อีกทั้งห้ามมิให้ดัดแปลงเนื้อหา และต้องอ้างอิงถึงเจ้าของเอกสารทุกครั้งที่มีการนำไปใช้

## บทที่ 6

### สรุปงานวิจัยและข้อเสนอแนะ

วิทยานิพนธ์เล่มนี้ได้นำเสนอผลงานวิจัยจากการวิเคราะห์ การออกแบบ การสร้าง และการทดลองดีซี - ดีซีคาสเคดฟลายแบคคอนเวอร์เตอร์แบบสวิตช์เดี่ยวต้นแบบที่ทำหน้าที่เป็นแหล่งจ่ายแรงดันไฟฟ้าตรงให้กับดีซี - ดีซีคอนเวอร์เตอร์กำลังหลักของระบบรับพลังงานไฟฟ้าจากแผงเซลล์แสงอาทิตย์มาจ่ายเป็นแรงดันไฟฟ้าตรงที่เหมาะสมให้กับปั้มน้ำแรงดันไฟฟ้าตรงในงานเกษตรกรรม ดีซี - ดีซีคาสเคดฟลายแบคคอนเวอร์เตอร์แบบสวิตช์เดี่ยวต้นแบบ ที่สร้างขึ้นมีขนาดพิกัดคุณสมบัติทางไฟฟ้าทั่วไปคือ แรงดันไฟฟ้าตรงที่ทางเข้า 20 - 120V และแรงดันไฟฟ้าตรงที่ทางออก 18V (3W) โดยหลังจากการวิเคราะห์และออกแบบผู้วิจัยได้สร้างและทดสอบการทำงานของคอนเวอร์เตอร์ต้นแบบ ผลจากการตรวจสอบรูปสัญญาณของแรงดันไฟฟ้าและกระแสไฟฟ้าจากการทำงานที่อุปกรณ์แต่ละตัวสังเกตได้ว่าอุปกรณ์เหล่านั้นสามารถทำงานได้ตามทฤษฎี และเมื่อทดลองปรับค่าของแรงดันไฟฟ้าตรงที่ทางเข้าเพิ่มขึ้นจนกระทั่งถึง 120V ดีซี - ดีซีคาสเคดฟลายแบคคอนเวอร์เตอร์แบบสวิตช์เดี่ยวต้นแบบที่สร้างขึ้นยังมีค่าของดิวิตีไซเคิลเพียงพอที่จะทำงานเพื่อรักษาแรงดันไฟฟ้าตรงที่ทางออกให้ได้ตามพิกัด ซึ่งผลการทดลองนี้เป็นผลการทดลองเพื่อยืนยันข้อดีของดีซี - ดีซีคอนเวอร์เตอร์แบบคาสเคดเมื่อเปรียบเทียบกับคอนเวอร์เตอร์แบบสเตตเดี่ยว ผลการทดลองต่อมาซึ่งเป็นการทดลองที่สภาวะคงตัวเมื่อมีการเปลี่ยนแปลงของแรงดันไฟฟ้าตรงที่ทางเข้า (20 - 120V) และหรือการเปลี่ยนแปลงของกระแสไฟฟ้าที่โหลด (8 - 100%) ผลการทดลองที่ได้แสดงการทำงานของระบบควบคุมซึ่งสามารถรักษาแรงดันไฟฟ้าตรงที่ทางเข้าให้ได้ค่าแรงดันไฟฟ้าตามพิกัดที่ต้องการ โดยมีค่าไลน์เรกกูเลชันสูงสุดไม่เกิน 0.61% เมื่อทดลองขณะกระแสไฟฟ้าโหลดที่ทางออกสูงสุด (100%) และค่าโหลดเรกกูเลชันสูงสุดไม่เกิน 3.62% เมื่อทดลองแรงดันไฟฟ้าตรงที่ทางเข้าต่ำสุด (20V) ส่วนผลการทดลองที่สภาวะพลวัตซึ่งแสดงการตอบสนองของระบบควบคุมเมื่อมีการเปลี่ยนแปลงแบบทันทีทันใดของกระแสไฟฟ้าโหลดที่ทางออก (8 - 100%) ของพิกัดคุณสมบัติทางไฟฟ้า ผลการทดลองที่ได้แสดงได้ว่าระบบควบคุมสามารถทำให้แรงดันไฟฟ้าตรงที่ทางออกซึ่งมีค่าเปลี่ยนแปลงกลับคืนตามค่าพิกัดได้อย่างรวดเร็ว โดยแรงดันไฟฟ้าตรงที่ทางออกมีค่าลดลงทันทีทันใด 8.3% ของพิกัดคุณสมบัติทางไฟฟ้า และระบบควบคุมใช้เวลา 5ms ในการทำให้แรงดันไฟฟ้าตรงที่ทางออกกลับคืนตามค่าพิกัดดั้งเดิม การทดลองสุดท้ายเป็นการทดลองวัดประสิทธิภาพของดีซี - ดีซีคาสเคดฟลายแบคคอนเวอร์เตอร์แบบสวิตช์เดี่ยวต้นแบบ ซึ่งได้ค่าประสิทธิภาพปานกลางตั้งแต่ 30 - 70% แปรตามค่าขนาดแรงดันไฟฟ้าตรงที่ทางเข้าและค่าขนาดกระแสไฟฟ้าโหลดที่ทางออก สาเหตุที่ดีซี - ดีซีคาสเคดฟลายแบคคอนเวอร์เตอร์แบบสวิตช์เดี่ยวต้นแบบมีค่าของประสิทธิภาพปานกลางทั้งนี้เพราะดีซี - ดีซีคอนเวอร์เตอร์ดังกล่าวต้องถูกนำไปใช้กับสภาวะแวดล้อมที่มีพิกัดคุณสมบัติทางไฟฟ้า

เอกสารนี้เป็นเอกสารที่สงวนไว้สำหรับการใช้งานเพื่อการศึกษาเท่านั้น ไม่อนุญาตให้นำไปใช้ประโยชน์ด้านการค้า ไม่ว่าจะกรณีใดๆ ทั้งสิ้น อีกทั้งห้ามมิให้ตัดแปลงเนื้อหา และต้องอ้างอิงถึงเจ้าของเอกสารทุกครั้งที่มีการนำไปใช้

กว้างซึ่งมีผลต่อขั้นตอนการออกแบบคือ ประการแรกแรงดันไฟฟ้าตรงที่ทางเข้ามีค่าตั้งแต่ 20 – 120V ซึ่งทำให้การออกแบบเพื่อให้ได้ประสิทธิภาพสูงตลอดย่านพิสัยดังกล่าวทำได้ยาก ในการออกแบบสามารถเลือกค่านวณให้ได้ประสิทธิภาพสูงเฉพาะที่ย่านแรงดันไฟฟ้าตรงที่ทางเข้าแคบๆ ที่ ย่านใดย่านหนึ่งเท่านั้น ประการที่สองปริมาณการใช้กระแสไฟฟ้าตรงโหลดที่ทางออกเพื่อจ่ายให้กับ ดีซี – ดีซีคอนเวอร์เตอร์กำลังหลักมีค่าไม่แน่นอนและมีพิสัยกว้าง ดังนั้นการออกแบบเพื่อเลือกโหมด การทำงานของดีซี – ดีซีคาสเคดฟลายแบคคอนเวอร์เตอร์แบบสวิตซ์ตัวเดียวต้นแบบ จึงต้อง กำหนดให้ทำงานในโหมดกระแสไฟฟ้าไหลผ่านตัวเหนี่ยวนำแบบไม่ต่อเนื่อง ซึ่งเมื่อทำงานในโหมดนี้ ค่าอาร์เอ็มเอส (RMS) ของกระแสไฟฟ้าที่ไหลในอุปกรณ์มีค่าสูงมาก ทำให้เกิดการสูญเสียสูงที่ อุปกรณ์นั้นๆ และมีผลทำให้ค่าประสิทธิภาพของดีซี – ดีซีคาสเคดฟลายแบคคอนเวอร์เตอร์แบบ สวิตซ์ตัวเดียวมีค่าปานกลางดังกล่าว แต่อย่างไรก็ตามถึงแม้ว่าค่าประสิทธิภาพที่ได้มีปานกลาง แต่ก็ไม่ม่ผลกระทบต่อระบบโดยรวมทั้งหมด ทั้งนี้เพราะกำลังไฟฟ้าที่ต้องการของ ดีซี – ดีซีคาสเคดฟลายแบคคอนเวอร์เตอร์แบบสวิตซ์ตัวเดียวมีพิกัดกำลังไฟฟ้าต่ำเพียง 3W เท่านั้น

ผลงานวิจัยเรื่องดีซี – ดีซีคาสเคดฟลายแบคคอนเวอร์เตอร์แบบสวิตซ์ตัวเดียวดังกล่าว ได้ ผลงานเป็นดีซี – ดีซีคอนเวอร์เตอร์ขนาดเล็กสำหรับจ่ายแรงดันไฟฟ้าตรงให้กับระบบไฟฟ้าของคอน เวอร์เตอร์หลักอื่นๆ และมีคุณสมบัติหลักสามารถรักษาแรงดันไฟฟ้าตรงที่ทางออกได้ตามพิกัด คุณสมบัติทางไฟฟ้าต้องการ แต่มีเพียงค่าของประสิทธิภาพที่มีค่าปานกลางซึ่งเกิดจากการทำงานใน โหมดกระแสไฟฟ้าไหลผ่านตัวเหนี่ยวนำแบบไม่ต่อเนื่อง ผู้วิจัยจึงขอเสนอแนวทางในการพัฒนาเพื่อ งานวิจัยต่อไป โดยการกำหนดให้ ดีซี – ดีซีคาสเคดฟลายแบคคอนเวอร์เตอร์แบบสวิตซ์เดียวทำงาน ในโหมดกระแสไฟฟ้าไหลผ่านตัวเหนี่ยวนำแบบต่อเนื่อง ซึ่งทำให้ค่าอาร์เอ็มเอส (RMS) ของ กระแสไฟฟ้าที่ไหลในอุปกรณ์มีค่าลดลงเนื่องจากการสูญเสียในอุปกรณ์นั้นๆ ที่เกิดขึ้นลดลงและมีผล ให้ค่าประสิทธิภาพของดีซี – ดีซีคาสเคดฟลายแบคคอนเวอร์เตอร์แบบสวิตซ์เดียวเพิ่มขึ้น แต่การ กำหนดให้ทำงานในโหมดกระแสไฟฟ้าไหลผ่านตัวเหนี่ยวนำแบบต่อเนื่อง อาจทำให้มีปัญหาเพราะ จากพิกัดคุณสมบัติทางไฟฟ้าที่กระแสไฟฟ้าโหลดที่ทางออกมีพิสัยที่กว้างมาก ทำให้ดีซี – ดีซีคาส เคดฟลายแบคคอนเวอร์เตอร์แบบสวิตซ์เดียวอาจต้องทำงานทั้งโหมดกระแสไฟฟ้าไหลผ่านตัว เหนี่ยวนำแบบไม่ต่อเนื่องหรือโหมดกระแสไฟฟ้าไหลผ่านตัวเหนี่ยวนำแบบต่อเนื่องสลับกันตาม ปริมาณของขนาดกระแสไฟฟ้าตรงโหลดที่ทางออก ซึ่งการออกแบบระบบควบคุมป้อนกลับเชิงเส้น ชนิดอนาล็อกที่สามารถควบคุมได้ทั้งสองโหมดการทำงานสลับไปมาทำได้ยาก งานวิจัยต่อไปผู้วิจัย เสนอแนะอาจใช้ระบบควบคุมเชิงดิจิทัลที่สามารถควบคุมได้ทั้งสองโหมดการทำงานดังกล่าวว่าได้ ดังเช่นงานวิจัยของ Monthon Nawomg และคณะ [11] เป็นต้น

## เอกสารอ้างอิง

- [1] REC Group. “High Performance Solar Panels” [Online]. Available : [http://www.recgroup.com/sites/default/files/documents/rec\\_pe\\_series\\_rev.u\\_eng.pdf](http://www.recgroup.com/sites/default/files/documents/rec_pe_series_rev.u_eng.pdf). 2014
- [2] Mitsubishi Heavy Industries, LTD. “Mitsubishi Tandem Photovoltaic Module” [Online]. Available : <http://www.dionenergy.com/files/1/pdf/MITSUBISHI%20MT130.pdf>. 2007
- [3] Bill Andreyca “Elegantly Simple Off – line Bias Supply For Very Low Power Application”, **Unitrode Application Handbook**, April 1997, pp.3-416 – 426
- [4] Daniel W. Hart. **Power Electronics**. New York : McGraw – Hill. 2011.
- [5] Jack Golten and Andy Verwer, **Control System Design and Simulation**, London : McGraw – Hill Book Company Europe. 1991.
- [6] Robert W. Erickson and Dragan Maksimovic, **Fundamental of Power Electronics**, 2<sup>nd</sup> Edition, New York : Kluwer Academic Publishers, 2001.
- [7] H. Dean Venable. “The K Factor: A New Mathematical Tool for Stability Analysis and Synthesis” **Linear Technology Reference Reading#4**.
- [8] Dragan Maksimovic and Slobodan Cuk, “Switching Converters with Wide DC Conversion Range”, **IEEE Trans. on Power Electronics**, vol.6, no.1, Jan. 1991, pp.151 – 157.
- [9] J.Marcos et. all, “Analysis and Design of the Quadratic Buck – Boost Converter as a High – Power – Factor Driver for Power – LED Lamps”, **IECON 2010**, Nov. 2010, pp. 2541 – 2546.
- [10] P.J. Akhiljith et. all, “PWM Switched Double Stage Buck Boost Converter with LC Filter for LED Lighting Applications”, **IJAREEIE**, Vol.3, no.5, Dec. 2014, pp. 269 – 276.
- [11] Monthon Nawomg, Salitip Sinthusonthishat and Nontawat Chuladaycha, “Digital Control Based on a Non-Linear Switching Surface Technique,” **International Review of Electrical Engineering (IREE)**, vol.9, no.3, June 2014, pp. 466-475.



เอกสารนี้เป็นเอกสารที่สงวนไว้สำหรับการใช้งานเพื่อการศึกษาเท่านั้น ไม่อนุญาตให้นำไปใช้ประโยชน์ด้านการค้า  
ไม่ว่ากรณีใดๆ ทั้งสิ้น อีกทั้งห้ามมิให้ดัดแปลงเนื้อหา และต้องอ้างอิงถึงเจ้าของเอกสารทุกครั้งที่มีการนำไปใช้



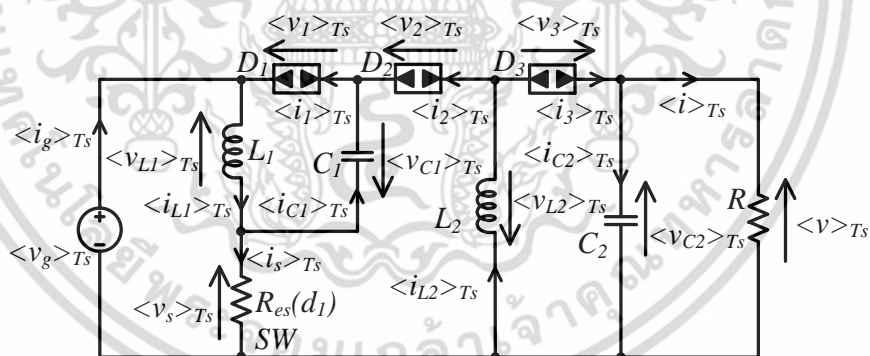
เอกสารนี้เป็นเอกสารที่สงวนไว้สำหรับการใช้งานเพื่อการศึกษาเท่านั้น ไม่อนุญาตให้นำไปใช้ประโยชน์ด้านการค้า  
ไม่ว่ากรณีใดๆ ทั้งสิ้น อีกทั้งห้ามมิให้ดัดแปลงเนื้อหา และต้องอ้างอิงถึงเจ้าของเอกสารทุกครั้งที่มีการนำไปใช้

## ก.1 การจำลองแบบดีซี-ดีซีคอนเวอร์เตอร์โดยวิธี Averaged Switch Model

การหาแบบจำลองโดยวิธี Averaged Switch Model มีขั้นตอนดังนี้คือ

1. เขียนสมการค่าเฉลี่ยของอุปกรณ์ในวงจรจากรูปสัญญาณการทำงาน โดยรวมทุกสภาวะการทำงานที่ปรากฏในหนึ่งคาบเวลาสวิตช์
2. รวบรวมสมการของระบบที่ได้จากขั้นตอนที่ 1 ด้วยสัญญาณเอซีขนาดเล็กรอบจุดการทำงาน (Operating point) ที่สภาวะคงตัว ซึ่งในสมการจะมีเทอมของสัญญาณดีซี (DC Term) และเทอมของสัญญาณเอซีขนาดเล็กล (Small-Signal AC Term)
3. จากสมการของเทอมของสัญญาณดีซี (DC Term) ที่ได้จากขั้นตอนที่ 2 คือสมการที่สภาวะคงตัว (Steady State Equation) ซึ่งนำมาแก้สมการเพื่อหาความสัมพันธ์ของตัวแปรต่างๆ ของดีซี-ดีซีคอนเวอร์เตอร์ที่สภาวะคงตัว
4. จากสมการของเทอมของสัญญาณเอซีขนาดเล็กล (Small-Signal AC Term) ที่ได้จากขั้นตอนที่ 2 คือสมการเชิงเส้นสัญญาณขนาดเล็กล (Linear Small-Signal Equation) ซึ่งนำมาแก้สมการเพื่อหาฟังก์ชันถ่ายโอน (Transfer Function) ได้

## ก.2 การหาค่าเฉลี่ยการทำงานของอุปกรณ์ในวงจร



รูปที่ ก.1 แบบจำลองเชิงความถี่ชนิดสัญญาณรบกวนเอซีขนาดเล็กลของส่วนจ่ายแรงดันไฟฟ้าตรง

ตัวเหนี่ยวนำ  $L_1$

$$i_{L1P} = \frac{\langle v_g \rangle_{T_s}}{L_1} d_1 T_s \quad (ก.1)$$

$$\langle v_{L1} \rangle_{T_s} = d_1 \langle v_g \rangle_{T_s} - d_2 \langle v_{C1} \rangle_{T_s} = 0 \quad (ก.2)$$

$$d_1 \langle v_g \rangle_{T_s} = d_2 \langle v_{C1} \rangle_{T_s} \quad (ก.3)$$

เอกสารนี้เป็นเอกสารที่สงวนไว้สำหรับการใช้งานเพื่อการศึกษาเท่านั้น ไม่อนุญาตให้นำไปใช้ประโยชน์ด้านการค้า ไม่ว่าจะกรณีใดๆ ทั้งสิ้น อีกทั้งห้ามมิให้ดัดแปลงเนื้อหา และต้องอ้างอิงถึงเจ้าของเอกสารทุกครั้งที่มีการนำไปใช้

$$d_2 = d_1 \frac{\langle v_g \rangle_{T_s}}{\langle v_{C1} \rangle_{T_s}} \quad (\text{ก.4})$$

$$\frac{d_2}{d_1} = \frac{\langle v_g \rangle_{T_s}}{\langle v_{C1} \rangle_{T_s}} \quad (\text{ก.5})$$

ตัวเหนี่ยวนำ  $L_2$

$$i_{L2P} = \frac{\langle v_{C1} \rangle_{T_s}}{L_2} d_1 T_s \quad (\text{ก.6})$$

$$\langle v_{L2} \rangle_{T_s} = d_1 \langle v_{C1} \rangle_{T_s} - d_2 \langle v_{C2} \rangle_{T_s} = 0 \quad (\text{ก.7})$$

$$d_1 \langle v_{C1} \rangle_{T_s} = d_2 \langle v_{C2} \rangle_{T_s} \quad (\text{ก.8})$$

$$d_2 = d_1 \frac{\langle v_{C1} \rangle_{T_s}}{\langle v_{C2} \rangle_{T_s}} \quad (\text{ก.9})$$

$$\langle v_{C2} \rangle_{T_s} = \langle v \rangle_{T_s} \quad (\text{ก.10})$$

$$\frac{d_2}{d_1} = \frac{\langle v_{C1} \rangle_{T_s}}{\langle v \rangle_{T_s}} \quad (\text{ก.11})$$

ตัวเก็บประจุ  $C_1$

$$\langle i_{C1} \rangle_{T_s} = \frac{1}{2} (-i_{L2P}) d_1 + \frac{1}{2} (i_{L1P}) d_2 \quad (\text{ก.12})$$

(ก.1)(ก.6)(ก.12)

$$\frac{1}{2} \left( \frac{\langle v_{C1} \rangle_{T_s}}{L_2} d_1 \right) d_1 = \frac{1}{2} \left( \frac{\langle v_g \rangle_{T_s}}{L_1} d_1 \right) d_2 \quad (\text{ก.13})$$

$$\frac{\langle v_{C1} \rangle_{T_s}}{L_2} d_1^2 = \frac{\langle v_g \rangle_{T_s}}{L_1} d_1 d_2 \quad (\text{ก.14})$$

$$\frac{\langle v_{C1} \rangle_{T_s}}{\langle v_g \rangle_{T_s}} = \left( \frac{L_2}{L_1} \right) \left( \frac{d_2}{d_1} \right) \quad (\text{ก.15})$$

เอกสารนี้เป็นเอกสารที่สงวนไว้สำหรับการใช้งานเพื่อการศึกษาเท่านั้น ไม่อนุญาตให้นำไปใช้ประโยชน์ด้านการค้า ไม่ว่าจะกรณีใดๆ ทั้งสิ้น อีกทั้งห้ามมิให้ดัดแปลงเนื้อหา และต้องอ้างอิงถึงเจ้าของเอกสารทุกครั้งที่มีการนำไปใช้

(ก.5)(ก.15)

$$\left( \frac{\langle v_{C1} \rangle_{T_s}}{\langle v_g \rangle_{T_s}} \right) \left( \frac{\langle v_g \rangle_{T_s}}{\langle v_{C1} \rangle_{T_s}} \right) = \left( \frac{d_2}{d_1} \right) \left( \frac{L_2}{L_1} \right) \left( \frac{d_2}{d_1} \right) \quad (\text{ก.16})$$

$$\frac{d_2}{d_1} = \sqrt{\frac{L_1}{L_2}} \quad (\text{ก.17})$$

$$d_2 = d_1 \sqrt{\frac{L_1}{L_2}} \quad (\text{ก.18})$$

(ก.5)(ก.18)

$$\langle v_{C1} \rangle_{T_s} = \langle v_g \rangle_{T_s} \sqrt{\frac{L_2}{L_1}} \quad (\text{ก.19})$$

ช่วงเวลาใน 1 คาบเวลา

$$d_1 + d_2 + d_3 = 1 \quad (\text{ก.20})$$

$$d_3 = 1 - d_1 - d_2 \quad (\text{ก.21})$$

(ก.5) × (ก.11)

$$\left( \frac{\langle v_g \rangle_{T_s}}{\langle v_{C1} \rangle_{T_s}} \right) \left( \frac{\langle v_{C1} \rangle_{T_s}}{\langle v_g \rangle_{T_s}} \right) = \left( \frac{d_2}{d_1} \right) \left( \frac{d_2}{d_1} \right) \quad (\text{ก.22})$$

$$\left( \frac{\langle v_g \rangle_{T_s}}{\langle v \rangle_{T_s}} \right) = \left( \frac{d_2}{d_1} \right)^2 \quad (\text{ก.23})$$

สวิตช์ SW

- แรงดันไฟฟ้าเฉลี่ย  $\langle v_s \rangle_{T_s}$ 

$$\langle v_s \rangle_{T_s} = d_1 \cdot 0 + d_2 \left( \langle v_g \rangle_{T_s} + \langle v_{C1} \rangle_{T_s} \right) + d_3 \left( \langle v_g \rangle_{T_s} \right) \quad (\text{ก.24})$$

(ก.21)(ก.24)

เอกสารนี้เป็นเอกสารที่สงวนลิขสิทธิ์ไว้ซึ่งงานเพื่อการศึกษาค้นคว้าเท่านั้น ไม่อนุญาติให้นำไปใช้ประโยชน์ด้านการค้าไม่ว่ากรณีใดๆ ทั้งสิ้น อีกทั้งห้ามมิให้ดัดแปลงเนื้อหา และต้องอ้างอิงถึงเจ้าของเอกสารทุกครั้งที่มีการนำไปใช้

$$\langle v_s \rangle_{T_s} = d_2 \left( \langle v_g \rangle_{T_s} + \langle v_{C1} \rangle_{T_s} \right) + \left( 1 - d_1 - d_2 \right) \langle v_g \rangle_{T_s} \quad (\text{ก.25})$$

$$\langle v_s \rangle_{T_s} = d_2 \langle v_{c1} \rangle_{T_s} + \langle v_g \rangle_{T_s} - d_1 \langle v_g \rangle_{T_s} \quad (\text{ก.26})$$

(ก.4)(ก.26)

$$\langle v_s \rangle_{T_s} = \left( d_1 \frac{\langle v_g \rangle_{T_s}}{\langle v_{c1} \rangle_{T_s}} \right) \langle v_{c1} \rangle_{T_s} + \langle v_g \rangle_{T_s} - d_1 \langle v_g \rangle_{T_s} \quad (\text{ก.27})$$

$$\langle v_s \rangle_{T_s} = \langle v_g \rangle_{T_s} \quad (\text{ก.28})$$

- กระแสไฟฟ้าเฉลี่ย  $\langle i_s \rangle_{T_s}$ 

$$\langle i_s \rangle_{T_s} = \frac{1}{2} (i_{L1P} + i_{L2P}) d_1 \quad (\text{ก.29})$$

(ก.1)(ก.6)(ก.29)

$$\langle i_s \rangle_{T_s} = \frac{1}{2} \left( \frac{\langle v_g \rangle_{T_s}}{L_1} d_1 T_s + \frac{\langle v_{c1} \rangle_{T_s}}{L_2} d_1 T_s \right) d_1 \quad (\text{ก.30})$$

$$\langle i_s \rangle_{T_s} = \frac{1}{2} \frac{\langle v_g \rangle_{T_s}}{L_1} d_1^2 T_s + \frac{1}{2} \frac{\langle v_{c1} \rangle_{T_s}}{L_2} d_1^2 T_s \quad (\text{ก.31})$$

(ก.19)(ก.31)

$$\langle i_s \rangle_{T_s} = \frac{1}{2} \frac{\langle v_g \rangle_{T_s}}{L_1} d_1^2 T_s + \frac{1}{2 L_2} \left( \langle v_g \rangle_{T_s} \sqrt{\frac{L_2}{L_1}} \right) d_1^2 T_s \quad (\text{ก.32})$$

$$\langle i_s \rangle_{T_s} = \frac{d_1^2 T_s}{2 L_1} \langle v_g \rangle_{T_s} + \frac{d_1^2 T_s}{2 \sqrt{L_1 L_2}} \langle v_g \rangle_{T_s} \quad (\text{ก.33})$$

$$\langle i_s \rangle_{T_s} = \frac{d_1^2 T_s}{2} \left( \frac{1}{L_1} + \frac{1}{\sqrt{L_1 L_2}} \right) \langle v_g \rangle_{T_s} \quad (\text{ก.34})$$

$$L_{es} = \frac{1}{L_1} + \frac{1}{\sqrt{L_1 L_2}} \quad (\text{ก.35})$$

(ก.34)(ก.35)

$$\langle i_s \rangle_{T_s} = \frac{d_1^2 T_s}{2 L_{es}} \langle v_g \rangle_{T_s} \quad (\text{ก.36})$$

$$R_{es} = \frac{2 L_{es}}{d_1^2 T} \quad (\text{ก.37})$$

เอกสารนี้เป็นเอกสารที่สงวนไว้สำหรับการใช้งานเพื่อการศึกษาเท่านั้น ไม่อนุญาตให้นำไปใช้ประโยชน์ด้านการค้า  
ไม่ว่ากรณีใดๆ ทั้งสิ้น อีกทั้งห้ามมิให้ดัดแปลงเนื้อหา และต้องอ้างอิงถึงเจ้าของเอกสารทุกครั้งที่มีการนำไปใช้

$$R_{e1} = \frac{2L_1}{d_1^2 T} \quad (\text{ก.38})$$

$$R_{e2} = \frac{2\sqrt{L_1 L_2}}{d_1^2 T} \quad (\text{ก.39})$$

(ก.36)(ก.37)

$$\langle i_s \rangle_{T_s} = \frac{\langle v_g \rangle_{T_s}}{R_{es}} \quad (\text{ก.40})$$

(ก.28)(ก.40)

$$\langle i_s \rangle_{T_s} = \frac{\langle v_s \rangle_{T_s}}{R_{es}} \quad (\text{ก.41})$$

(ก.33)(ก.38)(ก.39)

$$\langle i_s \rangle_{T_s} = \frac{\langle v_g \rangle_{T_s}}{R_{e1}} + \frac{\langle v_g \rangle_{T_s}}{R_{e2}} \quad (\text{ก.42})$$

(ก.28)(ก.42)

$$\langle i_s \rangle_{T_s} = \frac{\langle v_s \rangle_{T_s}}{R_{e1}} + \frac{\langle v_s \rangle_{T_s}}{R_{e2}} \quad (\text{ก.43})$$

- กำลังไฟฟ้าเฉลี่ย  $\langle p_s \rangle_{T_s}$  $\langle v_s \rangle_{T_s} \times (\text{ก.43})$ 

$$\langle p_s \rangle_{T_s} = \langle v_s \rangle_{T_s} \langle i_s \rangle_{T_s} = \frac{\langle v_s \rangle_{T_s}^2}{R_{e1}} + \frac{\langle v_s \rangle_{T_s}^2}{R_{e2}} \quad (\text{ก.44})$$

ไดโอด  $D_1$ - แรงดันไฟฟ้าเฉลี่ย  $\langle v_1 \rangle_{T_s}$ 

$$\langle v_1 \rangle_{T_s} = d_1 (\langle v_g \rangle_{T_s} + \langle v_{c1} \rangle_{T_s}) + d_2 \cdot 0 + d_3 (\langle v_{c1} \rangle_{T_s}) \quad (\text{ก.45})$$

(ก.21)(ก.45)

$$\langle v_1 \rangle_{T_s} = d_1 \langle v_g \rangle_{T_s} + d_1 \langle v_{c1} \rangle_{T_s} + \langle v_{c1} \rangle_{T_s} - d_1 \langle v_{c1} \rangle_{T_s} - d_2 \langle v_{c1} \rangle_{T_s} \quad (\text{ก.46})$$

เอกสารนี้เป็นเอกสารที่สงวนลิขสิทธิ์ไว้เพื่อใช้ในการศึกษาเท่านั้น ไม่อนุญาตให้เผยแพร่ไปใช้ประโยชน์ด้านการค้า  
ไม่ว่ากรณีใดๆ ทั้งสิ้น อีกทั้งห้ามมิให้ตัดแปลงเนื้อหา และต้องอ้างอิงถึงเจ้าของเอกสารทุกครั้งที่มีการนำไปใช้

$$\langle v_1 \rangle_{T_s} = d_1 \langle v_g \rangle_{T_s} + \langle v_{C1} \rangle_{T_s} - d_2 \langle v_{C1} \rangle_{T_s} \quad (\text{ก.47})$$

(ก.4)(ก.47)

$$\langle v_1 \rangle_{T_s} = d_1 \langle v_g \rangle_{T_s} + \langle v_{C1} \rangle_{T_s} - \left( d_1 \frac{\langle v_g \rangle_{T_s}}{\langle v_{C1} \rangle_{T_s}} \right) \langle v_{C1} \rangle_{T_s} \quad (\text{ก.48})$$

$$\langle v_1 \rangle_{T_s} = \langle v_{C1} \rangle_{T_s} \quad (\text{ก.49})$$

(ก.19)(ก.49)

$$\langle v_1 \rangle_{T_s} = \langle v_g \rangle_{T_s} \sqrt{\frac{L_2}{L_1}} \quad (\text{ก.50})$$

(ก.28)(ก.50)

$$\langle v_1 \rangle_{T_s} = \langle v_s \rangle_{T_s} \sqrt{\frac{L_2}{L_1}} \quad (\text{ก.51})$$

$$k = \sqrt{\frac{L_2}{L_1}} \quad (\text{ก.52})$$

$$\langle v_1 \rangle_{T_s} = k \langle v_g \rangle_{T_s} \quad (\text{ก.53})$$

- กระแสไฟฟ้าเฉลี่ย  $\langle i_1 \rangle_{T_s}$ 

$$\langle i_1 \rangle_{T_s} = \frac{1}{2} (i_{LP}) d_2 \quad (\text{ก.54})$$

(ก.1)(ก.54)

$$\langle i_1 \rangle_{T_s} = \frac{1}{2} \left( \frac{\langle v_g \rangle_{T_s}}{L_1} d_1 T_s \right) d_2 \quad (\text{ก.55})$$

$$\langle i_1 \rangle_{T_s} = \frac{d_1 d_2 T_s}{2L_1} \langle v_g \rangle_{T_s} \quad (\text{ก.56})$$

(ก.4)(ก.56)

$$\langle i_1 \rangle_{T_s} = \frac{d_1 T_s}{2L_1} \left( d_1 \frac{\langle v_g \rangle_{T_s}}{\langle v_{C1} \rangle_{T_s}} \right) \langle v_g \rangle_{T_s} \quad (\text{ก.57})$$

เอกสารนี้เป็นเอกสารที่สงวนไว้สำหรับการใช้งานเพื่อการศึกษาเท่านั้น ไม่อนุญาตให้นำไปใช้ประโยชน์ด้านการค้า ไม่ว่าจะกรณีใดๆ ทั้งสิ้น อีกทั้งห้ามมิให้ดัดแปลงเนื้อหา และต้องอ้างอิงถึงเจ้าของเอกสารทุกครั้งที่มีการนำไปใช้

$$\langle i_1 \rangle_{T_s} = \frac{d_1^2 T_s \langle v_g \rangle_{T_s}^2}{2L_1 \langle v_{c1} \rangle_{T_s}} \quad (\text{ก.58})$$

(ก.19)(ก.58)

$$\langle i_1 \rangle_{T_s} = \frac{d_1^2 T_s \langle v_g \rangle_{T_s}^2}{2L_1 \langle v_g \rangle_{T_s}} \sqrt{\frac{L_1}{L_2}} \quad (\text{ก.59})$$

$$\langle i_1 \rangle_{T_s} = \frac{d_1^2 T_s}{2\sqrt{L_1 L_2}} \langle v_g \rangle_{T_s} \quad (\text{ก.60})$$

(ก.39)(ก.60)

$$\langle i_1 \rangle_{T_s} = \frac{\langle v_g \rangle_{T_s}}{R_{e2}} \quad (\text{ก.61})$$

(ก.28)(ก.61)

$$\langle i_1 \rangle_{T_s} = \frac{\langle v_s \rangle_{T_s}}{R_{e2}} \quad (\text{ก.62})$$

(ก.19)(ก.58)

$$\langle i_1 \rangle_{T_s} = \frac{d_1^2 T_s \langle v_{c1} \rangle_{T_s}^2 L_1}{2L_1 \langle v_{c1} \rangle_{T_s} L_2} \quad (\text{ก.63})$$

$$\langle i_1 \rangle_{T_s} = \frac{d_1^2 T_s}{2L_2} \langle v_{c1} \rangle_{T_s} \quad (\text{ก.64})$$

(ก.49)(ก.64)

$$\langle i_1 \rangle_{T_s} = \frac{d_1^2 T_s}{2L_2} \langle v_1 \rangle_{T_s} \quad (\text{ก.65})$$

$$\langle i_1 \rangle_{T_s} = \frac{\langle v_1 \rangle_{T_s}}{R_{e3}} \quad (\text{ก.66})$$

$$R_{e3} = \frac{2L_2}{d_1^2 T_s} \quad (\text{ก.67})$$

(ก.49)(ก.58)

เอกสารนี้เป็นเอกสารที่สงวนไว้สำหรับการใช้งานเพื่อการศึกษาเท่านั้น ไม่อนุญาตให้นำไปใช้ประโยชน์ด้านการค้า ไม่ว่าจะกรณีใดๆ ทั้งสิ้น อีกทั้งห้ามมิให้ดัดแปลงเนื้อหา และต้องอ้างอิงถึงเจ้าของเอกสารทุกครั้งที่มีการนำไปใช้

$$\langle i_1 \rangle_{T_s} = \frac{d_1^2 T_s \langle v_g \rangle_{T_s}^2}{2L_1 \langle v_1 \rangle_{T_s}} \quad (\text{ก.68})$$

- กำลังไฟฟ้าเฉลี่ย  $\langle p_1 \rangle_{T_s}$

$$\langle v_1 \rangle_{T_s} \times (\text{ก.68})$$

$$\langle p_1 \rangle_{T_s} = \langle v_1 \rangle_{T_s} \langle i_1 \rangle_{T_s} = \frac{d_1^2 T_s \langle v_g \rangle_{T_s}^2}{2L_1} \quad (\text{ก.69})$$

(ก.28)(ก.69)

$$\langle p_1 \rangle_{T_s} = \frac{d_1^2 T_s \langle v_s \rangle_{T_s}^2}{2L_1} \quad (\text{ก.70})$$

(ก.38)(ก.70)

$$\langle p_1 \rangle_{T_s} = \frac{\langle v_s \rangle_{T_s}^2}{R_{e1}} \quad (\text{ก.71})$$

ไดโอด Port D<sub>2</sub>

- แรงดันไฟฟ้าเฉลี่ย  $\langle v_2 \rangle_{T_s}$

$$\langle v_2 \rangle_{T_s} = d_1 \cdot 0 + d_2 \left( \langle v_g \rangle_{T_s} - \langle v_{C2} \rangle_{T_s} \right) + d_3 \left( \langle v_g \rangle_{T_s} - \langle v_{C1} \rangle_{T_s} \right) \quad (\text{ก.72})$$

(ก.21)(ก.72)

$$\langle v_2 \rangle_{T_s} = d_2 \langle v_g \rangle_{T_s} - d_2 \langle v_{C2} \rangle_{T_s} + \langle v_g \rangle_{T_s} - d_1 \langle v_g \rangle_{T_s} - d_2 \langle v_g \rangle_{T_s} - \langle v_{C1} \rangle_{T_s} + d_1 \langle v_{C1} \rangle_{T_s} + d_2 \langle v_{C1} \rangle_{T_s} \quad (\text{ก.73})$$

$$\langle v_2 \rangle_{T_s} = -d_2 \langle v_{C2} \rangle_{T_s} + \langle v_g \rangle_{T_s} - d_1 \langle v_g \rangle_{T_s} - \langle v_{C1} \rangle_{T_s} + d_1 \langle v_{C1} \rangle_{T_s} + d_2 \langle v_{C1} \rangle_{T_s} \quad (\text{ก.74})$$

(ก.4)(ก.74)

$$\langle v_2 \rangle_{T_s} = -d_2 \langle v_{C2} \rangle_{T_s} + \langle v_g \rangle_{T_s} - d_1 \langle v_g \rangle_{T_s} - \langle v_{C1} \rangle_{T_s} + d_1 \langle v_{C1} \rangle_{T_s} + \left( d_1 \frac{\langle v_g \rangle_{T_s}}{\langle v_{C1} \rangle_{T_s}} \right) \langle v_{C1} \rangle_{T_s} \quad (\text{ก.75})$$

$$\langle v_2 \rangle_{T_s} = -d_2 \langle v_{C2} \rangle_{T_s} + \langle v_g \rangle_{T_s} - \langle v_{C1} \rangle_{T_s} + d_1 \langle v_{C1} \rangle_{T_s} \quad (\text{ก.76})$$

เอกสารนี้เป็นเอกสารที่สงวนไว้สำหรับการใช้งานเพื่อการศึกษาเท่านั้น ไม่อนุญาตให้นำไปใช้ประโยชน์ด้านการค้าไม่ว่ากรณีใดๆ ทั้งสิ้น อีกทั้งห้ามมิให้ตัดแปลงเนื้อหา และต้องอ้างอิงถึงเจ้าของเอกสารทุกครั้งที่มีการนำไปใช้

(ก.9)(ก.76)

$$\langle v_2 \rangle_{T_s} = - \left( d_1 \frac{\langle v_{C1} \rangle_{T_s}}{\langle v_{C2} \rangle_{T_s}} \right) \langle v_{C2} \rangle_{T_s} + \langle v_g \rangle_{T_s} - \langle v_{C1} \rangle_{T_s} + d_1 \langle v_{C1} \rangle_{T_s} \quad (\text{ก.77})$$

$$\langle v_2 \rangle_{T_s} = \langle v_g \rangle_{T_s} - \langle v_{C1} \rangle_{T_s} \quad (\text{ก.78})$$

(ก.19)(ก.78)

$$\langle v_2 \rangle_{T_s} = \langle v_g \rangle_{T_s} - \langle v_g \rangle_{T_s} \sqrt{\frac{L_2}{L_1}} \quad (\text{ก.79})$$

$$\langle v_2 \rangle_{T_s} = \left( 1 - \sqrt{\frac{L_2}{L_1}} \right) \langle v_g \rangle_{T_s} \quad (\text{ก.80})$$

(ก.52)(ก.80)

$$\langle v_2 \rangle_{T_s} = (1-k) \langle v_g \rangle_{T_s} \quad (\text{ก.81})$$

(ก.28)(ก.81)

$$\langle v_2 \rangle_{T_s} = (1-k) \langle v_s \rangle_{T_s} \quad (\text{ก.82})$$

- กระแสไฟฟ้าเฉลี่ย  $\langle i_2 \rangle_{T_s}$ 

$$\langle i_2 \rangle_{T_s} = \frac{1}{2} (i_{L2p}) d_1 \quad (\text{ก.83})$$

(ก.6)(ก.83)

$$\langle i_2 \rangle_{T_s} = \frac{1}{2} \left( \frac{\langle v_{C1} \rangle_{T_s}}{L_2} d_1 T_s \right) d_1 \quad (\text{ก.84})$$

$$\langle i_2 \rangle_{T_s} = \frac{d_1^2 T_s}{2L_2} \langle v_{C1} \rangle_{T_s} \quad (\text{ก.85})$$

(ก.19)(ก.85)

$$\langle i_2 \rangle_{T_s} = \frac{d_1^2 T_s}{2L_2} \left( \langle v_g \rangle_{T_s} \sqrt{\frac{L_2}{L_1}} \right) \quad (\text{ก.86})$$

$$\langle i_2 \rangle_{T_s} = \frac{d_1^2 T_s}{2\sqrt{L_1 L_2}} \langle v_g \rangle_{T_s} \quad (\text{ก.87})$$

เอกสารนี้เป็นเอกสารที่สงวนไว้สำหรับการใช้งานเพื่อการศึกษาเท่านั้น ไม่อนุญาตให้นำไปใช้ประโยชน์ด้านการค้า ไม่ว่ากรณีใดๆ ทั้งสิ้น อีกทั้งห้ามมิให้ดัดแปลงเนื้อหา และต้องอ้างอิงถึงเจ้าของเอกสารทุกครั้งที่มีการนำไปใช้

(ก.39)(ก.87)

$$\langle i_2 \rangle_{T_s} = \frac{d_1^2 T_s}{2\sqrt{L_1 L_2}} \langle v_s \rangle_{T_s} \quad (\text{ก.88})$$

(ก.28)(ก.88)

$$\langle i_2 \rangle_{T_s} = \frac{\langle v_s \rangle_{T_s}}{R_{e2}} \quad (\text{ก.89})$$

- กำลังไฟฟ้าเฉลี่ย  $\langle p_2 \rangle_{T_s}$ 

(ก.78)(ก.85)

$$\langle p_2 \rangle_{T_s} = \langle v_2 \rangle_{T_s} \langle i_2 \rangle_{T_s} = \left( \langle v_g \rangle_{T_s} - \langle v_{c1} \rangle_{T_s} \right) \frac{d_1^2 T_s}{2L_2} \langle v_{c1} \rangle_{T_s} \quad (\text{ก.90})$$

$$\langle p_2 \rangle_{T_s} = \frac{d_1^2 T_s}{2L_2} \langle v_g \rangle_{T_s} \langle v_{c1} \rangle_{T_s} - \frac{d_1^2 T_s}{2L_2} \langle v_{c1} \rangle_{T_s}^2 \quad (\text{ก.91})$$

(ก.19)(ก.91)

$$\langle p_2 \rangle_{T_s} = \frac{d_1^2 T_s}{2L_2} \sqrt{\frac{L_2}{L_1}} \langle v_g \rangle_{T_s}^2 - \frac{d_1^2 T_s L_2}{2L_2 L_1} \langle v_{c1} \rangle_{T_s}^2 \quad (\text{ก.92})$$

$$\langle p_2 \rangle_{T_s} = \frac{d_1^2 T_s}{2\sqrt{L_1 L_2}} \langle v_g \rangle_{T_s}^2 - \frac{d_1^2 T_s}{2L_1} \langle v_{c1} \rangle_{T_s}^2 \quad (\text{ก.93})$$

$$\langle p_2 \rangle_{T_s} = \frac{\langle v_g \rangle_{T_s}^2}{R_{e2}} - \frac{\langle v_g \rangle_{T_s}^2}{R_{e1}} \quad (\text{ก.94})$$

(ก.28)(ก.94)

$$\langle p_2 \rangle_{T_s} = \frac{\langle v_s \rangle_{T_s}^2}{R_{e2}} - \frac{\langle v_s \rangle_{T_s}^2}{R_{e1}} \quad (\text{ก.95})$$

ไดโอด  $D_3$ - แรงดันไฟฟ้าเฉลี่ย  $\langle v_3 \rangle_{T_s}$ 

$$\langle v_3 \rangle_{T_s} = d_1 (\langle v_{c1} \rangle_{T_s} + \langle v_{c2} \rangle_{T_s}) + d_2 \cdot 0 + d_3 (\langle v_{c2} \rangle_{T_s}) \quad (\text{ก.96})$$

เอกสารนี้เป็นเอกสารที่สงวนไว้สำหรับการใช้งานเพื่อการศึกษาเท่านั้น ไม่อนุญาตให้นำไปใช้ประโยชน์ด้านการค้า ไม่ว่าจะกรณีใดๆ ทั้งสิ้น อีกทั้งห้ามมิให้ดัดแปลงเนื้อหา และต้องอ้างอิงถึงเจ้าของเอกสารทุกครั้งที่มีการนำไปใช้

(ก.21)(ก.96)

$$\langle v_3 \rangle_{T_s} = d_1 \langle v_{c1} \rangle_{T_s} + d_1 \langle v_{c2} \rangle_{T_s} + \langle v_{c2} \rangle_{T_s} - d_1 \langle v_{c2} \rangle_{T_s} - d_2 \langle v_{c2} \rangle_{T_s} \quad (\text{ก.97})$$

$$\langle v_3 \rangle_{T_s} = d_1 \langle v_{c1} \rangle_{T_s} + \langle v_{c2} \rangle_{T_s} - d_2 \langle v_{c2} \rangle_{T_s} \quad (\text{ก.98})$$

(ก.4)(ก.98)

$$\langle v_3 \rangle_{T_s} = d_1 \langle v_{c1} \rangle_{T_s} + \langle v_{c2} \rangle_{T_s} - \left( d_1 \frac{\langle v_{c1} \rangle_{T_s}}{\langle v_{c2} \rangle_{T_s}} \right) \langle v_{c2} \rangle_{T_s} \quad (\text{ก.99})$$

$$\langle v_3 \rangle_{T_s} = \langle v_{c2} \rangle_{T_s} \quad (\text{ก.100})$$

(ก.10)(ก.100)

$$\langle v_3 \rangle_{T_s} = \langle v \rangle_{T_s} \quad (\text{ก.101})$$

- กระแสไฟฟ้าเฉลี่ย  $\langle i_3 \rangle_{T_s}$ 

$$\langle i_3 \rangle_{T_s} = \frac{1}{2} (i_{L2P}) d_2 \quad (\text{ก.102})$$

(ก.6)(ก.102)

$$\langle i_3 \rangle_{T_s} = \frac{1}{2} \left( \frac{\langle v_{c1} \rangle_{T_s}}{L_2} d_1 T_s \right) d_2 \quad (\text{ก.103})$$

$$\langle i_3 \rangle_{T_s} = \frac{d_1 d_2 T_s}{2L_2} \langle v_{c1} \rangle_{T_s} \quad (\text{ก.104})$$

(ก.4)(ก.104)

$$\langle i_3 \rangle_{T_s} = \frac{d_1 T_s}{2L_2} \left( d_1 \frac{\langle v_g \rangle_{T_s}}{\langle v_{c1} \rangle_{T_s}} \right) \langle v_{c1} \rangle_{T_s} \quad (\text{ก.105})$$

$$\langle i_3 \rangle_{T_s} = \frac{d_1^2 T_s}{2L_2} \langle v_g \rangle_{T_s} \quad (\text{ก.106})$$

$$R_{e3} = \frac{2L_2}{d_1^2 T_s} \quad (\text{ก.107})$$

(ก.106)(ก.107)

เอกสารนี้เป็นเอกสารที่สงวนไว้สำหรับการใช้งานเพื่อการศึกษาเท่านั้น ไม่อนุญาตให้นำไปใช้ประโยชน์ด้านการค้า  
ไม่ว่ากรณีใดๆ ทั้งสิ้น อีกทั้งห้ามมิให้ดัดแปลงเนื้อหา และต้องอ้างอิงถึงเจ้าของเอกสารทุกครั้งที่มีการนำไปใช้

$$\langle i_3 \rangle_{T_s} = \frac{\langle v_g \rangle_{T_s}}{R_{e3}} \quad (\text{ก.108})$$

(ก.28)(ก.108)

$$\langle i_3 \rangle_{T_s} = \frac{\langle v_s \rangle_{T_s}}{R_{e3}} \quad (\text{ก.109})$$

$$(\text{ก.106}) \times \frac{\langle v_g \rangle_{T_s}}{\langle v_g \rangle_{T_s}}$$

$$\langle i_3 \rangle_{T_s} = \frac{d_1^2 T_s}{2L_2} \langle v_g \rangle_{T_s} \left( \frac{\langle v_g \rangle_{T_s}}{\langle v_g \rangle_{T_s}} \right) \quad (\text{ก.110})$$

$$\langle i_3 \rangle_{T_s} = \frac{d_1^2 T_s}{2L_2} \frac{\langle v_g \rangle_{T_s}^2}{\langle v_g \rangle_{T_s}} \quad (\text{ก.111})$$

(ก.23)(ก.111)

$$\langle i_3 \rangle_{T_s} = \frac{d_1^2 T_s}{2L_2} \frac{\langle v_g \rangle_{T_s}^2}{\langle v \rangle_{T_s}} \left( \frac{d_1}{d_2} \right)^2 \quad (\text{ก.112})$$

(ก.18)(ก.112)

$$\langle i_3 \rangle_{T_s} = \frac{d_1^2 T_s}{2L_2} \frac{\langle v_g \rangle_{T_s}^2}{\langle v \rangle_{T_s}} \frac{L_2}{L_1} \quad (\text{ก.113})$$

$$\langle i_3 \rangle_{T_s} = \frac{d_1^2 T_s}{2L_1} \frac{\langle v_g \rangle_{T_s}^2}{\langle v \rangle_{T_s}} \quad (\text{ก.114})$$

(ก.101)(ก.114)

$$\langle i_3 \rangle_{T_s} = \frac{d_1^2 T_s}{2L_1} \frac{\langle v_g \rangle_{T_s}^2}{\langle v_3 \rangle_{T_s}} \quad (\text{ก.115})$$

(ก.38)(ก.115)

$$\langle i_3 \rangle_{T_s} = \frac{1}{R_{e1}} \frac{\langle v_g \rangle_{T_s}^2}{\langle v_3 \rangle_{T_s}} \quad (\text{ก.116})$$

(ก.28)(ก.116)  
เอกสารนี้เป็นเอกสารที่สงวนไว้สำหรับการใช้งานเพื่อการศึกษาเท่านั้น ไม่อนุญาตให้นำไปใช้ประโยชน์ด้านการค้า  
ไม่ว่ากรณีใดๆ ทั้งสิ้น อีกทั้งห้ามมิให้ดัดแปลงเนื้อหา และต้องอ้างอิงถึงเจ้าของเอกสารทุกครั้งที่มีการนำไปใช้

$$\langle i_3 \rangle_{T_s} = \frac{1}{R_{e1}} \frac{\langle v_s \rangle_{T_s}^2}{\langle v_3 \rangle_{T_s}} \quad (\text{ก.117})$$

- กำลังไฟฟ้าเฉลี่ย  $\langle p_3 \rangle_{T_s}$

$$\langle v_3 \rangle_{T_s} \times (\text{ก.104})$$

$$\langle p_3 \rangle_{T_s} = \langle v_3 \rangle_{T_s} \langle i_3 \rangle_{T_s} = \langle v_3 \rangle_{T_s} \left( \frac{d_1 d_2 T_s}{2L_2} \langle v_{C1} \rangle_{T_s} \right) \quad (\text{ก.118})$$

(ก.100)(ก.118)

$$\langle p_3 \rangle_{T_s} = \frac{d_1 d_2 T_s}{2L_2} \langle v_{C1} \rangle_{T_s} \langle v_{C2} \rangle_{T_s} \quad (\text{ก.119})$$

(ก.11)(ก.119)

$$\langle p_3 \rangle_{T_s} = \frac{d_1 T_s}{2L_2} \left( d_1 \frac{\langle v_{C1} \rangle_{T_s}}{\langle v_{C2} \rangle_{T_s}} \right) \langle v_{C1} \rangle_{T_s} \langle v_{C2} \rangle_{T_s} \quad (\text{ก.120})$$

$$\langle p_3 \rangle_{T_s} = \frac{d_1^2 T_s}{2L_2} \langle v_{C1} \rangle_{T_s}^2 \quad (\text{ก.121})$$

(ก.19)(ก.121)

$$\langle p_3 \rangle_{T_s} = \frac{d_1^2 T_s}{2L_2} \langle v_g \rangle_{T_s}^2 \frac{L_2}{L_1} \quad (\text{ก.122})$$

$$\langle p_3 \rangle_{T_s} = \frac{d_1^2 T_s}{2L_1} \langle v_g \rangle_{T_s}^2 \quad (\text{ก.123})$$

(ก.28)(ก.123)

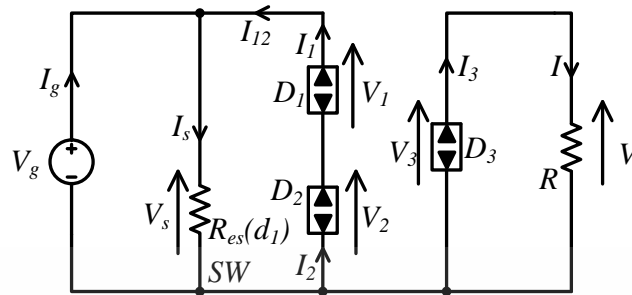
$$\langle p_3 \rangle_{T_s} = \frac{d_1^2 T_s}{2L_1} \langle v_s \rangle_{T_s}^2 \quad (\text{ก.124})$$

(ก.38)(ก.124)

$$\langle p_3 \rangle_{T_s} = \frac{\langle v_s \rangle_{T_s}^2}{R_{e1}} \quad (\text{ก.125})$$

เอกสารนี้เป็นเอกสารที่สงวนไว้สำหรับการใช้งานเพื่อการศึกษาเท่านั้น ไม่อนุญาตให้นำไปใช้ประโยชน์ด้านการค้า  
ไม่ว่ากรณีใดๆ ทั้งสิ้น อีกทั้งห้ามมิให้ดัดแปลงเนื้อหา และต้องอ้างอิงถึงเจ้าของเอกสารทุกครั้งที่มีการนำไปใช้

## ก.2 การวิเคราะห์วงจรจำลองชนิดตีซี



รูปที่ ก.2 แบบจำลองชนิดตีซีของส่วนจ่ายแรงดันไฟฟ้าตรง

$$P_3 = P_{out} = \frac{V^2}{R} \quad (\text{ก.126})$$

(ก.125)

$$P_3 = \frac{V_s^2}{R_{e1}} \quad (\text{ก.127})$$

(ก.126)(ก.127)

$$\frac{V_s^2}{R_{e1}} = \frac{V^2}{R} \quad (\text{ก.128})$$

$$\frac{V}{V_s} = \sqrt{\frac{R}{R_{e1}}} \quad (\text{ก.129})$$

(ก.28)(ก.38)(ก.129)

$$\frac{V}{V_g} = \sqrt{\frac{RD_1^2 T_s}{2L_1}} \quad (\text{ก.130})$$

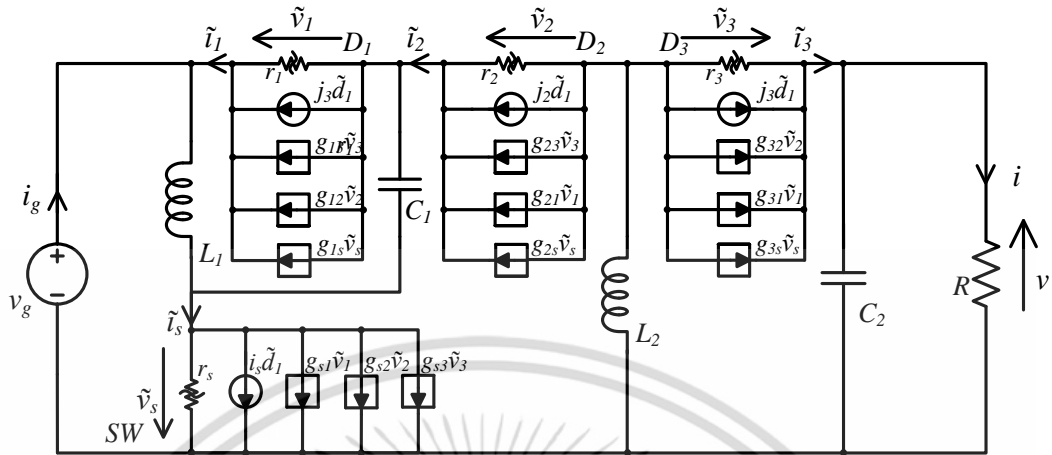
$$\frac{V}{V_g} = D_1 \sqrt{\frac{RT_s}{2L_1}} = M(D_1) \quad (\text{ก.131})$$

(ก.28)(ก.101)(ก.131)

$$\frac{V_3}{V_s} = D_1 \sqrt{\frac{RT_s}{2L_1}} = M(D_1) \quad (\text{ก.132})$$

เอกสารนี้เป็นเอกสารที่สงวนไว้สำหรับการใช้งานเพื่อการศึกษาเท่านั้น ไม่อนุญาตให้นำไปใช้ประโยชน์ด้านการค้า ไม่ว่าจะกรณีใดๆ ทั้งสิ้น อีกทั้งห้ามมิให้ดัดแปลงเนื้อหา และต้องอ้างอิงถึงเจ้าของเอกสารทุกครั้งที่มีการนำไปใช้

### ก.3 การวิเคราะห์วงจรจำลองชนิดเอซีสัญญาณขนาดเล็ก



รูปที่ ก.3 แบบจำลองเชิงความถี่ชนิดสัญญาณรบกวนขนาดเล็กของส่วนจ่ายแรงดันไฟฟ้าตรง

สวิตช์ SW

$$\langle i_s \rangle_{T_s} = \frac{\langle v_s \rangle_{T_s}}{R_{es}(d_1)} = f_s(\langle v_s \rangle_{T_s}, \langle v_1 \rangle_{T_s}, \langle v_2 \rangle_{T_s}, \langle v_3 \rangle_{T_s}, d_1) \quad (\text{ก.133})$$

$$\begin{aligned} I_s + \tilde{i}_s = f_s(V_s, V_1, V_2, V_3, D_1) + \tilde{v}_s \left. \frac{\partial f_s(V_s, V_1, V_2, V_3, D_1)}{\partial v_s} \right|_{v_s=V_s} \\ + \tilde{v}_1 \left. \frac{\partial f_s(V_s, v_1, V_2, V_3, D_1)}{\partial v_1} \right|_{v_1=V_1} + \tilde{v}_2 \left. \frac{\partial f_s(V_s, V_1, v_2, V_3, D_1)}{\partial v_2} \right|_{v_2=V_2} \\ + \tilde{v}_3 \left. \frac{\partial f_s(V_s, V_1, V_2, v_3, D_1)}{\partial v_3} \right|_{v_3=V_3} + \tilde{d}_1 \left. \frac{\partial f_s(V_s, V_1, V_2, V_3, d_1)}{\partial d_1} \right|_{d_1=D_1} \\ + \text{higher-order nonlinear terms} \end{aligned} \quad (\text{ก.134})$$

$$I_s = f_s(V_s, V_1, V_2, V_3, D_1) = \frac{V_s}{R_{es}(D_1)} \quad (\text{ก.135})$$

$$\tilde{i}_s = \frac{\tilde{v}_s}{r_s} + g_{s1} \tilde{v}_1 + g_{s2} \tilde{v}_2 + g_{s3} \tilde{v}_3 + j_s \tilde{d}_1 \quad (\text{ก.136})$$

$$\frac{1}{r_s} = \left. \frac{\partial f_s(V_s, V_1, V_2, V_3, D_1)}{\partial v_s} \right|_{v_s=V_s} \quad (\text{ก.137})$$

$$\frac{1}{r_s} = \left. \frac{\partial}{\partial v_s} \left( \frac{v_s}{R_{es}(D_1)} \right) \right|_{v_s=V_s} \quad (\text{ก.138})$$

เอกสารนี้เป็นเอกสารที่สงวนไว้สำหรับการใช้งานเพื่อการศึกษาเท่านั้น ไม่อนุญาตให้นำไปใช้ประโยชน์ด้านการค้า ไม่ว่าจะกรณีใดๆ ทั้งสิ้น อีกทั้งห้ามมิให้ดัดแปลงเนื้อหา และต้องอ้างอิงถึงเจ้าของเอกสารทุกครั้งที่มีการนำไปใช้

$$\frac{1}{r_s} = \frac{1}{R_{es}(D_1)} \quad (\text{ก.139})$$

$$r_s = R_{es}(D_1) \quad (\text{ก.140})$$

$$g_{s1} = \left. \frac{\partial f_s(V_s, v_1, V_2, V_3, D_1)}{\partial v_1} \right|_{v_1=V_1} \quad (\text{ก.141})$$

$$g_{s1} = \left. \frac{\partial}{\partial v_1} \left( \frac{v_s}{R_{es}(D_1)} \right) \right|_{v_1=V_1} = 0 \quad (\text{ก.142})$$

$$g_{s2} = \left. \frac{\partial f_s(V_s, V_1, v_2, V_3, D_1)}{\partial v_2} \right|_{v_2=V_2} \quad (\text{ก.143})$$

$$g_{s2} = \left. \frac{\partial}{\partial v_2} \left( \frac{v_s}{R_{es}(D_1)} \right) \right|_{v_2=V_2} = 0 \quad (\text{ก.144})$$

$$g_{s3} = \left. \frac{\partial f_s(V_s, V_1, V_2, v_3, D_1)}{\partial v_3} \right|_{v_3=V_3} \quad (\text{ก.145})$$

$$g_{s3} = \left. \frac{\partial}{\partial v_3} \left( \frac{v_s}{R_{es}(D_1)} \right) \right|_{v_3=V_3} = 0 \quad (\text{ก.146})$$

$$j_s = \left. \frac{\partial f_s(V_s, V_1, V_2, V_3, d_1)}{\partial d_1} \right|_{d_1=D_1} \quad (\text{ก.147})$$

$$j_s = \left. \frac{\partial}{\partial d_1} \left( \frac{V_s}{R_{es}(d_1)} \right) \right|_{d_1=D_1} \quad (\text{ก.148})$$

$$j_s = \left[ \left( -\frac{V_s}{R_{es}(d_1)^2} \right) \left( \frac{\partial R_{es}(d_1)}{\partial d_1} \right) \right]_{d_1=D_1} \quad (\text{ก.149})$$

$$j_s = \left[ \left( -\frac{V_s}{R_{es}(d_1)^2} \right) \left( \frac{\partial}{\partial d_1} \left( \frac{2L_{es}}{d_1^2 T_s} \right) \right) \right]_{d_1=D_1} \quad (\text{ก.150})$$

$$j_s = \left[ \left( -\frac{V_s}{R_{es}(d_1)^2} \right) \left( \frac{2L_{es}}{T_s} \right) \left( -\frac{2}{d_1^3} \right) \right]_{d_1=D_1} \quad (\text{ก.151})$$

$$j_s = \left[ \left( \frac{V_s}{R_{es}(d_1)^2} \right) \left( \frac{2L_{es}}{d_1^2 T_s} \right) \left( \frac{2}{d_1} \right) \right]_{d_1=D_1} \quad (\text{ก.152})$$

เอกสารนี้เป็นเอกสารที่สงวนไว้สำหรับการใช้งานเพื่อการศึกษาเท่านั้น ไม่อนุญาตให้นำไปใช้ประโยชน์ด้านการค้า ไม่ว่าจะกรณีใดๆ ทั้งสิ้น อีกทั้งห้ามมิให้ดัดแปลงเนื้อหา และต้องอ้างอิงถึงเจ้าของเอกสารทุกครั้งที่มีการนำไปใช้

$$j_s = \left( \frac{V_s}{R_{es}(D_1)^2} \right) (R_{es}(D_1)) \left( \frac{2}{D_1} \right) \quad (\text{ก.153})$$

$$j_s = \frac{2V_s}{R_{es}(D_1)D_1} \quad (\text{ก.154})$$

$$j_s = \frac{2V_g}{R_{es}(D_1)D_1} \quad (\text{ก.155})$$

ไดโอด D1

$$\langle i_1 \rangle_{T_s} = \frac{\langle v_1 \rangle_{T_s}}{R_{e3}(d_1)} = f_1(\langle v_s \rangle_{T_s}, \langle v_1 \rangle_{T_s}, \langle v_2 \rangle_{T_s}, \langle v_3 \rangle_{T_s}, d_1) \quad (\text{ก.156})$$

$$\begin{aligned} I_1 + \tilde{i}_1 = & f_1(V_s, V_1, V_2, V_3, D_1) + \tilde{v}_s \left. \frac{\partial f_1(v_s, V_1, V_2, V_3, D_1)}{\partial v_s} \right|_{v_s=V_s} \\ & + \tilde{v}_1 \left. \frac{\partial f_1(V_s, v_1, V_2, V_3, D_1)}{\partial v_1} \right|_{v_1=V_1} + \tilde{v}_2 \left. \frac{\partial f_1(V_s, V_1, v_2, V_3, D_1)}{\partial v_2} \right|_{v_2=V_2} \\ & + \tilde{v}_3 \left. \frac{\partial f_1(V_s, V_1, V_2, v_3, D_1)}{\partial v_3} \right|_{v_3=V_3} + \tilde{d}_1 \left. \frac{\partial f_1(V_s, V_1, V_2, V_3, d_1)}{\partial d_1} \right|_{d_1=D_1} \\ & + \text{higher-order nonlinear terms} \end{aligned} \quad (\text{ก.157})$$

$$I_1 = f_1(V_s, V_1, V_2, V_3, D_1) = \frac{V_1}{R_{e3}(D_1)} \quad (\text{ก.158})$$

$$\tilde{i}_1 = g_{1s}\tilde{v}_s + \frac{\tilde{v}_1}{r_1} + g_{12}\tilde{v}_2 + g_{13}\tilde{v}_3 + j_1\tilde{d}_1 \quad (\text{ก.159})$$

$$g_{1s} = \left. \frac{\partial f_1(v_s, V_1, V_2, V_3, D_1)}{\partial v_s} \right|_{v_s=V_s} \quad (\text{ก.160})$$

$$g_{1s} = \left. \frac{\partial}{\partial v_s} \left( \frac{V_1}{R_{e3}(D_1)} \right) \right|_{v_s=V_s} = 0 \quad (\text{ก.161})$$

$$\frac{1}{r_1} = \left. \frac{\partial f_1(V_s, v_1, V_2, V_3, D_1)}{\partial v_1} \right|_{v_1=V_1} \quad (\text{ก.162})$$

$$\frac{1}{r_1} = \left. \frac{\partial}{\partial v_1} \left( \frac{v_1}{R_{e3}(D_1)} \right) \right|_{v_1=V_1} \quad (\text{ก.163})$$

เอกสารนี้เป็นเอกสารที่สงวนไว้สำหรับการใช้งานเพื่อการศึกษาเท่านั้น ไม่อนุญาตให้นำไปใช้ประโยชน์ด้านการค้า ไม่ว่าจะกรณีใดๆ ทั้งสิ้น อีกทั้งห้ามมิให้ดัดแปลงเนื้อหา และต้องอ้างอิงถึงเจ้าของเอกสารทุกครั้งที่มีการนำไปใช้

$$\frac{1}{r_1} = \frac{1}{R_{e3}(D_1)} \quad (\text{ก.164})$$

$$r_1 = R_{e3}(D_1) \quad (\text{ก.165})$$

$$g_{12} = \left. \frac{\partial f_1(V_s, V_1, v_2, V_3, D_1)}{\partial v_2} \right|_{v_2=V_2} \quad (\text{ก.166})$$

$$g_{12} = \left. \frac{\partial}{\partial v_2} \left( \frac{V_1}{R_{e3}(D_1)} \right) \right|_{v_2=V_2} = 0 \quad (\text{ก.167})$$

$$g_{13} = \left. \frac{\partial f_1(V_s, V_1, V_2, v_3, D_1)}{\partial v_3} \right|_{v_3=V_3} \quad (\text{ก.168})$$

$$g_{13} = \left. \frac{\partial}{\partial v_3} \left( \frac{V_1}{R_{e3}(D_1)} \right) \right|_{v_3=V_3} = 0 \quad (\text{ก.169})$$

$$j_1 = \left. \frac{\partial f_1(V_s, V_1, V_2, V_3, d_1)}{\partial d_1} \right|_{d_1=D_1} \quad (\text{ก.170})$$

$$j_1 = \left. \frac{\partial}{\partial d_1} \left( \frac{V_1}{R_{e3}(d_1)} \right) \right|_{d_1=D_1} \quad (\text{ก.171})$$

$$j_1 = \left[ \left( -\frac{V_1}{R_{e3}(d_1)^2} \right) \left( \frac{\partial R_{e3}(d_1)}{\partial d_1} \right) \right]_{d_1=D_1} \quad (\text{ก.172})$$

$$j_1 = \left[ \left( -\frac{V_1}{R_{e3}(d_1)^2} \right) \left( \frac{\partial}{\partial d_1} \left( \frac{2L_2}{d_1^2 T_s} \right) \right) \right]_{d_1=D_1} \quad (\text{ก.173})$$

$$j_1 = \left[ \left( -\frac{V_1}{R_{e3}(d_1)^2} \right) \left( \frac{2L_2}{T_s} \right) \left( -\frac{2}{d_1^3} \right) \right]_{d_1=D_1} \quad (\text{ก.174})$$

$$j_1 = \left[ \left( \frac{V_1}{R_{e3}(d_1)^2} \right) \left( \frac{2L_2}{d_1^2 T_s} \right) \left( \frac{2}{d_1} \right) \right]_{d_1=D_1} \quad (\text{ก.175})$$

$$j_1 = \left( \frac{V_1}{R_{e3}(D_1)^2} \right) (R_{e3}(D_1)) \left( \frac{2}{D_1} \right) \quad (\text{ก.176})$$

$$j_1 = \frac{2V_1}{R_{e3}(D_1)D_1} \quad (\text{ก.178})$$

เอกสารนี้เป็นเอกสารที่สงวนไว้สำหรับการใช้งานเพื่อการศึกษาเท่านั้น ไม่อนุญาตให้นำไปใช้ประโยชน์ด้านการค้า ไม่ว่าจะกรณีใดๆ ทั้งสิ้น อีกทั้งห้ามมิให้ดัดแปลงเนื้อหา และต้องอ้างอิงถึงเจ้าของเอกสารทุกครั้งที่มีการนำไปใช้

ไดโอด D2

$$\langle i_2 \rangle_{T_s} = \frac{\langle v_2 \rangle_{T_s}}{(1-k)R_{e2}(d_1)} = f_2(\langle v_s \rangle_{T_s}, \langle v_1 \rangle_{T_s}, \langle v_2 \rangle_{T_s}, \langle v_3 \rangle_{T_s}, d_1) \quad (\text{ก.179})$$

$$\begin{aligned} I_2 + \tilde{i}_2 &= f_2(V_s, V_1, V_2, V_3, D_1) + \tilde{v}_s \left. \frac{\partial f_2(V_s, V_1, V_2, V_3, D_1)}{\partial v_s} \right|_{v_s=V_s} \\ &+ \tilde{v}_1 \left. \frac{\partial f_2(V_s, v_1, V_2, V_3, D_1)}{\partial v_1} \right|_{v_1=V_1} + \tilde{v}_2 \left. \frac{\partial f_2(V_s, V_1, v_2, V_3, D_1)}{\partial v_2} \right|_{v_2=V_2} \\ &+ \tilde{v}_3 \left. \frac{\partial f_2(V_s, V_1, V_2, v_3, D_1)}{\partial v_3} \right|_{v_3=V_3} + \tilde{d}_1 \left. \frac{\partial f_2(V_s, V_1, V_2, V_3, d_1)}{\partial d_1} \right|_{d_1=D_1} \\ &+ \text{higher-order nonlinear terms} \end{aligned} \quad (\text{ก.180})$$

$$I_2 = f_2(V_s, V_1, V_2, V_3, D_1) = \frac{V_2}{(1-k)R_{e2}(D_1)} \quad (\text{ก.181})$$

$$\tilde{i}_2 = g_{2s}\tilde{v}_s + g_{21}\tilde{v}_1 + \frac{\tilde{v}_2}{r_2} + g_{23}\tilde{v}_3 + j_2\tilde{d}_1 \quad (\text{ก.182})$$

$$g_{2s} = \left. \frac{\partial f_2(V_s, V_1, V_2, V_3, D_1)}{\partial v_s} \right|_{v_s=V_s} \quad (\text{ก.183})$$

$$g_{2s} = \left. \frac{\partial}{\partial v_s} \left( \frac{V_2}{(1-k)R_{e2}(D_1)} \right) \right|_{v_s=V_s} = 0 \quad (\text{ก.184})$$

$$g_{21} = \left. \frac{\partial f_2(V_s, v_1, V_2, V_3, D_1)}{\partial v_1} \right|_{v_1=V_1} \quad (\text{ก.185})$$

$$g_{21} = \left. \frac{\partial}{\partial v_1} \left( \frac{V_2}{(1-k)R_{e2}(D_1)} \right) \right|_{v_1=V_1} = 0 \quad (\text{ก.186})$$

$$\frac{1}{r_2} = \left. \frac{\partial f_2(V_s, V_1, v_2, V_3, D_1)}{\partial v_2} \right|_{v_2=V_2} \quad (\text{ก.187})$$

$$\frac{1}{r_2} = \left. \frac{\partial}{\partial v_2} \left( \frac{v_2}{(1-k)R_{e2}(D_1)} \right) \right|_{v_2=V_2} \quad (\text{ก.188})$$

$$\frac{1}{r_2} = \frac{1}{(1-k)R_{e2}(D_1)} \quad (\text{ก.189})$$

$$r_2 = (1-k)R_{e2}(D_1) \quad (\text{ก.190})$$

เอกสารนี้เป็นเอกสารที่สงวนไว้สำหรับการใช้งานเพื่อการศึกษาเท่านั้น ไม่อนุญาตให้นำไปใช้ประโยชน์ด้านการค้า  
ไม่ว่ากรณีใดๆ ทั้งสิ้น อีกทั้งห้ามมิให้ดัดแปลงเนื้อหา และต้องอ้างอิงถึงเจ้าของเอกสารทุกครั้งที่มีการนำไปใช้

$$g_{23} = \left. \frac{\partial f_2(V_s, V_1, V_2, v_3, D_1)}{\partial v_3} \right|_{v_3=V_3} \quad (\text{ก.191})$$

$$g_{23} = \left. \frac{\partial}{\partial v_3} \left( \frac{V_2}{(1-k)R_{e2}(D_1)} \right) \right|_{v_3=V_3} = 0 \quad (\text{ก.192})$$

$$j_2 = \left. \frac{\partial f_2(V_s, V_1, V_2, V_3, d_1)}{\partial d_1} \right|_{d_1=D_1} \quad (\text{ก.193})$$

$$j_2 = \left. \frac{\partial}{\partial d_1} \left( \frac{V_2}{(1-k)R_{e2}(d_1)} \right) \right|_{d_1=D_1} \quad (\text{ก.194})$$

$$j_2 = \left[ \left( -\frac{V_2}{(1-k)R_{e2}(d_1)^2} \right) \left( \frac{\partial R_{e2}(d_1)}{\partial d_1} \right) \right] \Big|_{d_1=D_1} \quad (\text{ก.195})$$

$$j_2 = \left[ \left( -\frac{V_2}{(1-k)R_{e2}(d_1)^2} \right) \left( \frac{\partial}{\partial d_1} \left( \frac{2\sqrt{L_1 L_2}}{d_1^2 T_s} \right) \right) \right] \Big|_{d_1=D_1} \quad (\text{ก.196})$$

$$j_2 = \left[ \left( \frac{V_2}{(1-k)R_{e2}(d_1)^2} \right) \left( \frac{2\sqrt{L_1 L_2}}{T_s} \right) \left( -\frac{2}{d_1^3} \right) \right] \Big|_{d_1=D_1} \quad (\text{ก.197})$$

$$j_2 = \left[ \left( \frac{V_2}{(1-k)R_{e2}(d_1)^2} \right) \left( \frac{2\sqrt{L_1 L_2}}{d_1^2 T_s} \right) \left( \frac{2}{d_1} \right) \right] \Big|_{d_1=D_1} \quad (\text{ก.198})$$

$$j_2 = \left( \frac{V_2}{(1-k)R_{e2}(D_1)^2} \right) (R_{e2}(D_1)) \left( \frac{2}{D_1} \right) \quad (\text{ก.199})$$

$$j_2 = \frac{2V_2}{(1-k)R_{e2}(D_1)D_1} \quad (\text{ก.200})$$

$$j_2 = \frac{2V_s}{R_{e2}(D_1)D_1} \quad (\text{ก.201})$$

$$j_2 = \frac{2V_g}{R_{e2}(D_1)D_1} \quad (\text{ก.202})$$

เอกสารนี้เป็นเอกสารที่สงวนไว้สำหรับการใช้งานเพื่อการศึกษาเท่านั้น ไม่อนุญาตให้นำไปใช้ประโยชน์ด้านการค้า ไม่ว่าจะกรณีใดๆ ทั้งสิ้น อีกทั้งห้ามมิให้ดัดแปลงเนื้อหา และต้องอ้างอิงถึงเจ้าของเอกสารทุกครั้งที่มีการนำไปใช้

ไดโอด D3

$$\langle i_3 \rangle_{T_s} = \frac{1}{R_{e1}(d_1)} \frac{\langle v_s \rangle_{T_s}}{\langle v_3 \rangle_{T_s}} = f_3(\langle v_s \rangle_{T_s}, \langle v_1 \rangle_{T_s}, \langle v_2 \rangle_{T_s}, \langle v_3 \rangle_{T_s}, d_1) \quad (\text{ก.203})$$

$$\begin{aligned} I_3 + \tilde{i}_3 &= f_3(V_s, V_1, V_2, V_3, D_1) + \tilde{v}_s \left. \frac{\partial f_3(V_s, V_1, V_2, V_3, D_1)}{\partial v_s} \right|_{v_s=V_s} \\ &+ \tilde{v}_1 \left. \frac{\partial f_3(V_s, v_1, V_2, V_3, D_1)}{\partial v_1} \right|_{v_1=V_1} + \tilde{v}_2 \left. \frac{\partial f_3(V_s, V_1, v_2, V_3, D_1)}{\partial v_2} \right|_{v_2=V_2} \\ &+ \tilde{v}_3 \left. \frac{\partial f_3(V_s, V_1, V_2, v_3, D_1)}{\partial v_3} \right|_{v_3=V_3} + \tilde{d}_1 \left. \frac{\partial f_3(V_s, V_1, V_2, V_3, d_1)}{\partial d_1} \right|_{d_1=D_1} \\ &+ \text{higher-order nonlinear terms} \end{aligned} \quad (\text{ก.204})$$

$$I_3 = f_3(V_s, V_1, V_2, V_3, D_1) = \frac{1}{R_{e1}(D_1)} \frac{V_s^2}{V_3} \quad (\text{ก.205})$$

$$\tilde{i}_3 = g_{3s} \tilde{v}_s + g_{31} \tilde{v}_1 + g_{32} \tilde{v}_2 + \frac{\tilde{v}_3}{r_3} + j_3 \tilde{d}_1 \quad (\text{ก.206})$$

$$g_{3s} = \left. \frac{\partial f_3(V_s, V_1, V_2, V_3, D_1)}{\partial v_s} \right|_{v_s=V_s} \quad (\text{ก.207})$$

$$g_{3s} = \left. \frac{\partial}{\partial v_s} \left( \frac{1}{R_{e1}(D_1)} \frac{v_s^2}{V_3} \right) \right|_{v_s=V_s} \quad (\text{ก.208})$$

$$g_{3s} = \frac{2}{R_{e1}(D_1)} \frac{V_s}{V_3} \quad (\text{ก.209})$$

$$g_{3s} = \frac{2}{R_{e1}(D_1) M(D_1)} \quad (\text{ก.210})$$

$$g_{31} = \left. \frac{\partial f_3(V_s, v_1, V_2, V_3, D_1)}{\partial v_1} \right|_{v_1=V_1} \quad (\text{ก.211})$$

$$g_{31} = \left. \frac{\partial}{\partial v_1} \left( \frac{1}{R_{e1}(D_1)} \frac{V_s^2}{V_3} \right) \right|_{v_1=V_1} = 0 \quad (\text{ก.212})$$

$$g_{32} = \left. \frac{\partial f_3(V_s, V_1, v_2, V_3, D_1)}{\partial v_2} \right|_{v_2=V_2} \quad (\text{ก.213})$$

$$g_{32} = \left. \frac{\partial}{\partial v_2} \left( \frac{1}{R_{e1}(D_1)} \frac{V_s^2}{V_3} \right) \right|_{v_2=V_2} = 0 \quad (\text{ก.214})$$

เอกสารนี้เป็นเอกสารที่สงวนไว้สำหรับการใช้งานเพื่อการศึกษาเท่านั้น ไม่อนุญาตให้นำไปใช้ประโยชน์ด้านการค้า  
ไม่ว่ากรณีใดๆ ทั้งสิ้น อีกทั้งห้ามมิให้ดัดแปลงเนื้อหา และต้องอ้างอิงถึงเจ้าของเอกสารทุกครั้งที่มีการนำไปใช้

$$\frac{1}{r_3} = \frac{\partial f_3(V_s, V_1, V_2, v_3, D_1)}{\partial v_3} \Big|_{v_3=V_3} \quad (\text{ก.215})$$

$$\frac{1}{r_3} = \frac{\partial}{\partial v_3} \left( \frac{1}{R_{e1}(D_1)} \frac{V_s^2}{v_3} \right) \Big|_{v_3=V_3} \quad (\text{ก.216})$$

$$\frac{1}{r_3} = - \frac{V_s^2}{R_{e1}(D_1) V_3^2} \quad (\text{ก.217})$$

$$r_3 = \frac{R_{e1}(D_1) V_3^2}{V_s^2} \quad (\text{ก.218})$$

$$r_3 = R_{e1}(D_1) M(D_1) \quad (\text{ก.219})$$

$$j_3 = \frac{\partial f_3(V_s, V_1, V_2, V_3, d_1)}{\partial d_1} \Big|_{d_1=D_1} \quad (\text{ก.220})$$

$$j_3 = \frac{\partial}{\partial d_1} \left( \frac{1}{R_{e1}(d_1)} \frac{V_s^2}{V_3} \right) \Big|_{d_1=D_1} \quad (\text{ก.221})$$

$$j_3 = \left[ \left( - \frac{V_s^2}{V_3 R_{e1}(d_1)^2} \right) \left( \frac{\partial R_{e1}(d_1)}{\partial d_1} \right) \right] \Big|_{d_1=D_1} \quad (\text{ก.222})$$

$$j_3 = \left[ \left( - \frac{V_s^2}{V_3 R_{e1}(d_1)^2} \right) \left( \frac{\partial}{\partial d_1} \left( \frac{2L_1}{d_1^2 T_s} \right) \right) \right] \Big|_{d_1=D_1} \quad (\text{ก.223})$$

$$j_3 = \left[ \left( - \frac{V_s^2}{V_3 R_{e1}(d_1)^2} \right) \left( \frac{2L_1}{T_s} \right) \left( - \frac{2}{d_1^3} \right) \right] \Big|_{d_1=D_1} \quad (\text{ก.224})$$

$$j_3 = \left[ \left( \frac{V_s^2}{V_3 R_{e1}(d_1)^2} \right) \left( \frac{2L_1}{d_1^2 T_s} \right) \left( \frac{2}{d_1} \right) \right] \Big|_{d_1=D_1} \quad (\text{ก.225})$$

$$j_3 = \left( \frac{V_s^2}{V_3 R_{e3}(d_1)^2} \right) (R_{e1}(D_1)) \left( \frac{2}{D_1} \right) \quad (\text{ก.226})$$

$$j_3 = \frac{2V_s}{M(D_1) R_{e3}(D_1) D_1} \quad (\text{ก.227})$$

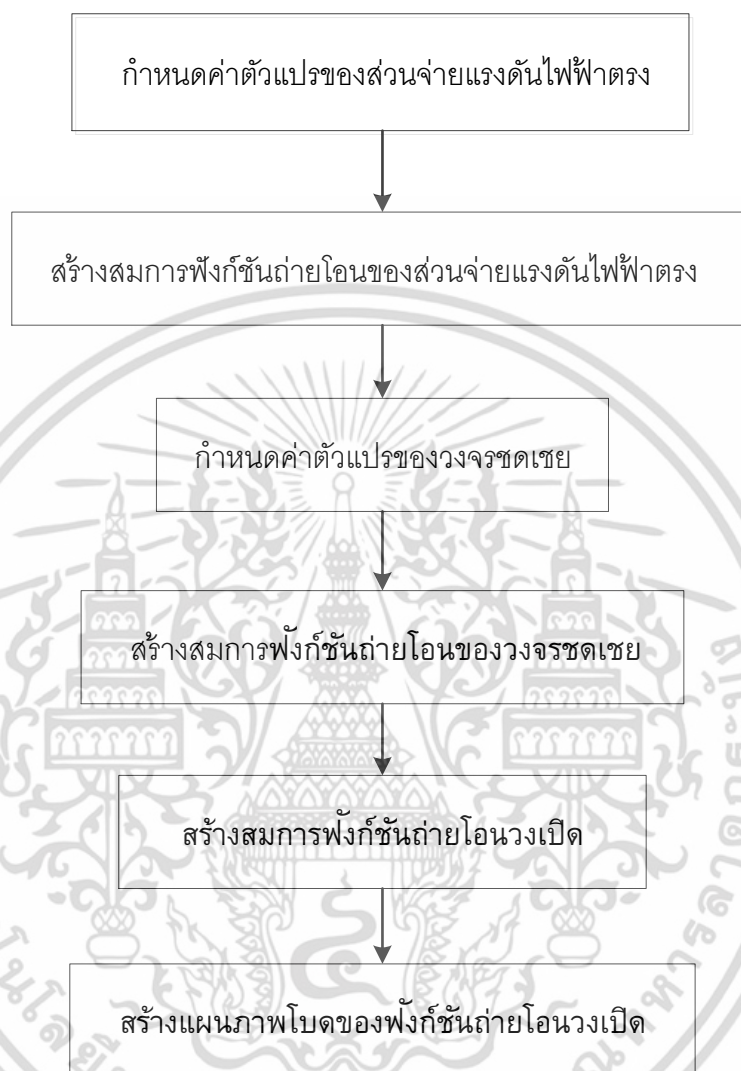
เอกสารนี้เป็นเอกสารที่สงวนไว้สำหรับการใช้งานเพื่อการศึกษาเท่านั้น ไม่อนุญาตให้นำไปใช้ประโยชน์ด้านการค้า  
ไม่ว่ากรณีใดๆ ทั้งสิ้น อีกทั้งห้ามมิให้ดัดแปลงเนื้อหา และต้องอ้างอิงถึงเจ้าของเอกสารทุกครั้งที่มีการนำไปใช้

ภาคผนวก ข

โปรแกรม MATLAB สำหรับสร้างผลการตอบสนองเชิงความถี่ของฟังก์ชันถ่ายโอน

เอกสารนี้เป็นเอกสารที่สงวนไว้สำหรับการใช้งานเพื่อการศึกษาเท่านั้น ไม่อนุญาตให้นำไปใช้ประโยชน์ด้านการค้า  
ไม่ว่ากรณีใดๆ ทั้งสิ้น อีกทั้งห้ามมิให้ดัดแปลงเนื้อหา และต้องอ้างอิงถึงเจ้าของเอกสารทุกครั้งที่มีการนำไปใช้

## ข.1 แผนภาพขั้นตอนการเขียนโปรแกรม MATLAB สำหรับสร้างแผนภาพโบดฟังก์ชันถ่ายโอน



รูปที่ ข.1 แผนภาพขั้นตอนการเขียนโปรแกรม MATLAB

## ข.2 โปรแกรม MATLAB สำหรับสร้างผลการตอบสนองเชิงความถี่ของฟังก์ชันถ่ายโอนวงเปิด

```

%bode plot%
%power stage%
%Vin,min and lo,max%
j3=1.08;

```

```
D1=0.486;
```

เอกสารนี้เป็นเอกสารที่สงวนไว้สำหรับการใช้งานเพื่อการศึกษาเท่านั้น ไม่อนุญาตให้นำไปใช้ประโยชน์ด้านการค้า ไม่ว่าจะกรณีใดๆ ทั้งสิ้น อีกทั้งห้ามมิให้ดัดแปลงเนื้อหา และต้องอ้างอิงถึงเจ้าของเอกสารทุกครั้งที่มีการนำไปใช้

```

r3=69;
R=120;
C2=22e-6;
L1=100e-6;
Vg=20;
V=18;
Ts=10e-6;
num=[Vg^2*D1*Ts*R*r3];
den=[C2*R*r3*V*L1 V*L1*(R+r3)];
Gdv=tf(num,den)
%FmGdv(s)H(s)%
Gv=Gdv/14.112
bode(Gv)

%compensator%
Cc1=200e-12;
Cc2=33e-12;
Rc1=10e3;
Rc2=200e3;
K=Rc1*Cc2;
wz1=Rc2*Cc1;
wp2=Rc2*Cc2;
numc=[1 1/wz1];
denc=[K K/wp2 0];
Gc=tf(numc,denc)
%open-loop transfer function%
T=Gc*Gv
bode(Gv,Gc,T)

```

เอกสารนี้เป็นเอกสารที่สงวนไว้สำหรับการใช้งานเพื่อการศึกษาเท่านั้น ไม่อนุญาตให้นำไปใช้ประโยชน์ด้านการค้า  
ไม่ว่ากรณีใดๆ ทั้งสิ้น อีกทั้งห้ามมิให้ดัดแปลงเนื้อหา และต้องอ้างอิงถึงเจ้าของเอกสารทุกครั้งที่มีการนำไปใช้



ภาคผนวก ค

บทความทางวิชาการฉบับสมบูรณ์ที่ได้รับการตีพิมพ์

เอกสารนี้เป็นเอกสารที่สงวนไว้สำหรับการใช้งานเพื่อการศึกษาเท่านั้น ไม่อนุญาตให้นำไปใช้ประโยชน์ด้านการค้า  
ไม่ว่ากรณีใดๆ ทั้งสิ้น อีกทั้งห้ามมิให้ดัดแปลงเนื้อหา และต้องอ้างอิงถึงเจ้าของเอกสารทุกครั้งที่มีการนำไปใช้

**ECTI** Association

**ECTI** 7<sup>th</sup> CARD 2015

**Abstract Proceedings**

**Conference on Applications  
Research and Development**

การประชุมนานาชาติ งานวิจัยและพัฒนาเชิงประยุกต์ครั้งที่ 7  
“รู้ค่าพลังงานและสิ่งแวดล้อมเพื่อก้าวสู่ศตวรรษที่ 21”

โครงการจัดตั้งคณะวิศวกรรมศาสตร์และเทคโนโลยี  
มหาวิทยาลัยเทคโนโลยีราชมงคลศรีวิชัย

8-10 กรกฎาคม 2558  
ณ โรงแรมธรรมรินทร์ ธนา  
อำเภอเมือง จังหวัดตรัง

เอกสารนี้เป็นเอกสารที่สงวนไว้สำหรับการใช้งานเพื่อการศึกษาเท่านั้น ไม่อนุญาตให้นำไปใช้ประโยชน์ด้านการค้า ไม่ว่าจะกรณีใดๆ ทั้งสิ้น อีกทั้งห้ามมิให้ดัดแปลงเนื้อหา และต้องอ้างอิงถึงเจ้าของเอกสารทุกครั้งที่มีการนำไปใช้

**บทความวิจัย**

การประชุมวิชาการ งานวิจัยและพัฒนาระดับชาติ ครั้งที่ 7

ECTI-CARD 2015, Trang, Thailand

**ดีซี – ดีซี กาสถลดเพนเมกคอนเวอร์เตอร์กำลังต่ำใช้สวิชต์ตัวเดียวสำหรับแรงดันไฟฟ้าทางเข้าที่ถักกว้าง**

**Wide Input Range Low Power DC/DC Single – Switch Cascaded Flyback Converter**

กัศกร มณีรัตน์<sup>1</sup>, นพพล มณีรัตน์<sup>1</sup>, นนท วิวัฒน์ จุลนระ<sup>2</sup> และ กอบศักดิ์ ศรีประภา<sup>3</sup>

<sup>1</sup>ภาควิชาวิศวกรรมเครื่องกล คณะวิศวกรรมศาสตร์ สถาบันเทคโนโลยีพระจอมเกล้าเจ้าคุณทหารลาดกระบัง

สาขาที่ 1 ของเขตภาค 1 มหาวิทยาลัยเทคโนโลยีพระจอมเกล้าลาดกระบัง อ.ลาดกระบัง 10520 E-mail: mander\_bha@hotmail.com

<sup>2</sup>ห้องปฏิบัติการเทคโนโลยีพลังงานแสงอาทิตย์ ศูนย์เทคโนโลยีอิเล็กทรอนิกส์และคอมพิวเตอร์แห่งชาติ (NECTEC) อ.คลองหลวง จ.ปทุมธานี 12120

**บทคัดย่อ**

บทความนี้เป็นต้นฉบับของงานวิจัยระดับปริญญาโท ดีซี – ดีซี กาสถลดเพนเมกคอนเวอร์เตอร์ที่ใช้สวิชต์ตัวเดียวที่มีกำลังของแรงดันไฟฟ้าที่เข้ามีช่วงกว้างตั้งแต่ 20V ถึง 120V โดยมีการเลือกโหมดการนำไฟฟ้าที่ทำงานที่ความถี่ 18V(3W) ซึ่งทำงานในโหมดการนำไฟฟ้าไม่ต่อเนื่อง (Discontinuous Current Mode, DCM) ในวิธีการควบคุมที่งานได้ใช้วิธีที่จะหาแรงดันที่ถักของสวิชต์โดยเอาค่าเฉลี่ยของแรงดันที่ถักของสวิชต์มาหารด้วยค่าเฉลี่ยของแรงดันที่ถักของตัวเก็บประจุ (Average Switch Model) และออกแบบวงจรควบคุมด้วยเทคนิค K – Factor เพื่อการควบคุมแรงดันที่รับขึ้นที่สภาวะคงตัว (Steady State) มีเปอร์เซ็นต์การควบคุมแรงดัน (Line Regulation) และ โหลดการควบคุม (Load Regulation) ที่เหมาะสมต่อการตอบสนองชั่วขณะ (Transient Response) ที่รวดเร็ว

คำสำคัญ: กาสถลดเพนเมกคอนเวอร์เตอร์, K – Factor, ดีซี – ดีซี สองแรงดัน, คอนเวอร์เตอร์แบบสวิชต์ตัวเดียว

**Abstract**

This research presents the design of wide input range DC-DC power supply using single-switch cascaded flyback converter with input voltage between 20-120V which generates 18V output voltage and low output power (3W) in discontinuous current mode (DCM). Functional analysis of circuit is analyzed the steady-state and transient response by using DC and AC small-signal modeling with averaged switch modeling technique. The control circuit is designed by using K – Factor technique. Experimental results are the low value of load and line regulations in steady state and fast transient response.

Keywords: Cascaded Flyback Converter, K – Factor, DC to DC Converter, Single Active Switch Converter

**1. บทนำ**

ในปัจจุบันระบบพลังงานแสงอาทิตย์เป็นพลังงานทางเลือกที่ได้รับความนิยมมากขึ้นในระดับชุมชนและการเกษตรเนื่องจากเทคโนโลยีมีความทันสมัยขึ้นในระดับชุมชนและการเกษตรเนื่องจากเทคโนโลยี

ถูกและมีความสะดวกในการติดตั้ง ซึ่งมีผลต่อประสิทธิภาพที่เพิ่มขึ้นโดยมีการลดขนาดของตัวเก็บประจุและตัวเหนี่ยวนำที่ใช้ในวงจรคอนเวอร์เตอร์นี้ถ้าเปรียบเทียบกับวงจรที่ใช้อุปกรณ์หลายชนิดแล้วการที่ใช้นิเวศพลังงานของวงจรคอนเวอร์เตอร์ ซึ่งมีผลต่อประสิทธิภาพที่เข้าของระบบและผลกระทบต่อสิ่งแวดล้อมของวงจรคอนเวอร์เตอร์ที่แรงดันไฟฟ้าที่เข้ามีค่าตั้งแต่ 20V ถึง 120V และกำลังการจ่าย 3W (3W) โดยใช้โหมดการนำไฟฟ้าไม่ต่อเนื่อง (DCM) ซึ่งวงจรที่ถักของคอนเวอร์เตอร์ที่ถักของคอนเวอร์เตอร์นี้เมื่อเปรียบเทียบกับวงจรคอนเวอร์เตอร์ที่ใช้สวิชต์ตัวเดียวเป็นวงจรคอนเวอร์เตอร์ชนิดที่ถักของคอนเวอร์เตอร์ (Day Cycle) แบบ (1-2) ซึ่งวงจรดีซี – ดีซี กาสถลดเพนเมกคอนเวอร์เตอร์ที่ใช้สวิชต์ตัวเดียวเป็นวงจรคอนเวอร์เตอร์ชนิดที่ถักของคอนเวอร์เตอร์ (Day Cycle) แบบ (1-4)

ในบทความนี้ใช้วิธีควบคุมแรงดันที่รับขึ้นที่สภาวะคงตัว (Steady State) มีเปอร์เซ็นต์การควบคุมแรงดัน (Line Regulation) และ โหลดการควบคุม (Load Regulation) ที่เหมาะสมต่อการตอบสนองชั่วขณะ (Transient Response) ที่รวดเร็วโดยวิธีการควบคุมที่งานได้ใช้วิธีที่จะหาแรงดันที่ถักของสวิชต์โดยเอาค่าเฉลี่ยของแรงดันที่ถักของสวิชต์มาหารด้วยค่าเฉลี่ยของแรงดันที่ถักของตัวเก็บประจุ (Average Switch Model) และออกแบบวงจรควบคุมด้วยเทคนิค K – Factor เพื่อการควบคุมแรงดันที่รับขึ้นที่สภาวะคงตัว (Steady State) มีเปอร์เซ็นต์การควบคุมแรงดัน (Line Regulation) และ โหลดการควบคุม (Load Regulation) ที่เหมาะสมต่อการตอบสนองชั่วขณะ (Transient Response) ที่รวดเร็ว

**2. หลักการพื้นฐาน**

วงจร ดีซี – ดีซี กาสถลดเพนเมกคอนเวอร์เตอร์ที่ใช้สวิชต์ตัวเดียวที่ถักของคอนเวอร์เตอร์ (Day Cycle) แบบ (1-2) ซึ่งวงจรดีซี – ดีซี กาสถลดเพนเมกคอนเวอร์เตอร์ที่ใช้สวิชต์ตัวเดียวเป็นวงจรคอนเวอร์เตอร์ชนิดที่ถักของคอนเวอร์เตอร์ (Day Cycle) แบบ (1-4) ในบทความนี้ใช้วิธีควบคุมแรงดันที่รับขึ้นที่สภาวะคงตัว (Steady State) มีเปอร์เซ็นต์การควบคุมแรงดัน (Line Regulation) และ โหลดการควบคุม (Load Regulation) ที่เหมาะสมต่อการตอบสนองชั่วขณะ (Transient Response) ที่รวดเร็วโดยวิธีการควบคุมที่งานได้ใช้วิธีที่จะหาแรงดันที่ถักของสวิชต์โดยเอาค่าเฉลี่ยของแรงดันที่ถักของสวิชต์มาหารด้วยค่าเฉลี่ยของแรงดันที่ถักของตัวเก็บประจุ (Average Switch Model) และออกแบบวงจรควบคุมด้วยเทคนิค K – Factor เพื่อการควบคุมแรงดันที่รับขึ้นที่สภาวะคงตัว (Steady State) มีเปอร์เซ็นต์การควบคุมแรงดัน (Line Regulation) และ โหลดการควบคุม (Load Regulation) ที่เหมาะสมต่อการตอบสนองชั่วขณะ (Transient Response) ที่รวดเร็ว

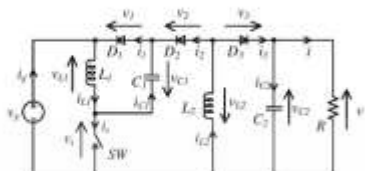


เอกสารนี้เป็นเอกสารที่สงวนไว้สำหรับการใช้งานเพื่อการศึกษาเท่านั้น ไม่อนุญาตให้นำไปใช้ประโยชน์ด้านการค้า ไม่ว่าจะกรณีใดๆ ทั้งสิ้น อีกทั้งห้ามมิให้ดัดแปลงเนื้อหา และต้องอ้างอิงถึงเจ้าของเอกสารทุกครั้งที่มีการนำไปใช้

**บทความวิจัย**

การประยุกต์วงจร วงจรอิเล็กทรอนิกส์เชิงประยุกต์ ครั้งที่ 7

ECTI-CARD 2015, Trang, Thailand



รูปที่ 1 วงจร ดีซี - ดีซี สามสเตจที่ประกอบด้วยตัวเก็บประจุตัวเดียว

Duty Cycle สูงสุด ของวงจรแต่ละสเตจคือ  $D_1, D_2, D_3$  ที่รวม และค่าเฉลี่ยของ Duty Cycle ของตัวเก็บ SW ในรูป (1) ในแต่ละสเตจสมการที่ (1), (2) ค่ากำลังไฟฟ้าเฉลี่ยสูงสุดของแต่ละสเตจ และค่ากำลังไฟฟ้าเฉลี่ยสูงสุดของวงจรแต่ละสเตจที่สูงสุดที่  $L_1$  และค่าของ  $L_2$  และค่าของสมการที่ (3), (4) และค่าเฉลี่ยกำลังไฟฟ้าเฉลี่ยที่  $C_1$  และค่าของ  $L_2$  และค่าของ  $L_2$  และค่าของสมการที่ (5), (6) ตามลำดับ

$$T_s = \frac{1}{f_s} \cdot d_{max} = \frac{1}{1 + \sqrt{V_{rmax}}} \quad (1)$$

$$T_{rmax} = d_{max} T_s \cdot T_{off} = T_s - T_{on} \quad (2)$$

$$\langle p_{sw} \rangle = \frac{\langle p_{sw} \rangle_{max}}{\eta} \cdot \langle i_{sw} \rangle_{max} = \frac{\langle p_{sw} \rangle_{max}}{\langle i_{sw} \rangle_{max}} \quad (3)$$

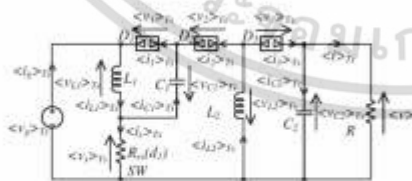
$$i_{sw} = 2 \cdot \frac{\langle i_{sw} \rangle_{max}}{D_{max}} \cdot L_1 = \frac{\langle i_{sw} \rangle_{max} T_{rmax}}{L_1} \quad (4)$$

$$V_{C1} = \frac{\langle p_{sw} \rangle}{T_{rmax}} \cdot T_{off} \quad (5)$$

$$i_{L1} = \frac{2 \cdot \langle p_{sw} \rangle}{1 - d_{max}} \cdot L_1 = \frac{T_{rmax}}{L_1} \cdot \frac{\langle p_{sw} \rangle}{1 - d_{max}} \quad (6)$$

**2.1 การวิเคราะห์แบบจำลองของวงจร**

การวิเคราะห์วงจรจะประกอบด้วยสมการการวิเคราะห์แบบจำลองวงจร (5-6) ได้แก่  $D_1, D_2, D_3$  และ  $D_1$  ให้เชื่อมโยงไปยังการวิเคราะห์แบบจำลองการแปลงกำลังแรงดันไฟฟ้าในแต่ละสเตจไปซึ่งมีลักษณะคล้ายกันในระยะเวลาของวงจร ซึ่งแสดงถึงสมการวงจรในรูปแบบที่ 2 และได้สมการกำลังไฟฟ้าของตัวเก็บแต่ละตัวตามสมการ (7) - (16) ตามลำดับ



รูปที่ 2 วงจรจำลองวงจร ดีซี ดีซี และกรณีการเปลี่ยนสถานะ

**ตัวเก็บ SW**

$$\langle v_s \rangle_{T_s} = \langle v_s \rangle_{T_s} \cdot \langle i_s \rangle_{T_s} = \frac{\langle v_s \rangle_{T_s}}{R_{in}(d_1)} \quad (7)$$

$$R_{in}(d_1) = \frac{2L_1}{d_1^2 T_s}, \quad L_{in} = \frac{1}{\left( \frac{1}{L_1} + \frac{1}{\sqrt{L_1 L_2}} \right)} \quad (8)$$

**ไดโอด D1**

$$\langle v_1 \rangle_{T_s} = \langle v_{L1} \rangle_{T_s} - \langle i_1 \rangle_{T_s} = \frac{\langle v_s \rangle_{T_s}}{R_{D1}(d_1)} \quad (9)$$

$$\langle p_1 \rangle_{T_s} = \langle v_1 \rangle_{T_s} \langle i_1 \rangle_{T_s} = \frac{\langle v_s \rangle_{T_s}^2}{R_{D1}(d_1)} \quad (10)$$

$$R_{D1}(d_1) = \frac{2L_1}{d_1^2 T_s}, \quad R_{D2}(d_1) = \frac{2\sqrt{L_1 L_2}}{d_1^2 T_s} \quad (11)$$

**ไดโอด D2**

$$\langle v_2 \rangle_{T_s} = \langle v_{L2} \rangle_{T_s} - \langle i_2 \rangle_{T_s} = \frac{\langle v_s \rangle_{T_s}}{R_{D2}(d_1)} \quad (12)$$

$$\langle p_2 \rangle_{T_s} = \langle v_2 \rangle_{T_s} \langle i_2 \rangle_{T_s} = \frac{\langle v_s \rangle_{T_s}^2}{R_{D2}(d_1)} \cdot \frac{\langle i_2 \rangle_{T_s}^2}{R_{D2}(d_1)} \quad (13)$$

**ไดโอด D3**

$$\langle v_3 \rangle_{T_s} = \langle v_{L3} \rangle_{T_s} - \langle i_3 \rangle_{T_s} = \frac{\langle v_s \rangle_{T_s}}{R_{D3}(d_1)} \quad (14)$$

$$\langle p_3 \rangle_{T_s} = \langle v_3 \rangle_{T_s} \langle i_3 \rangle_{T_s} = \frac{\langle v_s \rangle_{T_s}^2}{R_{D3}(d_1)} \quad (15)$$

$$R_{D3}(d_1) = \frac{2L_2}{d_1^2 T_s} \quad (16)$$

**2.1.1 วัตถุประสงค์การวิเคราะห์**

วงจรจำลองวงจร ดีซี ดีซี จะมีการพิจารณาไป  $L_1$  และ  $L_2$  เมื่อมีตัวเก็บประจุที่เรียกว่า  $C_1$  และ  $C_2$  เมื่อมีตัวเก็บประจุได้วงจรจำลองแสดงถึงรูปที่ 3 ซึ่งใช้ไฟที่กรงที่มี ค่ากำลังไฟฟ้าที่วงจรออก และค่าแรงดันของวงจร ดีซี ดีซี นี้คือที่วงจรไม่มีการสูญเสีย

แสดงสมการที่ (17) - (19)

$$P_{in} = V_s I_s = V_s (I_1 - I_2) = \frac{D_1^2 T_s}{2L_1} V_s^2 \quad (17)$$

$$P_{out} = \frac{V^2}{R} \quad (18)$$

$$\frac{V}{V_s} = D_1 \sqrt{\frac{RT_s}{2L_1}} = M(D_1) \quad (19)$$

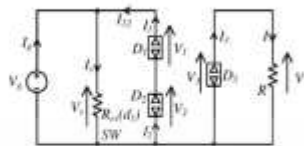


เอกสารนี้เป็นเอกสารที่สงวนไว้สำหรับการใช้งานเพื่อการศึกษาเท่านั้น ไม่อนุญาตให้นำไปใช้ประโยชน์ด้านการค้า ไม่ว่าจะกรณีใดๆ ทั้งสิ้น อีกทั้งห้ามมิให้ตัดแปลงเนื้อหา และต้องอ้างอิงถึงเจ้าของเอกสารทุกครั้งที่มีการนำไปใช้

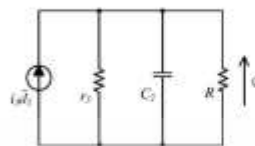
**บทควมวิจัย**

การประมุขวิชาการ งานวิจัยและพัฒนเชิงประยุกต์ ครั้งที่ 7

ECTI-CARD 2015, Trueng, Thailand



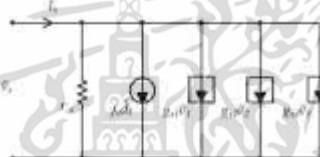
รูปที่ 3 วงจรจำลองเบคคิล



รูปที่ 6 วงจรจำลองความถี่ต่ำขดลวดซึ่งสัญญาณขาออกที่กรองออก

**2.1.2 วงจรจำลองขดลวดซึ่งสัญญาณขาออก**

วงจรถ่ายโอนขดลวดซึ่งสัญญาณขาออกที่กรองออกที่ประกอบด้วยตัวเก็บประจุและตัวเหนี่ยวนำ ซึ่งใช้วิธี Taylor Expansion ที่ให้ไว้ ได้วงจรถ่ายโอนขดลวดซึ่งสัญญาณขาออกที่กรองออกที่แสดงดังสมการที่ (20), (21) และที่ไดโอด D, แสดงดังสมการที่ (22), (23) ซึ่งอธิบายดังไว้ที่ไปกันโดยแสดงดังในรูปที่ 4 และรูปที่ 5 ตามลำดับ



รูปที่ 4 วงจรจำลองขดลวดซึ่งสัญญาณขาออกที่กรองออกที่ไดโอด SW



รูปที่ 5 วงจรจำลองขดลวดซึ่งสัญญาณขาออกที่กรองออกที่ไดโอด D

**ข้อมูลของวงจรถ่ายโอนขดลวดซึ่งสัญญาณขาออกที่กรองออกที่ไดโอด SW**

$$\frac{1}{r_s} = \frac{1}{R_g(D)} \quad J_s = \frac{2V_g}{R_g(D)D} \quad (20)$$

$$g_{s1} = g_{s2} = g_{s3} = 0 \quad (21)$$

**ข้อมูลของวงจรถ่ายโอนขดลวดซึ่งสัญญาณขาออกที่กรองออกที่ไดโอด D**

$$\frac{1}{r_s} = \frac{1}{R_g(D)M(D)^2} \quad J_s = \frac{2V_g}{M(D)R_g(D)D} \quad (22)$$

$$g_{s1} = \frac{2}{R_g(D)M(D)} \quad g_{s2} = g_{s3} = 0 \quad (23)$$

เมื่อพิจารณา ผลกระทบที่ส่งผลกระทบต่อความถี่ซึ่งสามารถประเมินผลที่ระบบค่าของ  $L_s \approx 0, L_s \approx 0$  ที่ไปไว้ได้วงจรถ่ายโอนขดลวดซึ่งสัญญาณขาออกที่กรองออกที่แสดงดังในรูปที่ 6 และฟังก์ชันถ่ายโอนขดลวดซึ่งสัญญาณขาออกที่กรองออกที่แสดงดังในรูปที่ 7 ซึ่งสามารถเขียนโดย Easy Cycle ตามสมการที่ (24)

$$\frac{V}{d} = [J_s(R \parallel r_s)] \left( \frac{1}{1 + \frac{s}{\omega_p}} \right) \quad \omega_p = \frac{1}{(R \parallel r_s)C} \quad (24)$$

**2.2 การออกแบบวงจรควบคุม**

วงจรถ่ายโอนขดลวดซึ่งสัญญาณขาออกที่กรองออกที่ประกอบด้วยตัวเก็บประจุและตัวเหนี่ยวนำ ซึ่งใช้วิธี Taylor Expansion ที่ให้ไว้ ได้วงจรถ่ายโอนขดลวดซึ่งสัญญาณขาออกที่กรองออกที่แสดงดังสมการที่ (25) การคำนวณค่าของ  $R_s, R_g, C,$  และ  $C_s$  ใช้เกณฑ์ K-Factor [7]

$$G_c(s) = \frac{1}{sR_sC} \left( \frac{1}{1 + \frac{s}{\omega_p}} \right) \quad (25)$$



รูปที่ 7 วงจรควบคุม Type 2

**3. การทดลองและผลการทดลอง**

ผลการทดลองของวงจรที่ประกอบด้วยตัวเหนี่ยวนำที่ไปไว้ที่แหล่งจ่าย 20V ถึง 120V ที่โหลดต่างๆ ดังตารางที่ 1 จะเห็นว่าการเหนี่ยวนำไฟฟ้ที่ทดลองมีค่า 17.93-18.60V ซึ่งใกล้เคียงกับที่คำนวณได้โดยเปอร์เซ็นต์ได้น้อยกว่าร้อยละ 1.99-3.27% ผลกระทบที่เพิ่มขึ้นค่าโดยรอบขดลวดซึ่งสัญญาณขาออกที่กรองออกที่ 2.32-3.22%



เอกสารนี้เป็นเอกสารที่สงวนไว้สำหรับการใช้งานเพื่อการศึกษาเท่านั้น ไม่อนุญาตให้นำไปใช้ประโยชน์ด้านการค้า ไม่ว่าจะกรณีใดๆ ทั้งสิ้น อีกทั้งห้ามมิให้ดัดแปลงเนื้อหา และต้องอ้างอิงถึงเจ้าของเอกสารทุกครั้งที่มีการนำไปใช้



## ประวัติผู้เขียน

ชื่อ-นามสกุล	นางสาวภัสสร เครือน้ำคำ
วัน เดือน ปีเกิด	2 พฤศจิกายน พ.ศ. 2532
ที่อยู่	110 ถนนศรีทเวา ตำบลในเมือง อำเภอเมืองร้อยเอ็ด จังหวัดร้อยเอ็ด 45000 โทร. 081-7087038
ประวัติการศึกษา	สำเร็จการศึกษาระดับปริญญาตรี สาขาวิชาวิศวกรรมระบบควบคุม สถาบันเทคโนโลยีพระจอมเกล้าเจ้าคุณทหารลาดกระบัง ปีการศึกษา 2554



เอกสารนี้เป็นเอกสารที่สงวนไว้สำหรับการใช้งานเพื่อการศึกษาเท่านั้น ไม่อนุญาตให้นำไปใช้ประโยชน์ด้านการค้า  
ไม่ว่ากรณีใดๆ ทั้งสิ้น อีกทั้งห้ามมิให้ดัดแปลงเนื้อหา และต้องอ้างอิงถึงเจ้าของเอกสารทุกครั้งที่มีการนำไปใช้